



รายงานการวิจัย

การพัฒนาเทคนิคการสังเคราะห์ตัวเร่งปฏิกิริยาทางแสงขนาดนาโน

Development of Nano Photocatalyst Synthesized Technique



โครงการวิจัยทุนสนับสนุนงานวิจัยของมหาวิทยาลัยเทคโนโลยีราชมงคลกรุงเทพ
งบประมาณแผ่นดิน ปี พ.ศ. 2551
มหาวิทยาลัยเทคโนโลยีราชมงคลกรุงเทพ

การพัฒนาเทคนิคการสังเคราะห์ตัวเร่งปฏิกิริยาทางแสงขนาดนาโน

Development of Nano Photocatalyst synthesized Technique

นายชัชวาลย์ สุขมั่น

สาขาวิชาศิวกรรมเคมี คณะศิวกรรมศาสตร์
มหาวิทยาลัยเทคโนโลยีราชมงคลรุจ្យเทพ

ดร.ชนกนิป สามารถ

ภาควิชาเคมี คณะวิทยาศาสตร์และเทคโนโลยี
มหาวิทยาลัยธรรมศาสตร์ (ศูนย์รังสิต)



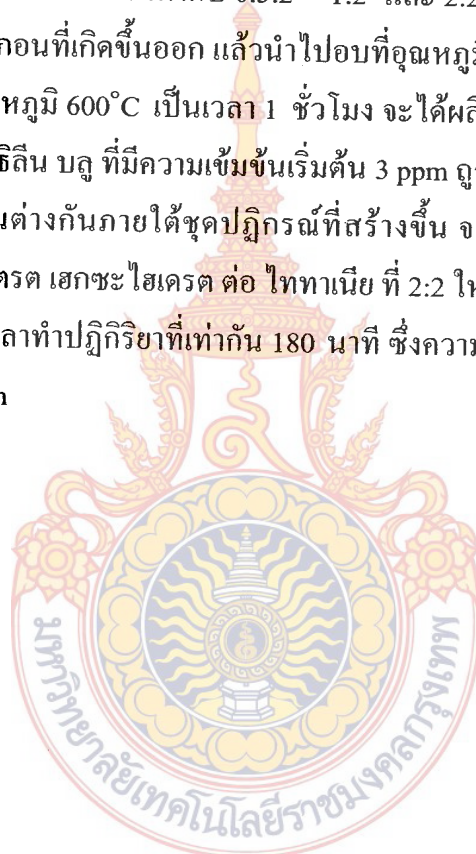
สนับสนุนโดยมหาวิทยาลัยเทคโนโลยีราชมงคลรุจ្យเทพ

กิตติกรรมประกาศ

ขอขอบคุณมหาวิทยาลัยเทคโนโลยีราชมงคลรุจ្យเทพ ที่ได้สนับสนุนทุนวิจัยเงินงบประมาณประจำปี 2551 ขอขอบคุณภาควิชาศิวกรรมเคมี มหาวิทยาลัยเทคโนโลยีราชมงคลรุจ្យเทพ และภาควิชาเคมี มหาวิทยาลัยธรรมศาสตร์ (ศูนย์รังสิต) ที่เอื้อเพื่อสถานที่ทำการทดลอง และท้าขสุดขอขอบคุณ สถาบันวิจัยและพัฒนา (สวพ.) มหาวิทยาลัยเทคโนโลยีราชมงคลรุจ្យเทพ ที่อำนวยความสะดวกในการตรวจทานเล่มงานวิจัย

บทคัดย่อ

วัตถุประสงค์ของงานวิจัยนี้ คือ การสังเคราะห์ $\text{CeO}_2/\text{TiO}_2$ เพื่อใช้เป็นตัวเร่งปฏิกิริยาเชิงแสง ไทยเนี่ยที่สังเคราะห์ได้จากวิธีโซล – เจล ซึ่งมีพื้นที่ผิวเท่ากับ $202.05 \text{ m}^2/\text{g}$ จำนวน 2 g ถูกนำไปฝังในในโกรอมลักษณะของซีเรียม ในเตรต เอกซ์ ไอกเครต ที่มีความเข้มข้นต่างกัน อัตราส่วนเชิงมวลของซีเรียม ในเตรต เอกซ์ ไอกเครต ต่อ ไทยเนี่ย เท่ากับ 0.5:2 1:2 และ 2:2 ระหว่างการฝังมีการกวนเกิดขึ้นตลอดเวลา ทำการแยกตะกอนที่เกิดขึ้นออก แล้วนำไปอบที่อุณหภูมิ 250°C เป็นเวลา 3 ชั่วโมง หลังจากนั้นนำไปเคลือบไซน์ที่อุณหภูมิ 600°C เป็นเวลา 1 ชั่วโมง จะได้ผลิตภัณฑ์ คือ $\text{CeO}_2/\text{TiO}_2$ ในส่วนของการทดสอบปฏิกิริยา เมธิลีน บลู ที่มีความเข้มข้นเริ่มต้น 3 ppm ถูกนำไปทดสอบในปฏิกิริยาโดยใช้ $\text{CeO}_2/\text{TiO}_2$ ในอัตราส่วนต่างกันภายใต้ชุดปฏิกิริยาที่สร้างขึ้น จากผลการทดลองแสดงว่า อัตราส่วนเชิงมวลของซีเรียม ในเตรต เอกซ์ ไอกเครต ต่อ ไทยเนี่ย ที่ 2:2 ให้ค่าประสิทธิภาพการสลายสีสูงที่สุดที่ร้อยละ 88 ในระยะเวลาทำปฏิกิริยาที่เท่ากัน 180 นาที ซึ่งความเข้มข้นสุดท้ายของเมธิลีน บลู ที่ได้รับ มีค่าต่ำสุดที่ 0.35 ppm



ABSTRACT

The aim of this work was to synthesis $\text{CeO}_2/\text{TiO}_2$ for using as photocatalyst. The 2 g of sol - gel synthesized titania that have a surface areas of $202.05 \text{ m}^2/\text{g}$ were impregnated in cerium (III) nitrate hexahydrate microemulsion with different concentration. The mass ratios of cerium (III) nitrate hexahydrate to titania were 0.5 : 2, 1 : 2 and 2 : 2. During impregnation, the system was stirred continuously. The obtained precipitates were separated to dry at 250°C for 3 hrs and then they were calcined at 600°C for 1 hr to produced $\text{CeO}_2/\text{TiO}_2$. Methylene blue with initial concentration of 3 ppm was examined dye decomposition by using received $\text{CeO}_2/\text{TiO}_2$ in each ratio under created reactor. From the result showed that the mass ratio of cerium (III) nitrate hexahydrate to titania at 2 : 2 gave the highest efficiency of dye decomposition at 88 percents. In the same reaction time of 180 min, the lowest obtained final concentration of methylene blue was 0.35 ppm.



สารบัญ

หน้า

บทคัดย่อ (ภาษาไทย)

ABSTRACT

กิตติกรรมประกาศ

สารบัญ

รายการตาราง

รายการรูป

ประมวลคำศัพท์และคำย่อ

ก
ข
ช
ฉ
ฉ
ซ

บทที่

1. บทนำ

1.1 ความเป็นมาและความสำคัญของปัญหา 1

1.2 วัตถุประสงค์ของการทำวิจัย 2

1.3 ขอบเขตของการทำวิจัย 2

1.4 ประโยชน์ที่จะได้รับจากการทำวิจัย 2

2. วารสารปริทัศน์

2.1 โลหะออกไซด์ 4

2.2 การเตรียมตัวเร่งปฏิกริยาที่เป็นโลหะออกไซด์ 12

2.3 คุณสมบัติของ CMC 17

2.4 กระบวนการไมโครอิมลัชัน 18

2.5 กระบวนการไฟฟ้าออกซิเดชันโดยใช้ตัวเร่งปฏิกริยา

หรือไฟฟ้าแคตตาไลติกออกซิเดชัน 24

2.6 ผลงานวิจัยที่เกี่ยวข้อง 32

3. วิธีการทำวิจัย

3.1 อุปกรณ์ สารเคมี และเครื่องมือในการทำวิจัย 34

3.2 ขั้นตอนการทดลอง 35

สารบัญ (ต่อ)

บทที่	หน้า
4. ผลการทำการวิจัย	
4.1 การสังเคราะห์ไททาเนียมด้วยวิธีโซล-เจล โดยการเติม CMC	38
4.2 การสังเคราะห์ซีเรีย (CeO ₂) ด้วยเทคนิคไมโครอิมัลชัน	40
4.3 การสังเคราะห์ CeO ₂ /TiO ₂ ด้วยวิธีการฝังแบบเปียก	41
4.4 การทดสอบปฏิกิริยาการถลายน้ำด้วยอา舍ีย CeO ₂ /TiO ₂ ในการทำปฏิกิริยาร่วมกับแสง	44
5. สรุปผลการทำการวิจัย	
5.1 การสังเคราะห์ไททาเนียมด้วยวิธีโซล-เจล โดยการเติม CMC	46
5.2 การสังเคราะห์ซีเรีย (CeO ₂) ด้วยเทคนิคไมโครอิมัลชัน	46
5.3 การสังเคราะห์ CeO ₂ /TiO ₂ ด้วยวิธีการฝังแบบเปียก	46
5.4 การทดสอบปฏิกิริยาการถลายน้ำด้วยอา舍ีย CeO ₂ /TiO ₂ ในการทำปฏิกิริยาร่วมกับแสง	47
5.5 ข้อเสนอแนะ	47
เอกสารอ้างอิง	48
ภาคผนวก	
ภาคผนวก ก. ตัวอย่างการคำนวนขนาดผลึก	51
ภาคผนวก ข. การวัดพื้นที่ผิวเฉลี่ยและขนาดรูพรุนของ CeO ₂ /TiO ₂ โดย (Branauer-Emmett-Teller, BET)	52
ภาคผนวก ค. การหาโครงสร้างของ CeO ₂ /TiO ₂ โดยเอกซ์ – เรย์ดิฟเฟร็กชันสเปกโตรสโคปี (X – Ray Diffraction Spectroscopy, XRD)	56
ภาคผนวก ง. การศึกษาลักษณะทางกายภาพด้วยกล้องจุลทรรศน์อิเล็กตรอนแบบส่องกระดาด (Scanning Electron Microscope, SEM)	59

สารบัญ (ต่อ)

บทที่	หน้า
ภาคผนวก จ. การทดสอบประสิทธิภาพการถลายสีเมธิลีน บลู ด้วยเครื่อง	
ยูว-วิสิเบิล สเปกโโทร โฟโตมิเตอร์(UV-Vissible spectrophotometer)	63
ภาคผนวก ฉ. กราฟมาตรฐานความเข้มข้นของเมธิลีน บลู	
ที่ใช้ทดสอบประสิทธิภาพการถลายสีด้วย $\text{CeO}_2/\text{TiO}_2$	66
ภาคผนวก ช. กราฟมาตรฐาน X – Ray Diffraction Spectroscopy(XRD)	
ของ TiO_2 (ไทยเนีย)	67
ภาคผนวก ช. กราฟมาตรฐาน X – Ray Diffraction Spectroscopy	
(XRD) ของ CeO_2 (จีเรีย)	68
ประวัติผู้เขียน	69



รายการตาราง

ตาราง	หน้า
2.1 ระบบของผลึก 7 ชนิด	6
2.2 ความยาวพันธะของไททาเนียม	11
4.1 พนาคพื้นที่ผิวเคลือบของไททาเนียม และขนาดครูพรุนของ 0.3 M TiO_2 ในสารละลายน้ำ EtOH ที่ทำการเติม 1% CMC ที่ปริมาตรต่างกัน (แคลไชน์ที่ $400^\circ C$ เป็นเวลา 2 ชั่วโมง)	39
4.2 พื้นที่ผิวเคลือบของ CeO_2 / TiO_2 ที่มีจำนวนกรัมของซีเรียม ไนเตรต เอเกะะไอยเดรต ต่างกัน	42



รายการรูป

รูป	หน้า
2.1 แกนคริสแทล โลกราฟิกของผลึกรูปลูกบาศก์	5
2.2 หน่วยเซลล์ที่เกิดจาก space lattice	6
2.3 หน่วยเซลล์ต่างๆ ของระบบลูกบาศก์	7
2.4 แลตติซบร้าเวล์ในแต่ระบบของผลึก	8
2.5 โครงสร้างโมเลกุลของไทยนาเนีย	10
2.6 โครงสร้างผลึกของซีเรียออกไซด์	11
2.7 สูตร โครงสร้างของ CMC (Carboxyl methyl cellulose)	17
2.8 ลักษณะและขนาดวัฏภากภายในของไมโครอิมลชัน	19
2.9 ไมโครอิมลชันในรูปแบบต่างๆ	20
2.10 ลักษณะการรวมตัวของอนุภาคในรูปแบบต่างๆ	21
2.11 ความไม่เสถียรของระบบอิมลชัน(а) Coalescence; (б) Breaking; (с) Flocculation; (д) Creaming	21
2.12 ลักษณะ โมเลกุลของสารลดแรงตึงผิว	22
2.13 ลักษณะ โมเลกุลของสารลดแรงตึงผิวนิคต่างๆ	23
2.14 โครงสร้างของແນພັ້ງງານຂອງສາຮກິ່ງຕົວນໍາ	25
2.15 การเกิดโซลและอิเล็กตรอนของสารກິ່ງຕົວນໍາและปฏิกิริยาທີ່ເກີດຈຶ່ງທີ່ຜົວຂອງສາຮກິ່ງຕົວນໍາ	26
3.1 ชุดทดสอบการสลายสีโดยอาศัย $\text{CeO}_2/\text{TiO}_2$ ในการทำปฏิกิริยาร่วมกับแสง a) กล่องใส่ ชุดทดสอบ (b) ชุดทดสอบการสลายสีທີ່ກາຍໃນบรรจุหลอด UV ກຳລັງ 400 watt	37
4.1 ลักษณะทางกายภาพของอนุภาคไทยนาเนียທີ່ສັງຄະຣະໄດ້	38
4.2 ผลของปริมาณ 1% CMC ต่อพื้นທີ່ຜົວຂອງไทยนาเนียເມື່ອແຄດໄຫນທີ່ອຸພະກູມ 400°C	40
4.3 สารທີ່ເຕີບຢືນໄດ້ດ້ວຍເຖິງນິກິດໃນ ไมโครอิมลชัน (а) สารລະລາຍໃນ ไมโครอิมลชันທີ່ເຕີບຢືນໄດ້ ແລະ (б) อนุภาค CeO_2 ທີ່ເຕີບຢືນໄດ້ຈາກເຖິງນິກິດໃນ ไมโครอิมลชัน	40
4.4 อนุภาคของ $\text{CeO}_2/\text{TiO}_2$ หลังการແຄດໄຫນ	41
4.5 เสັ້ນສະເປັກຕົວໆນິກິດໃນກາງວິເຄຣະທີ່ດ້ວຍເຖິງນິກິດ X-Ray Diffraction ຂອງ $\text{CeO}_2/\text{TiO}_2$ ທີ່ເຕີບຢືນຈາກ ปรິມານີ້ເຕີບຢືນໃນເຕຣຕ ເສກະໄອເຄຣຕຕ່າງກັນຄືອ (а) 0.5 g (б) 1 g ແລະ (с) 2 g	42

รายการรูป (ต่อ)

รูป

หน้า

4.6 โครงสร้างทางจุลภาคของ $\text{CeO}_2 / \text{TiO}_2$ ที่กำลังขยาย 10,000 เท่า ที่อัตราส่วนโดยน้ำหนักระหว่างซีเรียมในเตρต เอகะะไ媳เดรต และไททาเนีย คือ (a) 0.5 : 2 (b) 1 : 2 และ (c) 2 : 2	43
4.7 ค่าของการดูดกลืนแสงของสารละลายนมิลิน บลู เมื่อใช้ตัวเร่งปฏิกิริยา $\text{CeO}_2 / \text{TiO}_2$ ในอัตราส่วน โดยน้ำหนักของซีเรียมในเตρต เอกะะไ媳เดรต ต่อไททาเนีย ต่างกัน (a) 0.5 : 2 (b) 1 : 2 และ(c) 2 : 2	44
4.8 ค่าความเข้มข้นที่สมดุลของสารละลายนมิลิน บลู ของซีเรียมในเตρต เอกะะไ媳เดรต ต่อ ไททาเนียที่อัตราส่วนต่างๆ	45
๔.๑ การวัดพื้นที่ผิวโดยใช้วิธีการดูดซับของแก๊สด้วย Branauer-Emmett-Teller (BET)	53
๔.๒ แบบจำลองการดูดซับโมเดลกูลหลายชั้น	54
๔.๓ The BET model for adsorption	54
๕.๑ หลักการทำงานของเครื่องเอกซ์เรย์ดิฟแฟร์กชัน (Diffraction Spectroscopy, XRD)	56
๕.๒ ส่วนประกอบของหลอดผลิตรังสีเอกซ์	57
๕.๓ ลักษณะของมุมที่รังสีเอกซ์ตกกระทบและเกิดการกระเจิงแสง	58
๖.๑ องค์ประกอบกล้องจุลทรรศน์อิเล็กตรอนแบบส่องกราด (SEM)	60
๖.๒ ส่วนประกอบของเครื่อง	62
๗.๑ องค์ประกอบของเครื่องสเปกโถรนิเตอร์	63
๗.๒ สเปกตรัมของสารตัวอย่าง	65
๘.๓ กราฟมาตรฐานทั่วไปสำหรับการวิเคราะห์หาปริมาณสาร โดยใช้ สเปกโถรสโกปี	65
๙.๑ ค่าการดูดกลืนแสงของสารละลายนมิลิน บลู ที่แต่ละความเข้มข้น (ppm)	66
๙.๑ รูปแบบมาตรฐานของการเลี้ยวเบนของรังสีเอกซ์หรือเรียกว่า XRD	
๙.๑ แบบจำลองของ ไททาเนีย	67
๙.๑ กราฟมาตรฐาน XRD ของซีเรียม	68

ประมวลคำศัพท์และคำย่อ

- = X-Ray Diffraction
- = Scanning Electron Microscope
- = Branuer-Emmett-Teller
- = Gas Chromatography
- = นาโนเมตร
- = ไทยเนีย
- = Carboxyl methyl cellulose
- = Hexadecyl trimethyl ammonium bromine
- = Part per million



บทที่ 1

บทนำ

บทนี้จะกล่าวถึงความเป็นมาและความสำคัญของปัญหา วัตถุประสงค์ของการทำงานวิจัย ขอบเขตของการทำงานวิจัยและประโยชน์ที่ได้จากการทำงานวิจัย

1.1 ความเป็นมาและความสำคัญของปัญหา

ไททาเนียมไดออกไซด์ หรือไททาเนียม (TiO_2) คือสารประกอบของไททาเนียมที่ได้จากธรรมชาติ หรือจากการสังเคราะห์ ไททาเนียมที่พบทั่วไปอยู่ในรูปพลีกมี 3 ชนิด คือ รูไทล์ (Rutile) อนาเทส (Anatase) และบรูคไกต์ (Brookite) ไททาเนียมที่พบในธรรมชาติจะมีสีแดงหรือสีแดงอมน้ำตาลถึงดำ ซึ่งเกิดจากโลหะเหล็ก โครงเมียมหรืออวนเดียนผสม โดยอาจมีปริมาณมากถึง 10% ของไททาเนียมทั้งหมด ใน การสังเคราะห์ไททาเนียมจะได้ไททาเนียมที่บริสุทธิ์ พลีกมีสีขาว ไม่มีกลิ่น ไม่มีรส และมีความเสถียรในทุกๆ อุณหภูมิ แต่ต้องไม่เกินอุณหภูมิของไททาเนียมที่ $1850^{\circ}C$ ไททาเนียมมีความสามารถในการสะท้อนความยาวคลื่นวิสิบิล (Visible) และอัลตราไวโอเลต (Ultraviolet) ได้สูงมาก ไททาเนียมในรูปพลีกอนาเทส และรูไทล์ได้มีการนำมาประยุกต์ใช้อย่างกว้างขวางในปัจจุบัน เช่น หมึกพิมพ์สีของพลาสติก ยาง กะรดาญ และการเคลือบผิวโลหะ ฯลฯ นอกจากนั้น ไททาเนียมยังเป็นวัสดุกึ่งตัวนำที่ดีในปฏิกริยาการใช้แสง ดังนั้นในปฏิกริยาเคมีหลายชนิดจึงเลือกใช้ไททาเนียมเป็นตัวเร่งปฏิกริยาทางแสง เช่น ปฏิกริยาการแยกสลายสารอินทรีย์ เป็นต้น ประสิทธิภาพของไททาเนียมที่ใช้เป็นตัวเร่งปฏิกริยาทางแสง ขึ้นอยู่กับชนิดของพลีก ขนาดอนุภาค และลักษณะของพลีก โดยทั่วไปนิยมใช้พลีกไททาเนียมที่อยู่ในรูปอนาเทสเป็นตัวเร่งปฏิกริยาทางแสง เพราะมีความว่องไวต่อแสงที่สุด นอกจากนั้น ไททาเนียมยังเป็นสารที่มีราคาไม่แพงมากและทนการกัดกร่อนจากแสงสูง

วิธีสังเคราะห์ไททาเนียมหลายวิธี ได้แก่ วิธีไมโครเวฟที่ความดันสูง (Microwave high-pressure method) วิธีไกลด์โคลเทอร์มอล (Glycothermal method) วิธีไฮโดรเทอร์มอล (Hydrothermal method) และวิธีโซล-เจล (Sol-gel method) วิธีโซล-เจล ถูกนำมาใช้เพื่อผลิตวัสดุคุณภาพดี อย่างกว้างขวาง เช่น การสังเคราะห์วัสดุประเภทเซรามิก การสังเคราะห์เมมเบรน การสังเคราะห์สารเคลือบผิว เป็นต้น จากการศึกษาหลักการของวิธีโซล-เจล คือ สารที่ใช้เตรียมจะเปลี่ยนจากสภาพของเหลว (Sol) เป็นเจล (Gel) ซึ่งสารที่ได้จะอยู่ในลักษณะกึ่งของแข็ง จากนั้นนำเจลที่ได้ไปรีഫิร์น้ำออก จากนั้นนำไปเผาจะได้สารที่อยู่ในรูปของพลีก ข้อดีของวิธีโซล-เจล คือ

1. สามารถควบคุมองค์ประกอบได้ดีกว่าวิธีอื่น เนื่องจากสารตั้งต้นผสมเป็นเนื้อเดียวกันในระดับโมเลกุล

2. ได้ผลิตภัณฑ์ที่มีความบริสุทธิ์สูง เพราะใช้สารตั้งต้นที่เป็นโลหะอัลคาลใจด์ซึ่งมีสิ่งเจือปนน้อยกว่าออกไซด์

ถึงแม้ไทยเนยที่สังเคราะห์ได้ด้วยวิธีโซล-เจล จะมีข้อดีอยู่มาก แต่ก็ยังมีข้อจำกัดหลายประการที่ทำให้ไทยเนยที่สังเคราะห์ได้มีประสิทธิภาพในการใช้งานในช่วงแรกๆ เช่น พื้นที่ผิวของตัวเร่งปฏิกิริยาไม่สูงพอ มีผลทำให้ปฏิกิริยาเกิดขึ้นได้ไม่ดี เป็นต้น ดังนั้นในวิจัยนี้จึงมีวัตถุประสงค์ที่จะสังเคราะห์ไทยเนยใหม่พื้นที่ผิวมากขึ้น และมีความกว้างไวในการเร่งปฏิกิริยาที่สูงกว่าเดิม นอกจากนั้นยังได้ศึกษาการนำเข้าเรียนออกไซด์ หรือซีเรียม (CeO_2) ซึ่งสังเคราะห์ด้วยวิธีไมโครอิมัลชัน มาเติมลงบนไทยเนยที่สังเคราะห์ได้แล้วด้วยวิธีโซล-เจลซึ่งการเคลือบซีเรียมบนอนุภาคไทยเนยนั้นทำด้วย การฝังแบบเปียก (Wet Impregnation) โดยคณะผู้วิจัยคาดหวังว่าการนำเข้าเรียมมาทำงานร่วมกับไทยเนยจะทำให้ปฏิกิริยาเร่งแสงเกิดขึ้น ได้อย่างมีประสิทธิภาพมากขึ้น

1.2 วัตถุประสงค์ของการทำวิจัย

1.2.1 เพื่อสังเคราะห์ $\text{CeO}_2/\text{TiO}_2$ โดยใช้เทคนิคไมโครอิมัลชัน

1.2.2 ศึกษาหาสภาวะที่เหมาะสมในการสังเคราะห์ $\text{CeO}_2/\text{TiO}_2$

1.3 ขอบเขตของการทำวิจัย

1.3.1 สังเคราะห์อนุภาคไทยเนย (TiO_2) โดยใช้วิธีโซล-เจล

1.3.2 เตรียมซีเรียมออกไซด์ (CeO_2) ให้อยู่ในรูปอิมัลชัน โดยเลือกใช้สารลดแรงตึงผิวคือ Hexadecyltrimethylammonium bromide (CTAB)

1.3.3 สังเคราะห์ $\text{CeO}_2/\text{TiO}_2$ โดยวิธีการฝังตัวแบบเปียก

1.3.4 ศึกษาสมบัติของตัวเร่งปฏิกิริยาที่สังเคราะห์ได้จากข้อ 3 โดยวิธีการ XRD, BET และ SEM

1.4 ประโยชน์ที่คาดว่าจะได้รับ

วิจัยนี้เป็นการพัฒนาไทยเนยซึ่งเป็นตัวเร่งปฏิกิริยาทางแสงให้มีประสิทธิภาพสูงขึ้น โดยนำซีเรียมออกไซด์ที่สังเคราะห์ด้วยวิธีไมโครอิมัลชันมาเคลือบทับลงบนอนุภาคไทยเนย ซึ่งซีเรียมอกรไซด์จะช่วยให้ประสิทธิภาพในการเร่งปฏิกิริยาทางแสงเพิ่มมากขึ้น ซึ่งผลจากวิจัยนี้สามารถ

นำไปใช้ในกระบวนการการนำบัณฑีเสียที่ใช้ปฏิกริยาทางแสง หรือปฏิกริยาทางแสงอื่นๆ ได้อย่าง
หลากหลาย



บทที่ 2

สารสารปริทัศน์

บทนี้จะกล่าวถึงทฤษฎีและบทความซึ่งเกี่ยวข้องกับการศึกษาสมบัติของไททาเนียม (TiO_2) ที่สังเคราะห์ด้วยเทคนิคโซล-เจล (Sol-gel method) ศึกษาสมบัติของซีเรียมออกไซด์ (CeO_2) ที่สังเคราะห์ด้วยเทคนิคไมโครอิมอลชัน (microemulsion) เพื่อเป็นแนวทางในการทำปริญญาในพนธ์ มีหัวข้อดังต่อไปนี้

2.1 โลหะออกไซด์[9]

การเร่งปฏิกิริยามีบทบาทสำคัญมาก โดยส่วนใหญ่เป็นงานที่เกี่ยวข้องกับเคมี และการผลิต เชื้อเพลิง ในอุตสาหกรรมเคมี มีการใช้ตัวเร่งปฏิกิริยาซึ่งตัวเร่งปฏิกิริยา (Catalyst) คือสารที่ใช้ในการเพิ่มหรือลดอัตราของปฏิกิริยาและปริมาณของตัวเร่งปฏิกิริยา เช่น โลหะ โลหะออกไซด์ เป็นต้น โลหะออกไซด์ที่ศึกษาคือ ไททาเนียม (TiO_2) และซีเรียมออกไซด์ (CeO_2)

2.1.1 โครงสร้างผลึก (Crystal structure)

2.1.1.1 แลตติซและหน่วยเซลล์ (Lattice and unit cell)

ผลึกประกอบขึ้นจากการเรียงตัวของอะตอม ไอออน หรือโมเลกุล อย่างเป็นระเบียบสม่ำเสมอใน 3 มิติ และยึดกันอยู่ด้วยแรงชนิดค่าคงที่ กัน ผลึกมีโครงสร้างรูปทรงเรขาคณิตที่แน่นอน โดยทั่วไปอธิบายเกี่ยวกับผลึกใช้ในแนวความคิดที่เรียกว่า แลตติซ (Lattice) โดยใช้ขั้นตอนการว่าผลึกสามารถสร้างขึ้นจากจุดเล็กๆ ติดต่อกันแบบซ้ำๆ ในทุกทิศทางเหมือนกัน โดยให้จุดเล็กๆ เป็นจุดแลตติซ (Lattice point) แต่ละจุดแลตติซจะต้องมีสิ่งแวดล้อมเหมือนกับจุดอื่นๆ ในทุกทิศทางที่เหมือนกัน แลตติซใน 3 มิติเรียกว่า สามมิติแลตติซ (Space lattice)

2.1.1.2 ดัชนีมิลเลอร์ (Miller indices)

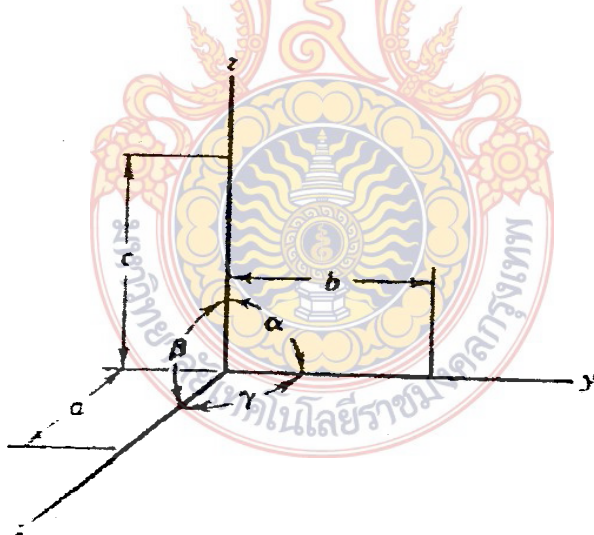
อาจพิจารณาแลตติซในลักษณะของระนาบหลายๆ ระนาบที่นานกันเป็นระยะๆ เท่ากัน ซึ่งนานบัดกล่าวเรียกว่า นานาแลตติซ (Lattice plane) ผิวน้ำของผลึกที่สมบูรณ์จะนานกับนานาแลตติซเหล่านี้ การระบุนานาจะใช้ขักมร ($h k l$) (ให้สังเกตการใช้วงเล็บ และไม่มีเครื่องหมาย “,” คั่น) ค่า $h k l$ เรียกว่า ดัชนีมิลเลอร์ (Miller indices) นานาของผลึกเป็นสิ่งที่สำคัญที่สุดอีกประการหนึ่งในการศึกษาผลึก เพราะในแต่ละนานาจะประกอบไปด้วยอะตอม ไอออน หรือโมเลกุลเรียงตัวกันอยู่บนนานานั้น จุดที่นานานั้นๆ ตัดกันผลึกจะได้มามากค่าส่วนกลับของดัชนี

มิลเลอร์ เช่น ระยะ $(0 \ 1 \ 0)$ จะตัดแกน $x \ y \ z$ ที่จุด $\frac{1}{0}, \frac{1}{1}, \frac{1}{0}$ หรือจุด $\alpha, 1, \alpha$ นั่นเอง (ระยะอนันต์)

หมายถึงไม่ตัดกับแกนนั้น) ถ้าหากเป็นจุดตัดในทิศทางลบจะได้เครื่องหมายบาร์ (Bar) ไว้บนตัวเลข
นั้นๆ เช่น ระยะ $(1 \ 1 \ 1)$ จะตัดแกน $x \ y \ z$ ที่จุด $\frac{1}{-1}, \frac{1}{1}, \frac{1}{1}$ หรือจุด $-1, 1, 1$

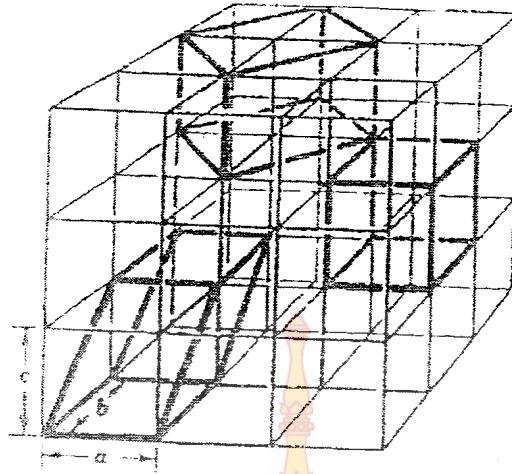
2.1.1.3 ระบบผลึก (Crystal system)

เนื่องจากผลึกมีรูปทรงเรขาคณิตที่แน่นอน การบอกรูปทรงของผลึกอาจทำได้โดยการตั้งแกนให้มีความสัมพันธ์กับรูปร่างภายนอกของผลึกนั้นๆ คือ ตั้งให้ขนานหรือทับกันพื้นที่ผิวของผลึกในสามมิติ เรียกแกนทั้ง 3 นี้ว่า แกนคริสแทลโลกราฟิก (Crystallographic axes) ดังนั้นรูปแบบของผลึกจึงกำหนดขึ้นโดยการตัดของพื้นที่ผิวกับแกนต่างๆ และมุมที่เกิดขึ้นระหว่างแกน กรณีที่ผลึกมีรูปร่างเป็นลูกบาศก์ แกนและมุมต่างๆ ของแกนคริสแทลโลกราฟิก มีลักษณะดังแสดงในรูปที่ 2.1 ในรูปนี้จะเห็นว่าแกน $x \ y \ z$ มีจุดตัดที่ a, b และ c ตามลำดับ มุมที่เกิดขึ้นระหว่างแกน y และแกน z เรียกว่ามุม α ระหว่างแกน x และแกน y เรียกว่ามุม β ส่วนมุมที่เกิดขึ้นระหว่างแกน x และแกน y เรียกว่ามุม γ



รูปที่ 2.1 แกนคริสแทลโลกราฟิกของผลึกรูปลูกบาศก์ [9]

ผลึกประกอบขึ้นจากชุดของแลตติซเป็นไปตามที่อยู่ของอะตอม หรือไอออนในผลึกโครงสร้างที่ประกอบให้เป็นผลึก อาจใช้จินตนาการได้จากการเรียงตัวของจุดแลตติซในทิศทางต่างๆ แบบเป็นตาข่ายดังในรูปที่ 2.2 รูปร่างผลึกอาจบอกได้จากหน่วยที่เล็กที่สุดเรียกว่า หน่วยเซลล์ (unit cell)



รูปที่ 2.2 หน่วยเซลล์ที่เกิดจาก space lattice [9]

ซึ่งแสดงໄว้ด้วยเส้นทึบในรูป สิ่งสำคัญในการเลือกหน่วยเซลล์คือ พยายามเลือกหน่วยเซลล์ให้มีสมมาตรสูงสุด ส่วนขนาดและรูปร่างของหน่วยเซลล์กำหนดโดยความยาวของ a , b , c ตามแกนคริสเทลโลกราฟิก และมุม แกนที่เลือกขึ้นจะเป็นสิ่งกำหนดรูปร่างของหน่วยเซลล์ หน่วยเซลล์ที่สร้างขึ้นช้าๆ กันในสามมิติจะได้รูปร่างผลึกใหญ่

หน่วยเซลล์ที่สร้างขึ้น จะมีจุดแลกเปลี่ยนส่วนหนึ่งหรือทั้งหมดตามมุมต่างๆ ของหน่วยเซลล์ ทำให้เกิดระบบของผลึกเป็น 7 ระบบด้วยกัน ซึ่งจะเห็นได้จากตารางที่ 2.1

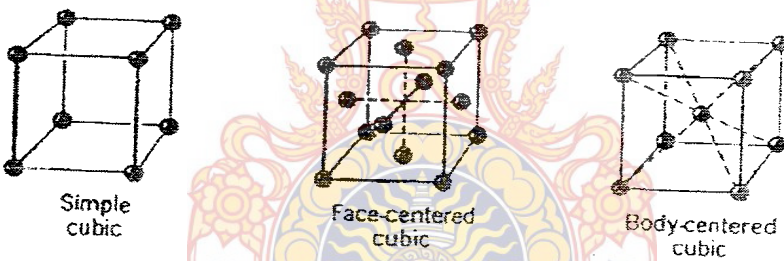
ตารางที่ 2.1 ระบบของผลึก 7 ชนิด

ระบบ	มุม	ความยาวของแกน
Triclinic	$\alpha \neq \beta \neq 90^\circ$	$a \neq b \neq c$
Monoclinic	$\alpha \neq \gamma = 90^\circ, \beta \neq 90^\circ$	$a \neq b \neq c$
Orthorhombic	$\alpha = \beta = \gamma = 90^\circ$	$a \neq b \neq c$
Tetragonal	$\alpha = \beta = \gamma = 90^\circ$	$a = b \neq c$
Rhombohedral (Trigonal)	$\alpha = \beta = \gamma \neq 90^\circ$	$a = b = c$
Hexagonal	$\alpha = \beta = 90^\circ, \gamma = 120^\circ$	$a = b \neq c$
Cubic	$\alpha = \beta = \gamma = 90^\circ$	$a = b = c$

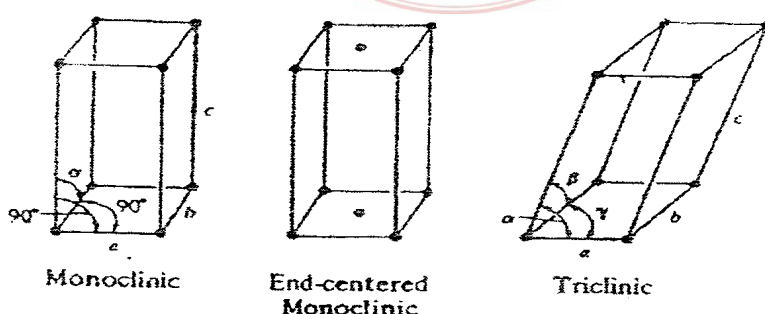
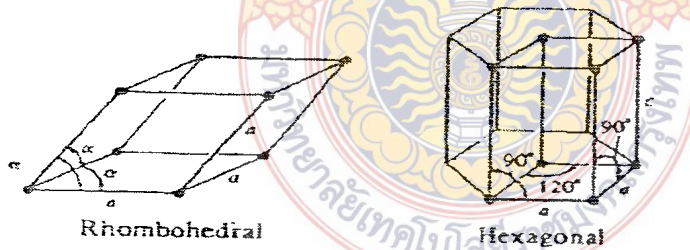
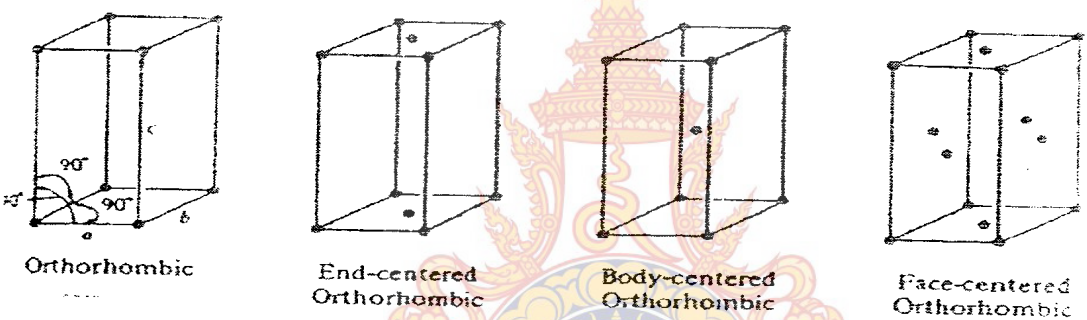
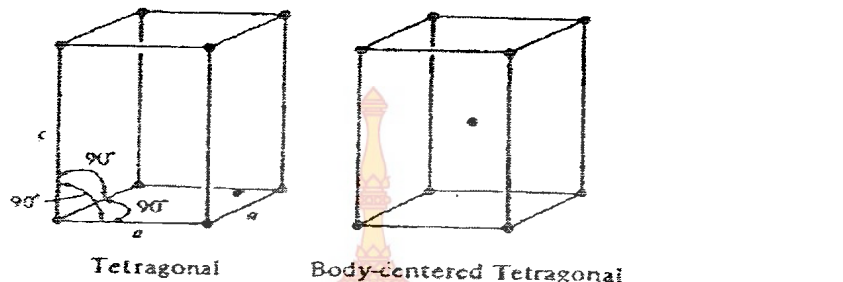
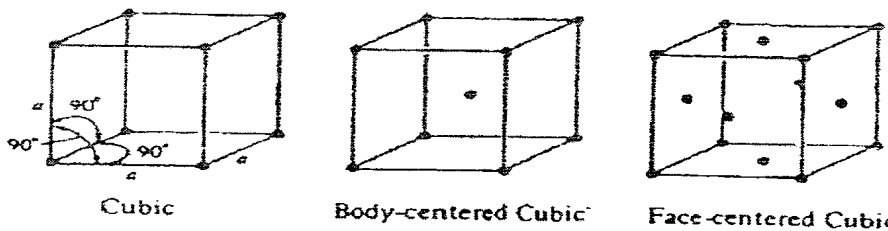
อย่างไรก็ตามจุดตามมุมต่างๆ ที่ประกอบขึ้นเป็นหน่วยเซลล์ไม่สามารถบรรยายรูปส่วนประกอบได้ละเอียดพอ เป็นต้นว่าในระบบลูกบาศก์ (Cubic system) นอกจากจะมีอะตอมหรือไอออนตามมุมทั้งแปดแล้วอาจจะมีอะตอมหรือไอออนที่จุดศูนย์กลางของพื้นผิวทั้งหก หรือตรงกลางของลูกบาศก์ด้วยก็ได้ เพราะฉะนั้นสำหรับระบบลูกบาศก์จึงมีແລຕີຈີ หรือหน่วยเซลล์ถึงสามอย่างคือ

- 1) Simple หรือ Primitive cubic โดยมีจุดที่มุมของลูกบาศก์เท่านั้น
- 2) Face centered cubic โดยมีจุดที่มุมของลูกบาศก์และตรงจุดศูนย์กลางของผิวน้ำทุกหน้า
- 3) Body centered cubic โดยมีจุดที่มุมและที่จุดศูนย์กลางของลูกบาศก์

ทั้งสามอย่างปรากฏดังแสดงในรูปที่ 2.3 ส่วนประกอบอื่นๆ มีແລຕີອ่าย่างอื่นนอกเหนือจากที่เป็น Simple หรือ Primitive และແລຕີທี่กล่าวนี้เรียกว่าແລຕີบรัวเวส (Bravais lattices) มีทั้งหมด 14 แบบ ดังแสดงไว้ในรูปที่ 2.4



รูปที่ 2.3 หน่วยเซลล์ต่างๆ ของระบบลูกบาศก์ [9]



รูปที่ 2.4 แลตติซบราเวส์ในแต่ระบบของผลึก [9]

ในผลีกระบวนการต่างๆ ระยะห่างระหว่างรากฐานที่ขานกัน (d_{hkl}) จะมีความสัมพันธ์กับค่าพารามิเตอร์ของเลตติติช (Lattice parameter) ของหน่วยเซลล์ ดังนี้

$$\text{Cubic} \quad \frac{1}{d^2} = \frac{h^2 + k^2 + l^2}{a^2}$$

$$\text{Tetragonal} \quad \frac{1}{d^2} = \frac{h^2 + k^2}{a^2} + \frac{l^2}{c^2}$$

$$\text{Orthorhombic} \quad \frac{1}{d^2} = \frac{h^2}{a^2} + \frac{k^2}{b^2} + \frac{l^2}{c^2}$$

$$\text{Hexagonal} \quad \frac{1}{d^2} = \frac{4}{3} \left(\frac{h^2 + hk + k^2}{a^2} \right) + \frac{l^2}{c^2}$$

$$\text{Monoclinic} \quad \frac{1}{d^2} = \frac{1}{\sin^2 \beta} \left(\frac{h^2}{a^2} + \frac{k^2 \sin^2 \beta}{b^2} + \frac{l^2}{c^2} - \frac{2hl \cos \beta}{ac} \right)$$

2.1.1.4 ของแข็งผลึก (Crystalline solids) [9]

ไอออนมีแนวโน้มที่จะเกิดพันธะกับธาตุในกลุ่มที่อยู่ทางซ้ายหรือทางขวาของตารางธาตุ ดังนั้นเราจึงคาดว่าโลหะ (Metal) ในหมู่ 1 และ 2 จะเกิดเป็นแคทไอออนและอลูเมเนียล (Non-metal) ของโลหะหมู่ 6 และ 7 และในโตรเจน จะเกิดเป็นแอนไฮดรอนเพื่อรับอิเล็กตรอน ทำให้เกิดโครงแบบเวลน์อิเล็กตรอนแบบแก๊สเหลือขึ้น (Noble gas) ที่เสถียร ได้ แคทไอออนเกิดจากธาตุหมู่ 3 บางตัวได้ เช่น อะลูมิเนียม (Al^{3+}) เกิดจากโลหะแทรนซิชันที่มีเลขออกซิเดชันต่ำและมีโอกาสที่จะเกิดจากธาตุในหมู่ 4 ที่มีเลขอะตอม (Atomic number) สูง เช่น Sn Pb เกิดเป็น Sn^{4+} และ Pb^{4+}

พันธะไอออนิก (Ionic bond) เกิดขึ้นระหว่างไอออน 2 ตัวที่มีประจุตรงข้ามกัน เนื่องจากแรงดึงดูดทางไฟฟ้าสถิตย์ (Electrostatic attraction) ระหว่างไอออน พันธะไอออนิกแข็งแรง แต่ไม่มีทิศทาง (Non-directional) ผลึกไอออนิก (Ionic crystal) ประกอบด้วยแคลวของไอออนที่ไม่มีที่สิ้นสุดซึ่งจัดตัวอยู่ด้วยกันในทางที่ทำให้แรงดึงดูดคูลอมบ์ (Coulomb attraction) ระหว่างไอออนที่มีประจุตรงข้ามกันมีมากที่สุดและแรงผลัก (Ionic compound) ในเชิงไคลด์และออกไซด์ของโลหะหมู่ 1 และ 2 และมีโครงสร้างผลึกดังเช่นที่กล่าวไว้ในตอนต้น

ของแข็งไอออนิกประเภทออกไซด์ (Ionic solids-oxides type) แบ่งเป็น

1) โนโนออกไซด์ (MO) ได้แก่ MgO , CaO , BaO , FeO

2) ไคออกไซด์ (MO_2) ได้แก่ TiO_2 , CeO_2 , ZrO_2

3) ไตรออกไซด์ ได้แก่ คอรัมดัม (Corundum; M_2O_3), ReO_3

4) ออกไซด์ผสม (Mixed oxides) ได้แก่ สปินเนล (Spinel) เพอร์อพส์ไกท์ (Perovskite) และอิลเมนิต (Ilmenite)

ในที่นี่จะกล่าวถึง โครงสร้างของ ไททาเนียมและซีเรียมออกไซด์ ซึ่งเป็น โครงสร้างตัวเร่งที่เตรียมได้เท่านั้น

2.1.2 โครงสร้างของ ไททาเนียม (TiO_2) [13]

ไททาเนียม (TiO_2) เป็นสารกึ่งตัวนำที่ได้รับการพิสูจน์แล้วว่าเหมาะสมในการประยุกต์ใช้เพื่อการนำบัดทางสิ่งแวดล้อม เนื่องจาก ไททาเนียมมีความคงตัวไม่เปลี่ยนรูปเมื่อเกิดปฏิกิริยา และไม่เป็นพิษต่อสิ่งแวดล้อม

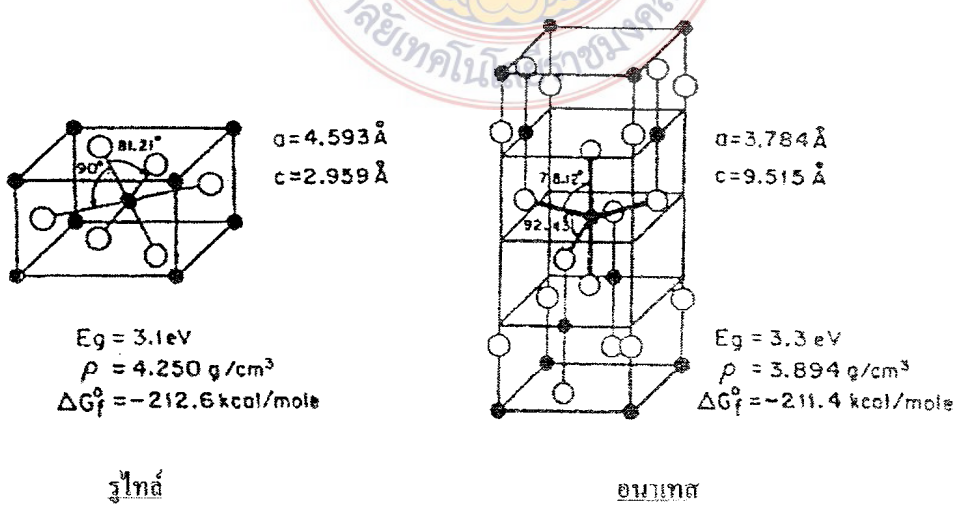
ไททาเนียมที่มีอยู่ในธรรมชาติ มีรูปแบบผลึกอยู่ 3 รูปแบบ ได้แก่ คือ

1) รู๊ไทล์ (Rutile) สามารถโน้มน้าวให้มีเสถียรภาพมาก ได้ที่อุณหภูมิสูงๆ ชนิดของ ไททาเนียมที่ใช้ในอุตสาหกรรม ส่วนมากจะเป็นแบบรู๊ไทล์ เนื่องจาก โครงสร้าง เช่น โรงงานสี โรงงานทำเครื่องสำอาง โรงงานทำอาหาร และบางครั้งพบในหินอัคนี

2) アナ泰斯 (Anatase) สามารถโน้มน้าวให้มีเสถียรภาพมาก ได้ที่อุณหภูมิต่ำกว่า รู๊ไทล์ ผลึกชนิดนี้นิยมใช้ในกระบวนการใช้แสงขั้นสูง

3) บรู๊คไกท์ (Brookite) เป็นผลึกที่พบในแร่เท่านั้น และมีโครงสร้างผลึกเป็นแบบ ออฟโรนบิค (Orthorhombic)

ส่วนผลึกที่นำมาใช้ในด้านการนำบัดน้ำเสีย มีอยู่ 2 ชนิดคือ アナ泰斯 (Anatase) และ รู๊ไทล์ (Rutile) รูปโครงสร้างโมเลกุลแสดงดังรูปที่ 2.5



รูปที่ 2.5 โครงสร้างโมเลกุลของ ไททาเนียม [9]

อนาเทสเป็นรูปผลึกที่มีความว่องไวและความเสถียรทางเหอร์โน่ไดนามิกมากกว่า รูไกล์และบruk ไคต์ เนื่องจากอนาเทสมีพื้นที่ผิวมากซึ่งการเปลี่ยนไปเป็นรูไกล์จะทำให้พื้นที่ผิวลดลง การลดลงของพื้นที่ผิวจะเกิดขึ้นกับการสูญเสียความว่องไวในการปฏิกริยา รูไกล์มีความหนาแน่น 4.2 g/cm^3 ส่วนอนาเทสมีความหนาแน่น 3.9 g/cm^3 ดังนั้นรูไกล์จึงจัดเรียงตัวแบบชิดกันมากกว่า アナเทส [19]

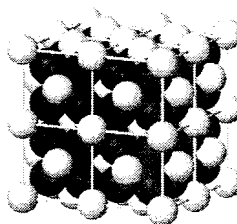
ตารางที่ 2.2 ความยาวพันธะของไฟฟ้านี้ [15]

โครงสร้าง	Ti – O ความยาวพันธะ (Å)
アナเทส	4-1.934
รูไกล์	2-1.980
บruk ไคต์	4-1.949 2-1.980 2-1.990
	1.81, 1.92, 1.94, 1.95

ที่มา: Labouriul และ Earl (1997)

2.1.3 โครงสร้างของซีเรียมออกไซด์ หรือซีเรียม (CeO_2) [20]

ซีเรียมเป็นธาตุที่อยู่ในกลุ่มธาตุหายาก ซึ่งเรียกว่า Lanthanide ซีเรียมถูกพบในแร่ monazite และ xenotine ซึ่งเป็นผลผลอยได้ในการทำเหมืองแร่ดินกุทยาภาคใต้ของประเทศไทย สารประกอบซีเรียมมีหลายรูปแบบ เช่น ซีเรียมไนเตรต ซีเรียมคลอไรด์ ซีเรียมออกไซด์ และซีเรียมชาลไฟด์ เป็นต้น ซีเรียมออกไซด์หรือเรียกว่า ซีเรียมออกไซด์ ซีเรียมออกไซด์ มีสูตรคือ CeO_2 ซึ่งมีมวลโมเลกุลเท่ากับ 172.12 โครงสร้างผลึกแสดง ดังรูปที่ 2.6



รูปที่ 2.6 โครงสร้างผลึกของซีเรียมออกไซด์ [20]

มีอนุภาคเป็นผงแบ่งสีเหลือง มีจุดหลอมเหลวที่ 2500°C มีค่าความถ่วงจำเพาะเท่ากับ 7.3 g/cm^3 ไม่สามารถละลายน้ำได้ แต่ละลายในกรดแร่เข้มข้น ได้ปานกลาง คุณสมบัติความชื้นได้น้อยและกาวน์นอย ได้ออกไซด์จากสภาพะบรรยายกาศได้น้อย โครงสร้างผลึกเป็นแบบ cubic face center (CFC)

2.2 การเตรียมตัวเร่งปฏิกิริยาที่เป็นโลหะออกไซด์

2.2.1 เทคนิคโซล-เจล (Sol-gel technique)

วิธีนี้เป็นการเปลี่ยนสารละลายของสารตั้งต้น (Molecular precursor) ให้อยู่ในรูปของโซล โดยปฏิกิริยาเคมี (โซล หมายถึง อนุภาคของแข็งที่มีขนาด $1\text{-}100 \text{ nm}$ ระหว่างลอดอยู่ในของเหลว) แล้วเกิดเป็นเจล (เจล หมายถึง มีของแข็งเป็นโครงสร้างหลักอยู่ในตัวทำละลายแล้วเกิดปฏิกิริยาความแน่นของโซลมากขึ้นๆ เป็นโครงต้าข่าย 3 มิติ) ทำให้แห้ง (Drying) แล้วทำให้เกิดความหนาแน่น (Densification) เพื่อให้เกิดเป็นของแข็ง (Solid material) ต่อไป ผลิตภัณฑ์ที่ได้เป็นองค์ประกอบเดียว หรือหลายองค์ประกอบที่มีความบริสุทธิ์สูง เป็นสารเอกพันธุ์ (Homogeneous) ที่อุณหภูมิต่ำ

เริ่มต้นจากสารละลายทำให้เกิดพอลิเมอไรเซชัน ของสารอินทรีย์และอนินทรีย์ (Organic-inorganic polymerization) เพื่อให้เกิดเป็นโครงต้าข่ายของแข็ง (Solid network) มี 2 วิธีที่จะใช้ ขึ้นอยู่กับธรรมชาติของโมเลกุลสารตั้งต้น วิธีแรกคือ วิธีทางเคมีอินทรีย์ จะเกิดเกลือโลหะในสารละลายที่มีน้ำ วิธีที่สองคือ วิธีทางเคมีอินทรีย์ เกิดเป็นโลหะอัลลอยด์ในตัวทำละลายอินทรีย์ ซึ่งทั้งสองวิธีนี้จะเริ่มเกิดผ่านไฮโดรไลซิส (Hydrolysis) ทำให้ได้ M-OH ปฏิกิริยานี้เกิดได้ง่ายโดยการเติมน้ำเข้าไปที่หม้ออัลลอยด์หรือการเปลี่ยนค่าความเป็นกรด-เบส ของสารละลายที่มีน้ำหลังจากเกิดปฏิกิริยาความแน่น (Condensation) ทำให้ได้สปีชีส์ของโลหะ-ออกซิเจน-โลหะ เมื่อเกิดการความแน่นต่อไปในสารละลายจะนำไปสู่การเกิดเป็นโอลิโกเมอร์ (Oligomer) ออกโซพอลิเมอร์และคอลลอยด์เป็นการเกิดโซล ซึ่งสามารถเปลี่ยนเป็นเจลแล้วทำให้แห้งจนสุดท้ายได้เป็นตัวเร่งปฏิกิริยาแบบผง (Powder catalysts)

การเตรียมโดยเทคนิคโซล-เจล เป็นวิธีที่ง่ายต่อการควบคุม คือ

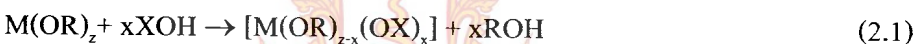
- คงสมบัติเป็นสารที่มีความบริสุทธิ์สูง เพราะใช้วัตถุดีบในการเริ่มต้นที่มีความบริสุทธิ์สูง
- เปลี่ยนลักษณะทางกายภาพของสาร ได้ เช่น การกระจายตัวของขนาดรูพรุน
- ทำให้องค์ประกอบต่างๆ รวมเป็นเนื้อเดียวกันได้
- เตรียมได้ที่อุณหภูมิต่ำ
- ทำให้มีหลายองค์ประกอบได้ภายในขั้นตอนเดียว

วิธีการเกิดโซล-เจล มี 4 ขั้นตอน ดังนี้

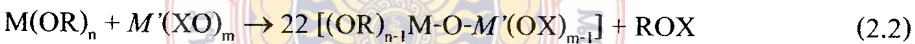
1. การเกิดเป็นเจล (Formation of gel)
2. ระยะเวลาการเกิดเจล (Aging of gel)
3. การนำเอารอตัวทำละลายออก (Removal of solvent)
4. การให้ความร้อน (Heat treatment)

2.2.1.1 การเกิดเป็นเจล (Formation of gel)

สารตั้งต้นที่ใช้สำหรับวิธีการเตรียมโดยเทคนิคโซล-เจล สามารถใช้เกลือของโซเดียมหรือโซดาอัลคลอกไซค์ลอลายในตัวทำละลายที่เหมาะสม โซดาอัลคลอกไซค์นิยมใช้กันมาก ทางจากเกิดปฏิกิริยาได้อ่าย่างรวดเร็วกันน้ำ ในกระบวนการโซล-เจลโดยทั่วๆไปมี 2 ปฏิกิริยาที่ใช้ในระบบการคีอินปฏิกิริยาไฮโดรไลซิส (Hydrolysis) และปฏิกิริยาการควบแน่น (Condensation) ไฮโดรไลซิส (Hydrolysis) และการควบแน่น (Condensation) ของโซดาอัลคลอกไซค์ (MOR) เกิดผ่านปฏิกิริยาการแทนที่ด้วยนิวเคลียฟิลิก (Nucleophilic substitution) ของอัลคลอกไซค์ลิกเอนด์ ด้วยสปีชีส์ไฮดรอกไซค์ (Hydroxylated species; XOH)

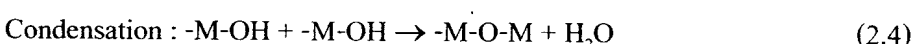


การเกิดไฮโอลิกเอมอร์ผ่านปฏิกิริยาการเดิมเข้าของนิวเคลียฟิลิก (Nucleophilic addition) ที่โนเลกูลอัลคลอกไซค์ พิจารณาจากโซดาอัลคลอกไซค์ 2 ชนิดที่แตกต่างกัน ใช้ปฏิกิริยาการคัดลิวอิสโซนิบายได้ว่า การสังเคราะห์สารที่ระเหยออกหมด



เมื่อ X เป็น โปรตอนหรืออะซิติก

ค่าอิเล็กโตรเนกติวิตีที่สูงของออกซิเจน ($X=3.5$) ทำให้พันธะ $\text{M}^{\delta+}$ - $\text{OR}^{\delta-}$ มีความเป็นขี้วัวและอะตอนของโซดา มีความว่องไวกันนิวเคลียฟิลิก โซดาอัลคลอกไซค์ทำปฏิกิริยากับกรุ๊ปออกซิลิกเอนด์ XOH เช่น β -ไดค์โตน เกิดเป็น $[\text{M(OR)}_{z-x}(\text{OX})_x]$ ดังนั้นปฏิกิริยาเหล่านี้ทำให้เกิดเปลี่ยนแปลงโครงสร้าง โนเลกูลของอัลคลอกไซค์ สารตั้งต้นที่เกิดขึ้นใหม่นี้จะมีความว่องไวและทนทานปฎิกิริยาควบแน่นด้วย เช่น การเติมกรดอะซิติกในไททาเนียมไฮโพรพอกไซค์ (Titanium propoxide) ซึ่งป้องกันการเกิดตะกอนและเวลาในการเกิดเป็นเจลที่รวดเร็วเกินไป หมู่แอซิเทต (C_2O_4) ทำหน้าที่เป็นบริจิ้งก์ในเดนเทตลิกเอนด์ (Bridging bidentate ligand) จากอัตราส่วนไมลารี (molar ratio) AcOH/Ti เท่ากับ 1 ทำให้เกิดสปีชีส์ไฮโอลิกเอมอร์ของ $[\text{Ti(O-i-Pr)}_3(\text{OAc})_n]$ ($n=2, 3$)



แบ่งเป็น 3 กรณี ดังนี้

1. $h > 1$; แสดงว่า มีจำนวนโมลของน้ำอ้อยกว่าจำนวนโมลของ $M(OR)_m$ ทำให้เกิดเป็นหมู่ $-M-OH$ น้อย ดังนั้นจึงมีสารตึงดันของการควบแน่นต่ำ การเชื่อมโยง (Cross-linking) จึงไม่สามารถเกิดได้ในสภาวะที่ไม่มีน้ำมากเกินพอ

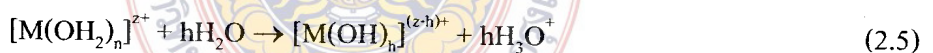
2. $1 < h < m$; แสดงว่า มีจำนวนโมลของน้ำมากกว่าจำนวนโมลของ $M(OR)_m$ แต่มีจำนวนของน้ำอ้อยกว่าจำนวนของหมู่อัลกอไชด์ การเกิดเจลก็สามารถเกิดได้แต่หมู่อัลกอไชด์ไม่สามารถเปลี่ยนเป็น $-M-O-M-$ ได้ทั้งหมด

3. $h > m$; แสดงว่า มีจำนวนโมลของน้ำมากกว่าหมู่อัลกอไชด์ ทำให้สามารถเกิดเจล หรือการเกิดตะกอนได้ เมื่อมีน้ำมากพอในการเติมเข้าที่หมู่อัลกอไชด์

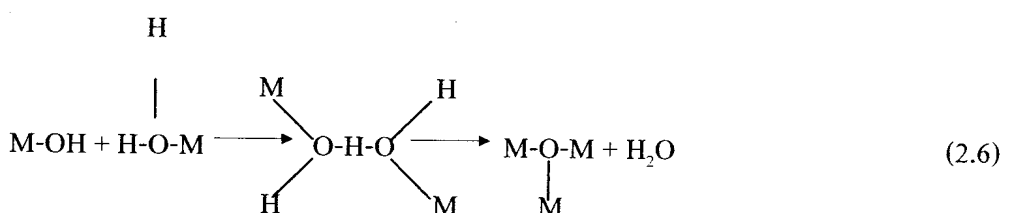
ดังนั้นในการเกิดกระบวนการโซล-เจล ควรจะมีปริมาณของน้ำมากเกินพอ แต่เมื่อพิจารณาในขั้นต่อๆ ไป คือ การนำเอาของเหลวออกจากเฉลวจึงควรมีการกำจัดปริมาณน้ำด้วย

ปฏิกิริยาไฮโดรไลซิสแคนเดชื่อตอนของโลหะและปฏิกิริยาควบแน่น (Hydrolysis of metal cations and condensation)

โดยทั่วไปในสารละลายน้ำจะเกิดโซลเวชัน (Solvation) โดยโมเลกุln้ำเป็นโมเลกุล มีข้อเข้าสู่มรอนแคติโออกอนซึ่งมีประจุบวก ทำให้เกิดสเปชิส $[M(OH_2)_n]^{z+}$ น้ำทำหน้าที่เป็นเบสลิวอีส ทำให้เกิดพันธะ $M-OH_2$ เกิดการถ่ายโอนอิเล็กตรอน ทำให้พันธะ O-H ของโมเลกุln้ำที่โคลอร์ดิเนต มีความเป็นกรดที่แรงกว่าโมเลกุln้ำที่โมเลกุลอิสระดังนั้นจึงเกิดการสูญเสียโปรตอน (Deprotonation) ได้เอง

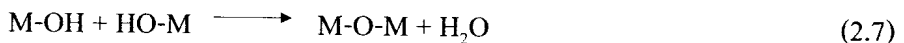


ปฏิกิริยาการควบแน่น (Condensation) ของแคติโออกอนโลหะไฮเครต (Hydrated metal cations) เกิดผ่านปฏิกิริยาโอลे�ชันหรือออกไซเดชัน พอลินิวเคลียร์ที่ได้เกิดจากปฏิกิริยาไฮโดรไลซิสจะเกิดผ่านการกำจัดโมเลกุln้ำจาก Mononuclear hydroxoqua cation, $[M(OH)(OH_2)_{n-1}]^{(z-1)+}$



ลิแกนด์ไฮดรอกซิลของอะตอมโลหะจะสร้างพันธะที่สั้นและสมมาตรกับพันธะไฮโดรเจนของโมเลกุln้ำที่โคลอร์ดิเนตกับอีกอะตอมโลหะหนึ่ง ดังนั้นจึงเกิดเป็นไฮโดรเจนออกไซด์บริจจิ้งลิแกนด์ (Hydrogen-oxide bridgingligand) ระหว่างอะตอมของโลหะทั้งสอง

ปฏิกิริยาอุดโซเลชันเกี่ยวข้องกับการควบแน่นของ OH-2 หมู่เกิดเป็นโมเลกุลน้ำ 1 โมเลกุล ดังนั้นจึงเกิดออกโซบริจาระหว่างโลหะอะตอมทั้งสอง กล่าวได้ว่าเป็นการกำจัดน้ำ (Dehydration) ของสปีชีส์โอลัเต (Olated species) ดังนั้นออกโซเลชันเป็นโซเวชันโซเลชัน (Solvation solation)



ปฏิกิริยาโซเลชันและออกโซเลชัน จำเป็นต้องมีประจุหนึ่งหมู่ของหมู่ -OH ที่โคลอเรคิดเนตกับโลหะ อย่างไรก็ตามจะไม่เกิดการควบแน่นเมื่อโลหะมีประจุเป็นบวกต่ำ ($\delta_m > 0.3$)

2.2.1.2 ระยะเวลาในการเกิดเจล (Aging of gel)

ช่วงเวลาระหว่างการเกิดและการนำเอาร้าวทำละลายออกเรียกว่าแอกิง (Aging) แต่ยังคงมีของเหลวในรูพุน (Pore liquid) อยู่ในเมทริกซ์

เจล (Gel) มีลักษณะยึดหยุ่นเกิดการเปลี่ยนแปลงได้ง่าย ในเจลที่เป็นอนุพันธ์อัลกอกาไซด์ (Alkoxide-derived gel) เกิดการควบแน่นระหว่างหมู่ฟังก์ชันที่อยู่ที่พื้นผิว (Surface functional group) เกิดต่อเนื่องไปหลังจากจุดที่เปลี่ยนเป็นเจล เมื่อเกิดการควบแน่นมากขึ้นๆ จนทำให้เจลหดตัวขึ้นเอาร้าวทำละลายออกหมดเรียกปรากฏการณ์นี้ว่า ซิเนอไรซิส (Syneresis)

การทำให้หยาน (Coarsening) เป็นกระบวนการเชิงฟิสิกส์ที่เกี่ยวกับความสามารถในการรวมกันของพื้นที่ผิวที่แตกต่างกัน ทำให้ได้ขนาดของโพรงต่างกันด้วย ถ้ารูพุนมีขนาดเพิ่มขึ้น เป็นผลให้มีพื้นที่ผิวเฉพาะ (Specific surface area) ลดลง

พารามิเตอร์ที่มีผลต่อระยะเวลาการเกิดเจล คือ อุณหภูมิ เวลา และค่าความเป็นกรด-เบส ของของเหลวในรูพุน

2.2.1.3 การทำให้แห้ง (Drying)

การทำให้แห้ง (Drying) คือ การเอาของเหลวในรูพุน (Pore liquid) ออกจากโครงตาข่ายเจล (Gel network) ดังนั้น ความดันคานาปิลารี (Capillary pressure) มีส่วนช่วยทำให้เกิดวัฏภาพของเหลว-ไอ (Liquid-Vapor interface) ภายในรูพุนด้วย ซึ่งความดันคานาปิลารีจะมีมากสำหรับรูพุนขนาดเล็ก กล่าวคือ ถ้ารูพุนมีขนาดเล็กมากในการทำให้แห้ง เมื่อเอาของเหลวในรูพุนออก ทำให้เกิดแรงดันภายในรูพุนมาก เช่น รูพุนรัศมี 1 nm จะมีความดันคานาปิลารี $1.5 \times 10^8 \text{ Pa}$ มีการกระจายตัวของขนาดรูพุนในช่วงกว้าง มีผลทำให้ความดันต่างกันนำไปสู่การยุบตัวลงของโครงสร้างรูพุน

วิธีการที่จะทำให้คงเป็นโครงตาข่าย (Gel network) โดยการทำให้ความดันคานาปิลารีมีค่าน้อยที่สุด และมีความแตกต่างของความดันน้อยที่สุดด้วย

2.2.1.4 การแคลไชน์/การหลอมรวมกัน (Calcination/Sintering)

หลังจากที่เอาของเหลวในรูพ魯นออก เมื่อให้ความร้อนมากขึ้นเรื่อยๆ เพื่อเปลี่ยนเป็นตัวเร่งปฏิกิริยาที่นำมาใช้งานได้โดยการให้ความร้อนจะผ่านแก๊สที่ว่องไว (Reactivegas) ไปด้วย เช่น อากาศ ออกซิเจนหรือไฮโดรเจนเพื่อกำจัดการอินทรี (Residual organic) ออกซิโอดีซ์หรือตัวเริคิวช์สารตัวเร่งนั้น เพื่อนำไปใช้ตามจุดประสงค์ที่ต้องการ โดยทำที่อุณหภูมิสูงกว่าที่จะเกิดการหลอมรวมกัน ได้ เพราะต้องการตัวเร่งที่เสถียรที่ใช้ในปฏิกิริยานั้นๆ ได้ กระบวนการแคลไชน์ทำให้สารเกิดเป็นผลึกในโครงสร้างที่ค่าแตกต่างกันเมื่อทำที่อุณหภูมิต่างกัน ดังนั้นพารามิเตอร์ที่สำคัญ คือ อุณหภูมิ อัตราการให้ความร้อน (Heating rate) เวลาและสิ่งแวดล้อมของแก๊ส (Gaseous environment)

2.2.2 วิธีอื่นๆ

2.2.2.1 วิธีการฝังตัว (Impregnation method)

เป็นวิธีที่ง่ายและใช้กันมากที่สุดในการเตรียมตัวเร่งปฏิกิริยา ทำได้โดยการเติมตัวรองรับ (Support) เช่น อะลูมินาลงในสารละลายของเกลือโซเดียม เช่น เกลือในเตรต เกลือโซเดียม แพร์อะราบิกส์ตัวรองรับ จากนั้นทำให้เกลือโซเดียมเพื่อให้เกลือโซเดียมที่อยู่บนตัวรองรับสลายตัวให้โซเดียมออกไซด์เกาะบนตัวรองรับ

การเตรียมตัวเร่งปฏิกิริยาโดยวิธีการฝังตัวสามารถแบ่งออกได้ 2 วิธี คือ

1. การฝังตัวแบบเปียก (Wet impregnation)

วิธีนี้เป็นการเติมตัวรองรับลงในสารละลายของเกลือโซเดียม ที่มีปริมาณมากเกิน พอก ดังนั้นปริมาณของเกลือโซเดียมที่เกาะบนตัวรองรับ จะรักษาเมื่อรู้ปริมาณของเกลือโซเดียมก่อนและหลังเตรียม ผลต่างของปริมาณเกลือโซเดียมก่อนและหลังการเตรียมจะเป็นปริมาณของเกลือโซเดียมที่เกาะบนตัวรองรับ ซึ่งไม่สะควรนักถ้าทำในห้องปฏิบัติการ

2. การฝังตัวแบบแห้ง (Dry impregnation or Impregnation to incipient wetness)

เป็นวิธีการที่ใช้กันทั่วไปในทางอุตสาหกรรม ตัวรองรับจะถูกทำให้กระจายตัว และพ่นด้วยสารละลายที่มีความเข้มข้นที่เหมาะสม โดยปริมาตรของสารละลายที่ใช้ต้องมีปริมาณเท่ากับปริมาตรของรูพ魯นทั้งหมดของตัวรองรับหรือน้อยกว่าเล็กน้อย ซึ่งเป็นการควบคุมปริมาณขององค์ประกอบที่ว่องไวที่เกาะบนตัวรองรับได้อย่างถูกต้อง แต่ปริมาณสูงสุดของการเกาะแต่ละครั้งถูกจำกัดด้วยความสามารถในการละลายของสาร หลังจากนั้นตัวเร่งปฏิกิริยาที่ได้จะถูกทำให้แห้งและนำไปเผาที่อุณหภูมิสูง

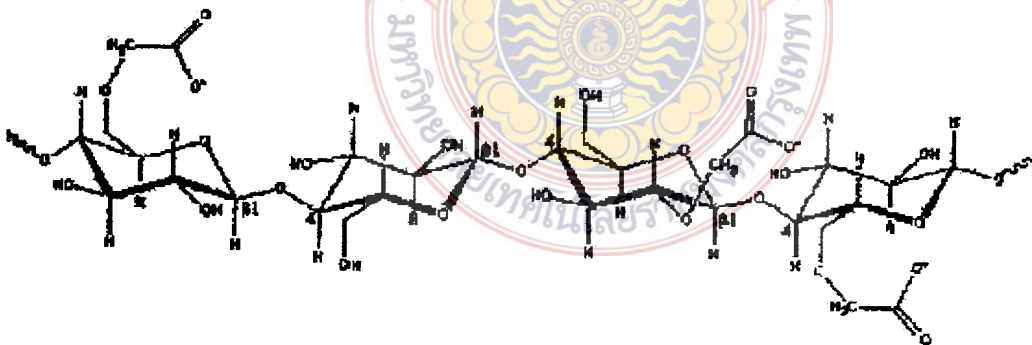
2.2.2.2 วิธีการตกตะกอนร่วม (Coprecipitation method)

การเตรียมตัวเร่งปฏิกิริยาและตัวรองรับ (Support) โดยวิธีตกตะกอนหรือตกตะกอนร่วม เป็นเทคนิคที่สำคัญมาก อย่างไรก็ตามการตกตะกอนเป็นวิธีการเตรียมที่ใช้มากกว่าวิธี

อีนๆ เนื่องจากผลิตภัณฑ์สามารถแยกออกจากได้หลังจากการตกตะกอน และปริมาณจำนวนมากของสารละลายนี้มีเกลือเป็นส่วนประกอบสามารถเกิดได้หลังจากการตกตะกอน การตกตะกอนเป็นวิธีการประยุกต์ที่ใช้มากที่สุดในการเตรียมตัวเร่ง โดยเฉพาะอย่างยิ่งสารพูง ประโยชน์หลักของการตกตะกอนสำหรับการเตรียมของวัตถุดินน้ำเป็นไปได้ว่าจะทำให้เกิดวัตถุดินที่บริสุทธิ์ และสามารถเปลี่ยนแปลงยึดหยุ่นในกระบวนการการเกิด เพื่อให้ได้เป็นผลิตภัณฑ์ที่มีคุณภาพ ตัวเร่งปฏิกิริยาอื่นโดยพื้นฐานจะเป็นตัวประกอบมากกว่า 1 ชนิด โดยสามารถเตรียมได้จากการตกตะกอนร่วมตามความหมายของ IUPAC การตกตะกอนร่วม หมายถึง การตกตะกอนพร้อมๆ กันขององค์ประกอบที่สามารถละลายได้อย่างปกติ เป็นอนุภาคขนาดใหญ่จากสารละลายนี้โดยเกิดเป็นผลึก อาจจะด้วยการดูดซับ (Adsorption) หรือการดักจับด้วยกลไก (Mechanical entrapment) กล่าวโดยสรุป การตกตะกอนร่วม คือ การตกตะกอนพร้อมๆ กันขององค์ประกอบมากกว่า 1 ชนิด การตกตะกอนร่วมเป็นวิธีที่เหมาะสมที่จะทำให้เกิดการกระจายตัวเป็นเนื้อเดียวกันขององค์ประกอบที่เป็นตัวเร่งปฏิกิริยา หรือการสร้างสารเริ่มต้นที่ต้องการสร้างปริมาณสารสัมพันธ์ที่แน่นอน ซึ่งง่ายต่อการเปลี่ยนไปเป็นตัวเร่งที่มีความวงศ์ไว (Active catalyst) มีการกระจายตัวขององค์ประกอบที่เป็นตัวเร่งที่ดี ซึ่งถ้าใช้วิธีอื่นจะทำได้ยาก

2.3 คุณสมบัติของ CMC (Carboxyl methyl cellulose) [21]

สูตรโครงสร้าง



รูปที่ 2.7 สูตรโครงสร้างของ CMC (Carboxyl methyl cellulose) [21]

ความหนืด

ความหนืดเป็นสิ่งสำคัญในการเตรียมสารละลายนี้สามารถเตรียมได้ที่ความหนืดต่างๆ เช่น สารละลายนี้สามารถปรับเปลี่ยนความหนืดและเปลี่ยนค่าแรงเห็นได้ดังนี้ จึงสามารถเตรียมสารละลายนี้ CMC จะประกอบไปด้วยชนิดและจำนวนของตัวบบวนที่ละลายใน CMC และในการเตรียมจะต้องมีการควบคุมอุณหภูมิสภาพที่มีแรงเห็นที่เหมาะสม

ความเข้มข้น

ความหนืดของสารละลายน้ำ CMC ที่มีน้ำเป็นองค์ประกอบจะเพิ่มขึ้นอย่างรวดเร็วเมื่อความเข้มข้นเพิ่มขึ้น

แรงเห็น

สารละลายน้ำ CMC ที่ใช้จะมีลักษณะขึ้น แ xenoloy ในน้ำ เป็นเจล มีความเสถียรหรือมีการเปลี่ยนแปลงของลักษณะสารละลายน้ำที่มีน้ำเป็นองค์ประกอบ หรือให้เกิดการแ xenoloy ในน้ำ ซึ่งจะต้องเตรียมให้สารมีแรงเห็นที่เหมาะสม

อุณหภูมิ

ความหนืดของสารละลายน้ำ CMC ขึ้นอยู่กับอุณหภูมิ ดังนั้นการกำหนดอุณหภูมิจึงทำให้มีความสำคัญต่อระดับความหนืดของสารละลายน้ำ CMC อย่างไรก็ตามระยะเวลาที่ให้ความร้อนและระดับความร้อนที่ให้ถ้าสูงเกินไปอาจจะไม่ดีต่อการเตรียมสารละลายน้ำ CMC และทำให้ความหนืดลดลงไปได้ด้วย

ค่า pH

สารละลายน้ำ CMC โดยทั่วไปแล้วจะมีความหนืดที่เหมาะสมในช่วง pH ที่เหมาะสม สารละลายน้ำ CMC ที่มีความหนืดมากๆ และมีความเสถียรที่ดีจะอยู่ในช่วง pH 7-9 ที่ pH สูงกว่า 10 ความหนืดของสารละลายน้ำ CMC จะลดลงเล็กน้อย ถ้า pH ต่ำกว่า 4 จะละลายในกรดได้น้อยมากและจะมีความหนืดที่สูงมาก

2.4 กระบวนการไมโครอิมลชัน (Microemulsion) [8]

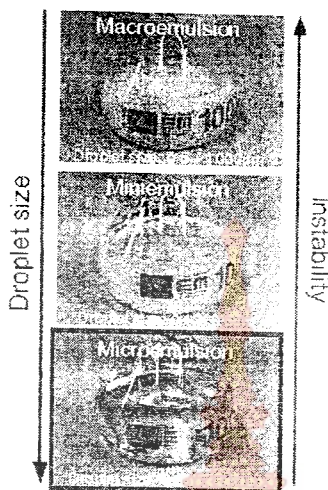
2.4.1 อิมลชัน (Emulsion)

อิมลชัน หมายถึง ผลิตภัณฑ์รูปหนึ่งซึ่งประกอบไปด้วยของเหลวที่ไม่สามารถละลายเข้ากันได้อย่างน้อย 2 ชนิดขึ้นไปรวมกัน และสามารถทำให้ของเหลวทั้ง 2 ชนิดนี้อยู่ร่วมกันโดยไม่แยกชั้นกัน ซึ่งต้องใช้สารที่เรียกว่า Emulsifier เข้าช่วยทำให้อิมลชันที่เห็นมีลักษณะเป็นเนื้อเดียวกัน แต่ถ้าส่องดูด้วยกล้องจุลทรรศน์จะเห็นเป็น 2 วัตถุภาค คือ วัตถุภาคภายใน กับ วัตถุภาคภายนอก

ชนิดของอิมลชัน อาจแบ่งได้ตามขนาดของวัตถุภาคภายในได้เป็น 3 ชนิด คือ

1. แมกไครอิมลชัน (Macroemulsion) คือ อิมลชันที่มีขนาดของวัตถุภาคภายในประมาณ 0.5-1000 ไมโครเมตร มีลักษณะภายนอกชุ่นอย่างเห็นได้ชัด
2. มินิอิมลชัน (Mimiemulsion) คือ อิมลชันที่มีขนาดของวัตถุภาคภายในประมาณ 0.1-0.5 ไมโครเมตร มีลักษณะกึ่งกลากระหว่างความใสและความขุ่น

3. ไมโครอิมลชัน (Microemulsion) คือ อิมลชันที่มีขนาดของวัตถุภาคภัยในประมาณ 0.005-0.1 ไมโครเมตร มีลักษณะ似ๆ จันสามารถมองทะลุผ่านได้



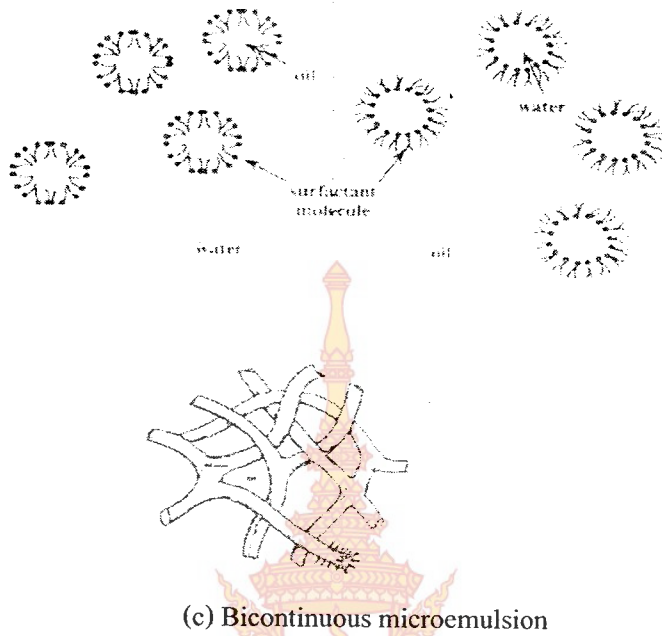
รูปที่ 2.8 ลักษณะและขนาดวัตถุภาคภัยในของ ไมโครอิมลชัน [8]

2.4.2 ไมโครอิมลชัน (Microemulsion)

เป็นระบบที่มีความคงตัวเชิงอุณหพลศาสตร์ ซึ่งประกอบด้วยของเหลวสองชนิดที่ไม่ผสมกัน คือน้ำ และตัวทำละลายอินทรีย์ โดยมีสารลดแรงตึงผิว (Surfactant) เป็นตัวช่วยให้เกิดการผสมกันได้ โดยที่น้ำหรือตัวทำละลายอินทรีย์นั้นจะเกิดการกระจายตัวเป็นหยดเล็กๆ ขนาดนาโนเมตร และคงตัวโดยมอมเห็นเป็นเนื้อเดียวกันได้ เมื่อใช้สารลดแรงตึงผิวในปริมาณที่เหมาะสมเข้าช่วยชี้งการกระจายตัวที่เกิดขึ้นนี้ สามารถแบ่งออกได้เป็น 3 แบบคือ

1. Oil - in - water microemulsion หรือ เรียกอีกอย่างหนึ่งว่า micells
2. Water - in – oil microemulsion หรือ เรียกอีกอย่างหนึ่งว่า reversed micells
3. Bicontinuous microemulsion

(a) Oil - in - water microemulsion (b) Water - in – oil microemulsion



รูปที่ 2.9 ไมโครอิมัลชันในรูปแบบต่างๆ [8]

ระบบอิมัลชันทั้ง 3 แบบที่กล่าวมานี้จะมีของเหลวอยู่ 2 เฟส ที่กระจายตัวอยู่ด้วยกัน โดยไม่ละลายเข้าหากัน ซึ่งในความหมายของชื่อ Water - in - oil microemulsion (w/o) หรือ Oil - in - water microemulsion (o/w) นั้นจะทำให้ทราบว่า เฟสแรกจะเป็นเฟสที่กระจายตัว (Dispersed phase) เข้าไป เป็นหยดเล็กๆ ที่ถูกล้อมรอบด้วยเฟสที่สองซึ่งจะเป็นเฟสที่สองซึ่งจะเป็นเฟสที่ต่อเนื่องไม่ขาดตอน (Continuous phase)

2.4.3 ความไม่เสถียรในระบบไมโครอิมัลชัน

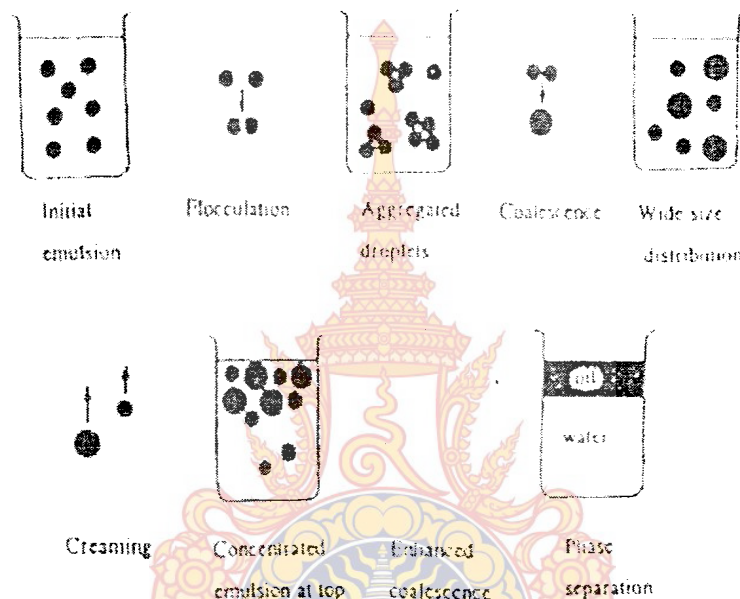
ในระบบอิมัลชันนี้น้ำอาจเกิดความไม่เสถียรขึ้นได้ ซึ่งความไม่เสถียรที่เกิดขึ้นนี้ สามารถแบ่งออกได้เป็น 4 แบบคือ

1. Flocculation เป็นความไม่คงตัวชนิดไม่ถาวร เกิดจากวัฎจักรภายในที่กระจายตัวอยู่มีแรงผลักกันน้อย ทำให้เกิดการเคลื่อนที่เข้ามาอยู่ชิดกันแต่ไม่รวมตัวกัน

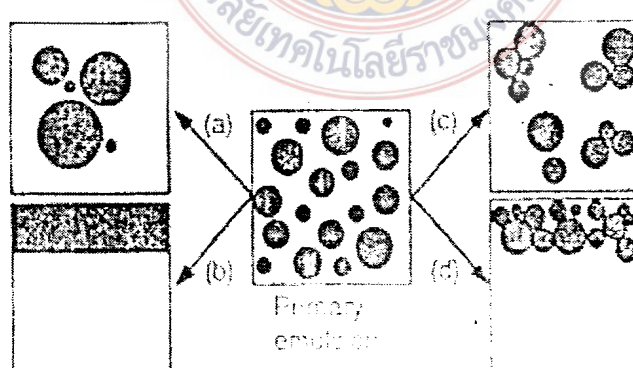
2. Coalescence เป็นความไม่คงตัวชนิดถาวร โดยจะเกิดการรวมตัวของวัฎจักรภายใน 2 หยดหรือมากกว่าเป็นหยดเดียว ซึ่งส่งผลให้ปริมาตรเพิ่มขึ้นแต่พื้นที่ผิวรวมลดลง

3. Creaming เมื่อวัฏภาพภายในที่แยกตัวไปอยู่ชิดกันเป็นจำนวนมากแล้ว จะส่งผลให้เกิดความแตกต่างของความหนาแน่นระหว่างเฟสกระเจยตัวและเฟสต่ำเนื่องขึ้นมากพอที่จะทำให้เกิดการลอกตัวขึ้น (การเกิดเป็นครีม) หรือจมลง (การตกตะกอน)

4. Breaking หรือ Enhance coalescence (การแตกตัว) เกิดจากการรวมตัวอย่างต่อเนื่องของอนุภาคเล็กๆ ให้กล้ายเป็นอนุภาคที่มีขนาดใหญ่อย่างรวดเร็ว จนทำให้สามารถเห็นการแยกตัวออกเป็น 2 เฟสคือยาแปลง



รูปที่ 2.10 ลักษณะการรวมตัวของอนุภาคในรูปแบบต่างๆ [8]



รูปที่ 2.11 ความไม่เสถียรของระบบอิมัลชัน (a) Coalescence; (b) Breaking; (c) Flocculation; (d) Creaming [8]

2.4.4 สารลดแรงตึงผิว (Surfactant) [14]

สารลดแรงตึงผิวนี้มีความสามารถในการดูดซับที่ผิวน้ำและช่วยลดแรงตึงผิว ซึ่งไม่แตกต่างกันมาก แต่จะแบ่งเป็น 2 ส่วนคือ

- ส่วนที่เป็น nonpolar hydrophobic tail จะมีลักษณะเป็นไฮโดรคาร์บอนสายตรง หรือมีกิ่งซี่ไม่มีข้าว

- ส่วนที่เป็น polar hydrophilic group ส่วนนี้เป็นส่วนที่มีข้าวซึ่งอาจเป็นได้ทั้งข้าวบวกและข้าวลบ



รูปที่ 2.12 ลักษณะโมเลกุลของสารลดแรงตึงผิว [8]

สามารถแบ่งประเภทของสารลดแรงตึงผิวออกตามลักษณะโครงสร้างของส่วนที่ชอบน้ำ (hydrophilic group) ได้เป็น 4 แบบคือ

1. Anionic surfactant คือ สารลดแรงตึงผิวที่มีส่วนที่ชอบน้ำเป็นประจุลบ เช่น

- Carboxylic acids
- Sulfuric ester (sulfate)
- Alkane sulfonic acids
- Alkyl aromatic sulfonic acids
- Miscellaneous anion hydrophilic groups

2. Cationic surfactant คือ สารลดแรงตึงผิวที่มีส่วนที่ชอบน้ำเป็นประจุบวก เช่น

- Quaternary Ammonium Salt
- Imidazolinium Salt
- Ethoxylated Fatty Amines

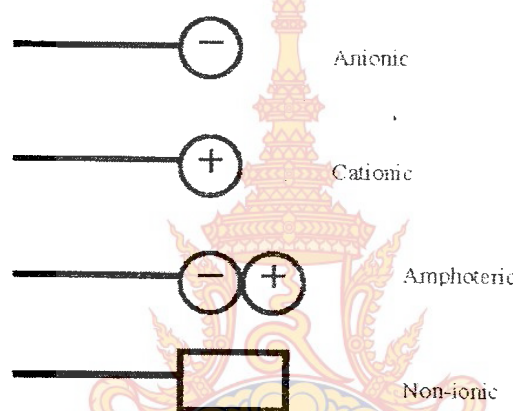
3. Nonionic surfactant คือ สารลดแรงตึงผิวที่มีส่วนที่ชอบน้ำไม่มีประจุ เช่น

- Ether linkage to solubilizing group
- Ester linkage
- Amide linkage
- Multiple linkage

- Miscellaneous linkage

4. Amphoteric surfactant คือ สารลดแรงตึงผิวที่มีส่วนที่ชอบนำเป็นได้ทั้งประจุบวกและประจุลบ เช่น

- Amino and carboxyl
- Amino and sulfuric ester
- Amino and alkane sulfonic acid
- Amino and aromatic sulfonic acid
- Miscellaneous combination of basic and acid group



รูปที่ 2.13 ลักษณะโมเลกุลของสารลดแรงตึงผิวนิดต่างๆ [8]

ธรรมชาติของสารลดแรงตึงผิวนี้จะเป็นตัวแปรที่สำคัญตัวหนึ่งในการที่จะควบคุมชนิด และรูปแบบของการเกิดอิมัลชัน ได้ โมเลกุลของสารลดแรงตึงผิวที่ดีนี้ควรจะมีสมบัติในการปรับตัวให้เข้ากับพื้นผิวของน้ำและตัวทำละลายอินทรีย์ได้ดี และเนื่องจากความซับซ้อนของโมเลกุลของสารลดแรงตึงผิวจึงเป็นการยากที่จะกำหนดชนิดของสารลดแรงตึงผิวให้เหมาะสมกับระบบ ซึ่งขึ้นอยู่กับชนิดของตัวทำละลายอินทรีย์ สารที่เดิมลงในสารละลาย specific surfactant interaction ดังนั้นการเลือกใช้สารลดแรงตึงผิวโดยการวิเคราะห์ความสัมพันธ์ระหว่างโครงสร้างของสารลดแรงตึงผิวโดยการวิเคราะห์ความสัมพันธ์ระหว่างโครงสร้างของสารลดแรงตึงผิวกับสมบัติของระบบ ส่วนใหญ่จึงขึ้นกับประสิทธิภาพการทดลองมากกว่าตามทฤษฎี โดยทั่วไปการเลือกใช้สารลดแรงตึงผิวนี้สิ่งที่ควรพิจารณา คือ สารลดแรงตึงผิวนี้จะต้องมีพื้นที่มากพอที่จะทำปฏิกิริยา เพื่อให้เกิดการคัดซับที่ผิวน้ำของน้ำ – ตัวทำละลายอินทรีย์ย่อส่วนเพียงพอ ซึ่งทั้งนี้ทั้งนั้นจะต้องสอดคล้องกับสภาพะที่ใช้ คือธรรมชาติของเฟสตัวทำละลายอินทรีย์ อุณหภูมิ และความดัน นอกจากนี้สารลดแรงตึงผิวที่ใช้มีความแข็งแรงของฟิล์มที่ผิวน้ำว่า 2 เฟสเพื่อที่จะทำให้ระบบอิมัลชันมีความคงตัวสูง และส่วน

ที่สำคัญอีกส่วนในการพิจารณาเลือกชนิดของสารลดแรงตึงผิวคือ ชนิดของอิมัลชันที่ต้องการ และธรรมชาติของเฟสตัวทำละลายอินทรีย์กล่าวคือ ในระบบ w/o microemulsion ควรเลือกใช้สารลดแรงตึงผิวที่มีความสามารถในการละลายในตัวทำละลายอินทรีย์สูง ส่วนระบบ o/w microemulsion ควรใช้สารลดแรงตึงผิวที่มีความเป็นขี้รุ้ง เนื่องจากจะมีความสามารถในการละลายในน้ำได้ดี

2.5 กระบวนการโฟโตออกซิเดชันโดยใช้ตัวเร่งปฏิกิริยา หรือโฟโตแคตะไอลิติกออกซิเดชัน (Photocatalytic oxidation) [11]

กระบวนการโฟโตแคตะไอลิติกออกซิเดชัน เป็นกระบวนการที่ใช้ตัวเร่งปฏิกิริยา (Catalyst) เร่งปฏิกิริยาโดยใช้แสง (Photoreaction) ซึ่งในกระบวนการเร่งปฏิกิริยานี้เป็นแบบวิธีพันธุ์ (Heterogeneous Catalysis) คือ การเร่งที่ผิวน้ำระหว่างสถานะที่ต่างกันของระบบที่มีมากกว่าหนึ่งสถานะ โดยทั่วไปโมเลกุลของสารตั้งต้นจะถูกดูดซับ (Adsorbed) ไว้บนผิวของตัวเร่งปฏิกิริยา แล้วปฏิกิริยาจะเกิดขึ้นที่ผิวของตัวเร่งปฏิกิริยา โมเลกุลที่ถูกดูดซับจะเกิดการเปลี่ยนแปลงในแบ่งของการขัดเรียงตัวของอิเล็กตรอนและบางพันธะของโมเลกุลจะเริ่มถลาย

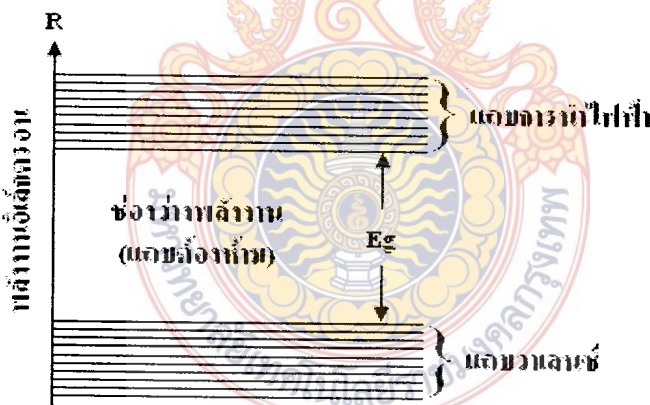
2.5.1 แคตะไอลิซิส (Catalysis) [9]

ปฏิกิริยาที่มีการใช้ตัวเร่งปฏิกิริยา (Catalyst) เข้ามาช่วยเพื่อให้ปฏิกิริยาเกิดได้เร็วขึ้น เรียกว่าปฏิกิริยาแคตะไอลิซิส (Catalytic reaction หรือ Catalysis) ปฏิกิริยาแคตะไอลิซิสสามารถแบ่งออกได้เป็น ปฏิกิริยาแบบเอกพันธุ์ (Homogeneous reaction) กับปฏิกิริยาแบบวิธีพันธุ์ (Heterogeneous reaction) ในปฏิกิริยาแคตะไอลิซิสแบบเอกพันธุ์ ตัวเร่งปฏิกิริยาและสารตั้งต้นอยู่ในสถานะเดียวกัน เช่น ของเหลวหรือแก๊ส ในปฏิกิริยาแคตะไอลิซิสแบบวิธีพันธุ์ สารตั้งต้นและตัวเร่งปฏิกิริยามีสถานะที่ต่างกัน โดยทั่วไปตัวเร่งปฏิกิริยาเป็นของแข็งและสารตั้งต้นเป็นของเหลวหรือแก๊ส ในกระบวนการอุดสาหกรรมส่วนใหญ่จะเกี่ยวข้องกับระบบวิธีพันธุ์ ปฏิกิริยาแคตะไอลิซิสแบบวิธีพันธุ์ทุกปฏิกิริยา จะเริ่มต้นด้วย การดูดซับ (Adsorption) แก๊สที่ทำปฏิกิริยา (Reacting gases) บนพื้นผิวของตัวเร่งปฏิกิริยาซึ่งจะทำให้พันธะภายในโมเลกุล (Intramolecular bond) อ่อนแอลง ถ้ามาสเปชีส (Species) ที่ถูกดูดซับจะทำปฏิกิริยานพื้นผิวซึ่งมีหลายขั้นตอนและสุดท้ายผลิตภัณฑ์จะเกิดการถลายซับ (Desorb) ออกจากพื้นผิวในสถานะแก๊ส [17]

มีตัวแปรหลายตัวที่ส่งผลต่อปฏิกิริยา เช่น การเป็นพิษ (Poisoning) การอุดตัน (Fouling) การรวมตัวเนื่องจากความร้อน (Sintering or Migration) การสูญเสียสเปชีสที่ว่องไว (Loss of active species) และอื่นๆ เครื่องมือต่างๆ ที่ใช้สำหรับตรวจสอบสัมบัติในการเป็นตัวเร่งปฏิกิริยา เช่น スペktroskoپy (Spectroscopy) ไมโครสโคپy (Microscopy) ดิฟเฟรกชัน (Diffraction) เป็นต้น

อนุภาคตัวเร่งปฏิกิริยาประกอบด้วยหนึ่งหรือหลายองค์ประกอบของตัวเร่งปฏิกิริยาที่ว่องไวอยู่บนตัวรองรับ (Support) ที่มีพื้นที่ผิวมาก ตัวรองรับเป็นส่วนที่ตัวเร่งปฏิกิริยาจ钉ๆ มาเกาะอยู่ พื้นที่ผิวข้างนอกของตัวรองรับจะมีเพียงเล็กน้อยเท่านั้น ส่วนใหญ่จะอยู่ภายในรูพรุนและตัวเร่งปฏิกิริยาจะอยู่ในรูพรุนเหล่านั้น ตัวรองรับสามารถมีพื้นที่ผิวในรูพรุนได้ตั้งแต่ $1 - 1000 \text{ m}^2/\text{g}$ ตัวเร่งปฏิกิริยาเป็นส่วนที่มีหน้าที่ในการเร่งปฏิกิริยาทำให้ปฏิกิริยาเกิดได้เร็วขึ้น โดยตัวเร่งปฏิกิริยาจะไปกระจายตัวอยู่บนตัวรองรับทำให้มีพื้นที่ผิวมากขึ้น จุดประสงค์หลักของการใช้ตัวรองรับก็เพื่อที่จะให้ได้มาซึ่งการกระจายตัวที่เหมาะสมขององค์ประกอบของตัวเร่งปฏิกิริยาที่ว่องไวและความเสถียร เมื่อเกิดการรวมตัวเนื่องจากความร้อน (Sintering) อย่างไรก็ตามกระบวนการโดยรวมจะเกิดที่องค์ประกอบที่ว่องไวกับที่ตัวรองรับ [17]

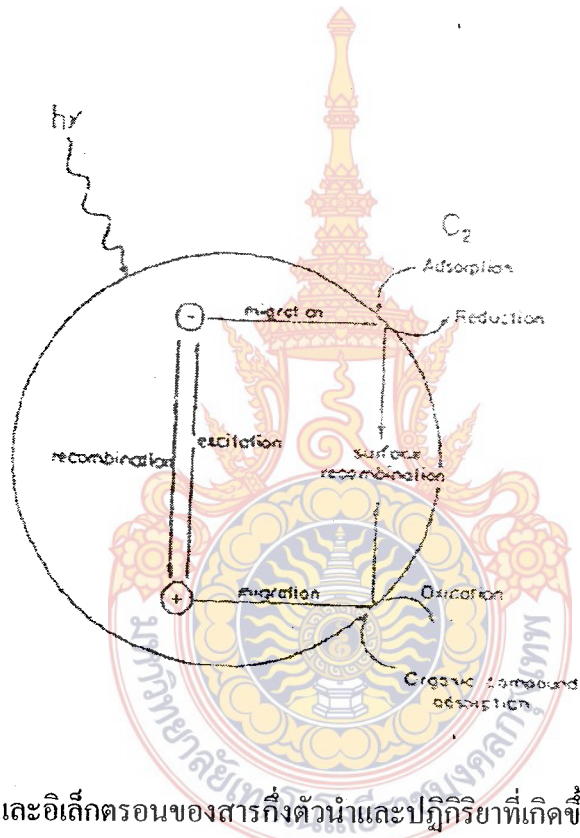
ตัวเร่งปฏิกิริยาในกระบวนการไฟโตแอดตะไลดิกออกซิเดชันนี้ เป็นวัสดุสารกึ่งตัวนำทั้งนี้ เพื่อที่จะให้เข้าในการเกิดปฏิกิริยาจึงจำเป็นต้องศึกษา และทำความเข้าใจกับโครงสร้างของสารกึ่งตัวนำ สารกึ่งตัวนำจะมีแถบพลังงานที่น่าสนใจอยู่สองแบบ คือ แถบวาเลนซ์ (Valence band) และแถบการนำไฟฟ้า (Conduction band) แถบพลังงานทั้งสองนี้จะถูกแยกจากกัน โดยมีแถบช่องว่าง พลังงาน (Band gap) ซึ่งมีความกว้าง E_g กันอยู่ดังแสดงในรูปที่ 2.14



รูปที่ 2.14 โครงสร้างของแถบพลังงานของสารกึ่งตัวนำ [11]

กระบวนการไฟโตแอดตะไลดิกออกซิเดชัน ในเฟสน้ำ (Aqueous phase) คือ กระบวนการไฟโต-ออกซิเดชัน (Photo oxidation) ของอนุภาคสารกึ่งตัวนำที่ถูกอนุภาคของแสง (Photon) ซึ่งมีพลังงานเท่ากับหรือสูงกว่าช่องว่างพลังงาน E_g ตกกระทบผิวน้ำอนุภาคสารกึ่งตัวนำทำให้อิเล็กตรอนถูกกระตุ้น เปลี่ยนที่อยู่จากแถบวาเลนซ์ไปยังแถบการนำไฟฟ้า ทำให้เกิดสภาพว่างเปล่นอิเล็กตรอนที่แถบวาเลนซ์ เรียกว่า โอล (Hole) แทนด้วยสัญลักษณ์ h^+ ส่วนอิเล็กตรอนที่ถูกกระตุ้นไปอยู่ในแถบ

การนำไฟฟ้าแทนด้วยสัญลักษณ์ e_{cb}^- ซึ่ง h_{vb}^+ และ e_{cb}^- สามารถที่จะกลับมาอยู่ในสถานะเดิมได้อีก เรียกว่า รีคอม ไบเนชัน (Recombination) ซึ่งเป็นปัจจัยที่สำคัญของการบวนการ โฟโตอ็อกซิเดชัน และที่ผิวหน้าระหว่างของแข็งและของเหลว (Solid-Liquid interface) อิเล็กตรอนสามารถที่จะ เคลื่อนย้ายจากกระบวนการนำไฟฟ้าไปสู่ตัวรับอิเล็กตรอน (Acceptor) ในสารละลาย เรียก รีดักชัน (Reduction) หรืออิเล็กตรอนจากผู้ให้ (Donor) ในสารละลายไปสู่โอลินแคนบวนาเลนซ์ เรียก อ็อกซิเดชัน (Oxidation) (รูปที่ 2.15) ซึ่งโอลินที่เกิดขึ้นในแคนบวนาเลนซ์เป็นตัวองรับอิเล็กตรอนที่ดี (Strong - oxidation)



รูปที่ 2.15 การเกิดโอลินและอิเล็กตรอนของสารกึ่งตัวนำและปฏิกิริยาที่เกิดขึ้นที่ผิวของสารกึ่งตัวนำ [11]

ตัวเร่งปฏิกิริยาที่นิยมใช้กันคือ ไททาเนียมไดออกไซด์ (TiO_2) เนื่องจาก

- 1) มีเสถียรภาพต่อสารเคมี ไม่ละลาย สามารถนำกลับมาใช้ใหม่ได้ในปริมาณสูง
- 2) มีประสิทธิภาพ ราคาสูงและไม่มีอันตราย
- 3) มีช่องว่างพลังงาน E_g ไม่สูง ($E_g > 3.2 \text{ eV}$) และคุณสมบัติที่ความยาวคลื่นต่ำ

ประมาณ 390 nm.

2.5.2 กระบวนการนำบัดโดยใช้แสงอัลตราไวโอลेट ร่วมกับไททาเนียมไดออกไซด์

เนื่องจากไททาเนียมเป็นสารที่ตัวนำชนิดหนึ่ง ดังนั้นเมื่อได้รับพลังงานการกระตุ้นจากแสงยูวี ทำให้อิเล็กตรอนจากแอนาลอนเคลื่อนที่ไปยังแอนอกอนดักชัน เกิดเป็น e_{cb}^- และ h_{hh}^+ ดังสมการ



ในสภาวะที่ไม่มีตัวให้หรือรับอิเล็กตรอน (Electron donor หรือ Electron acceptor) e_{cb}^- และ h_{hh}^+ ที่เกิดขึ้นจะกลับมารวมตัวกันอีกภายในระยะเวลาอันรวดเร็ว ประมาณ 1×10^{-9} วินาที (Nanoseconds) และจะได้รับความร้อนออกมา ดังสมการ



h_{hh}^+ อาจทำปฏิกิริยาโดยตรงกับโมเลกุลของสารที่ติดกับผิวของอนุภาค TiO_2 หรือทำปฏิกิริยากับ OH^- และ H_2O ที่ติดกับผิวของอนุภาค TiO_2 OH^- และ H_2O เกิดเป็น OH^\bullet ดังสมการ



e_{cb}^- ในบางกรณีอาจทำปฏิกิริยาโดยตรงกับสารประกอบที่จะนำบัด หรือโดยส่วนใหญ่แล้วจะทำปฏิกิริยากับ O_2 เป็น O_2^{*-} , O_2^{**-} ดังสมการ



ซึ่ง O_2^{**-} จะทำปฏิกิริยาต่อไปจนได้เป็น H_2O_2 ดังสมการ



ซึ่ง H_2O_2 ที่เกิดขึ้นจากการฉายแสงยูวีไปยัง TiO_2 ก็สามารถทำให้เกิด OH^\bullet ได้ดังสมการ (2.14) (เช่นเดียวกับกระบวนการ UV/ H_2O_2)





หรือสามารถทำปฏิกิริยากับแสงญี่วีโดยตรง เกิดเป็น OH^\bullet ได้ดังสมการที่ (2.14)
(เช่นเดียวกับกระบวนการ UV/ H_2O_2)



OH^\bullet ที่เกิดขึ้นจะไปทำปฏิกิริยากับสารที่ต้องการนำบัดต่อไป

นอกจากนี้ Matthew ได้ให้ความเห็นว่า สมการที่ (2.10) และ (2.11) เป็นปฏิกิริยาหลักในการเกิด OH^\bullet บนผิวไททาเนียมไม่มีตัวรับอิเล็กตรอนที่จะมาทำปฏิกิริยากับ e^-_{aq} ที่ผิวไททาเนียม e^-_{aq} และ h^+_{aq} จะกลับมาร่วมตัวกันภายใต้ระยะเวลาอันรวดเร็วดังที่กล่าวมาแล้วในสมการที่ (2.9) ดังนั้น การเพิ่มปริมาณ O_2 ในสารละลายน้ำทำให้ e^-_{aq} ถูกดึงไปทำปฏิกิริยาตามสมการที่ (2.12) และ (2.13) จึงไม่เกิดการกลับมาร่วมตัวกันใหม่ เป็นเหตุให้อัตราการเกิดปฏิกิริยาสูงขึ้น

OH^\bullet จะเป็นตัวออกซิไซด์ และสลายพันธะโนเลกูลของสี (Chromophore) ทำให้สีจากเดิมที่เคยสามารถมองเห็นได้ด้วยตาเปล่าเปลี่ยนเป็นไม่มีสี

2.5.3 ปัจจัยที่มีอิทธิพลต่อกระบวนการฟอโตแคตตาไลติกออกซิเดชัน

ปัจจัยที่มีอิทธิพลต่อกระบวนการฟอโตแคตตาไลติกออกซิเดชัน ได้แก่ ค่าความเป็นกรด-เบส ปริมาณความเข้มข้นของอนุภาคไททาเนียม dioxide (TiO₂, Dosage) ความเข้มข้นของสารปนเปื้อนเบื้องต้น (Initial substrate concentration) อุณหภูมิ ปริมาณออกซิเจนในสารละลายน้ำ (Dissolved oxygen) ความเข้มของแสง (Light intensity) และปริมาณอิオンบวก-ลบในสารละลายน้ำ (Dissolved anions – cations)

2.5.3.1 ค่าความเป็นกรด – เบส (pH) ประสีทิชภาพในการฟอโตออกซิเดชันขึ้นอยู่กับค่าความเป็นกรด – เบส ในสารละลายน้ำซึ่งเป็นปัจจัยที่สำคัญต่ออัตราการเกิดปฏิกิริยา เนื่องจากค่าความเป็นกรด – เบส มีผลต่อความสามารถในการดูดซึมของสารประกอบอินทรีย์และอนินทรีย์ที่ผิวของตัวเร่งปฏิกิริยาในสารละลายน้ำ เพราะประจุไฟฟ้าที่ผิวของตัวเร่งปฏิกิริยาเปลี่ยนไปเมื่อค่าความเป็นกรด – เบส สูงหรือต่ำ โดยประจุที่ผิวของตัวเร่งปฏิกิริยาประจุบวกที่ค่าความเป็นกรด – เบส ต่ำและจะเป็นลบที่ค่าความเป็นกรด – เบสสูง สำหรับไททาเนียม dioxide ค่าความเป็นกรด – เบส ที่ทำให้ประจุเป็นกลาง จากการศึกษาของ Tang และคณะได้สรุปว่าไฮด์ (h^+_{aq}) จะมีอิทธิพลต่อกระบวนการฟอโตแคตตาไลติก (Photocatalysis) เมื่อค่าความเป็นกรด – เบสน้อยกว่า 3 ในขณะที่ไฮดรอกซิลเรดิกัด (OH^\bullet) มีความสำคัญในการทำปฏิกิริยาที่ค่าความเป็นกรด – เบสมากกว่า 3 นอกจากนี้ค่าความเป็นกรด – เบสที่เปลี่ยนแปลงไปแล้วยังทำให้ค่าซ่องว่างพลังงาน E_g ของสารกึ่งตัวนำประเภทแม่เหล็ก-ออกไซด์ (Metal oxide) เปลี่ยนแปลงได้ (0.059 mV/pH unit)

สีข้อมผ้าต่างชนิดกันมีความสามารถในการที่จะถ่ายตัวได้ในสภาพค่าความเป็นกรด – เบส ซึ่งการถ่ายตัวนี้มีผลมาจากการความสามารถในการดูดเกาะของสีข้อมผ้าที่ผิวของตัวเร่งปฏิกิริยาต่างกัน

2.5.3.2 ความเข้มข้นของอนุภาคไทยาเนียม ไอออกไซด์ อนุภาคไทยานียม ไอ-ออกไซด์ ในสารละลายทำหน้าที่ให้ไฮดรอกซิลเรดิคัล (OH^-) ทำปฏิกิริยาและเร่งปฏิกิริยาการกำจัดสี และไทยานียม ไม่เพียงเป็นตัวเร่งปฏิกิริยา แต่ทำหน้าที่เป็นตัวกลางให้สารอินทรีย์ในสารละลายยึดเกาะ การยึดเกาะของสารอินทรีย์และสารอนินทรีย์ขึ้นอยู่กับปริมาณและขนาดอนุภาคไทยานียม ไอ-ออกไซด์ ดังนั้นพื้นที่ผิวจึงเป็นหนึ่งในปัจจัยควบคุมการเกิดปฏิกิริยา

ปริมาณไทยานียม ไอออกไซด์ที่มากเกินไปในสารละลาย จะทำให้ปฏิกิริยาไฟโต-ออกซิเดชันลดลงเนื่องจากอนุภาคของไทยานียม ไอออกไซด์ที่มากเกินไป จะไปขัดขวางแสงยูวีที่ส่องลงไปในสารละลาย ทำให้ปริมาณไทยานียม ไอออกไซด์ที่ถูกกระตุ้นด้วยอนุภาคของแสงยูวีที่ส่องลงไปในสารละลาย ทำให้ปริมาณไทยานียม ไอออกไซด์ที่ถูกกระตุ้นด้วยอนุภาคของแสง (Photon : hv) และปริมาณไฮดรอกซิลเรดิคัลลดลง ปริมาณไทยานียม ไอออกไซด์ที่ใช้ในการศึกษาเรื่องไฟโตออกซิเดชันส่วนใหญ่จะมีปริมาณความเข้มข้น 1 – 5 g/L

2.5.3.3 ความเข้มข้นของสารปนเปื้อนตั้งต้น ข้อมูลวิจัยจำนวนมากได้แสดงให้เห็นว่า ความเข้มข้นของสีข้อมผ้าตั้งต้นที่ต่ำจะทำให้ประสิทธิภาพในการกำจัดสูง Davis และคณะ ได้ชี้ให้เห็นว่าแสงยูวีจะถูกดูดซับทั้งจากอนุภาคไทยานียม ไอออกไซด์ที่ถูกกระจาบอยู่ในสารละลายและสีข้อมผ้าในสารละลาย ซึ่งเป็นผลในการลดการส่องผ่านของแสงยูวี แต่ทั้งนี้ขึ้นอยู่กับโครงสร้าง โมเลกุลของสารตั้งต้นด้วยเหมือนกัน ถ้าหากโครงสร้างโมเลกุลมีความซับซ้อนต่ำ เช่น คลอโรฟอร์ม (Chloroform) ความเข้มข้นของสารตั้งต้นจะไม่มีผลต่อประสิทธิภาพในการกำจัด แต่หากโครงสร้างมากขึ้น ความเข้มข้นของสารตั้งต้นก็จะส่งผลต่อประสิทธิภาพในการกำจัดมากขึ้นด้วย แต่ในทางตรงกันข้ามจากการศึกษาของ Gupta ได้ทดสอบสารพิชีอี (Perchloroethylene, PCE) ผลที่ได้คือ ประสิทธิภาพในการกำจัดจะสูงขึ้นเมื่อความเข้มข้นของพิชีอีตั้งต้นสูงขึ้น

2.5.3.4 อุณหภูมิ เมื่ออุณหภูมิเพิ่มขึ้น อัตราการกำจัดสีในสารละลายเพิ่มขึ้น Bing – Nan และคณะ ได้ทำการทดลองพบว่าที่อุณหภูมิ 55°C ประสิทธิภาพในการกำจัดสีมีค่ามากกว่าเป็น 2 เท่าที่อุณหภูมิ 25°C และเมื่อดูจากทฤษฎีทางจนศาสตร์ (Kinetic theory) อุณหภูมนั้นเป็นปัจจัยที่สำคัญอย่างมากต่ออัตราการเกิดปฏิกิริยา ค่าคงที่อัตราการทำปฏิกิริยาจากสมการของอาเรนเนียส (Arrhenius) เจียนได้ดังนี้

$$k = Ae^{-E_a / RT} \quad (2.21)$$

เมื่อ k = ค่าคงที่อัตราการเกิดปฏิกิริยา, $(\text{min})^{-1}$ (Reaction Rate Constant, min^{-1})

A = แฟคเตอร์แห่งความถี่, $(\text{min})^{-1}$ (Frequency Factor or Pre – Exponential, min^{-1})

R = ค่าคงที่ $= 8.3143 \text{ J mole}^{-1} \text{ K}^{-1}$ (Constant $= 8.3143 \text{ J mole}^{-1} \text{ K}^{-1}$)

T = อุณหภูมิสัมบูรณ์ (K) (Absolute Temperature, K)

ดังสมการหาค่าพลังงานกระตุ้น (E_a) ได้จากความชันของกราฟลอการีทึม (Logarithm) ที่เขียนกราฟระหว่างค่าคงที่อัตราการทำปฏิกิริยา (k) กับค่าอุณหภูมิสัมบูรณ์ $1/T$

$$\ln k = -E_a / RT + \ln A \quad (2.22)$$

ปฏิกิริยาโฟโตแคติไลซิสเพิ่มขึ้นเมื่ออุณหภูมิเพิ่มขึ้น เนื่องมาจากการทำปฏิกิริยาของ e_{cb}^- และ h_{cb}^+ กับสารปนเปื้อนในสารละลายมีค่ามากกว่าอัตราการกลับมารวมตัวกันใหม่ของ e_{cb}^- และ h_{cb}^+ (Recombination) และอาจเนื่องมาจากการลดลงของการชนกันของโมเลกุลมากขึ้นเมื่ออุณหภูมิสูงขึ้นและอาจเนื่องมาจากการลดลงของการกระตุ้นในการการทำปฏิกิริยา

2.5.3.5 ปริมาณออกซิเจนละลาย อัตราการเกิดปฏิกิริยาเพิ่มขึ้นเมื่อความเข้มข้นของออกซิเจนละลายเพิ่มขึ้น ออกซิเจนเป็นส่วนประกอบที่สำคัญในปฏิกิริยาโฟโตแคติไลซิส เพราะออกซิเจนจะยึดเกาะบนผิวตัวร่างปฏิกิริยา ทำหน้าที่ยึดจับ e_{cb}^- ที่แยกการนำไฟฟ้า ทำให้เกิดชูปเปอร์ออกไซด์อิอ่อน และจะทำปฏิกิริยากับไฮโดรเจนอิอ่อน (H^+) ต่อไปได้เป็นไฮโดรเจนเปอร์ออกไซด์ และด้วยเหตุนี้ออกซิเจนจึงทำหน้าที่เป็นตัวยึดเวลาการกลับมารวมตัวกันใหม่ (Recombination) ของ e_{cb}^- และ h_{cb}^+ นอกจากนั้นออกซิเจนยังทำให้เกิดไฮดรอกซิลเรดิกัด

2.5.3.6 ความเข้มข้นของแสง เนื่องจากความเข้มข้นของแสงโดยตรง (ความเข้มแสงคือพลังงานต่อหน่วยพื้นที่ต่อเวลา; อนุภาคแสง 1 โฟตตอน (Photon) ที่มีความถี่ v มีพลังงาน $E = h\nu$ คือเป็น 1 ควอนตัม) ถ้าให้พลังงานของแสงทั้งหมดที่ตกกระทบหนึ่งหน่วยพื้นที่ของผิวโลหะเป็น E_T ดังนั้น

จำนวนโฟตตอนที่ตกกระทบ = พลังงานของแสงทั้งหมดที่ตกกระทบ/พลังงานของแสง 1 โฟตตอน

$$= E_T = h\nu$$

จำนวนโฟตตอนที่ตกกระทบ 1 วินาที = ความเข้มของแสง/ h

ไอน์สไตน์ (Einstein) ได้ดังสมมุติฐานว่า 1 โฟตตอนจะทำให้เกิด 1 โฟโตอิเล็กตรอน (Photoelectron) ดังนั้นจำนวนโฟโตอิเล็กตรอน α ความเข้มแสงเพื่อที่จะกระตุ้นไฟฟานียน-ไดออกไซด์ให้เกิด e_{cb}^- และ h_{cb}^+ ต้องใช้ความยาวคลื่นแสงที่ส่องประมาณ 390 nm หรือต้องมีพลังงานอย่างน้อย 3.2 eV Ollis และคณะ ไดสรุปผลของความเข้มของแสงที่มีผลต่ออัตราการเกิดปฏิกิริยาไว้ว่า ที่ระดับความเข้มแสงต่ำ อัตราการเกิดปฏิกิริยาจะเป็นสัดส่วนโดยตรงกับความเข้มแสง และที่

ระดับความเข้มแสงปานกลางอัตราการเกิดปฏิกิริยาจะแปรผันตามรากที่สองของความเข้มแสง และที่ระดับความเข้มแสงสูงอัตราการเกิดปฏิกิริยาไม่ขึ้นกับความเข้มแสง และอัตราการเกิดปฏิกิริยาจะมีค่าคงที่ เมื่อถึงจุดจำกัดของการเคลื่อนย้ายมวล (Mass transfer limit) อย่างไรก็ตามประสิทธิภาพการถ่ายตัวของความอนตัม (Quantum efficiency of degradation = สัดส่วนของการถ่ายตัวต่อจำนวนโฟตอนที่ใช้) จะมีค่าคงที่ที่ระดับความเข้มแสงต่ำและจะแปรผันกับรากที่สองของความเข้มแสงที่ระดับความเข้มแสงปานกลางและจะแปรผันกับความเข้มแสงที่ระดับความเข้มสูง

Kawakuchi ได้สรุปเกี่ยวกับสมการ Langmuir – Hinshelwood kinetic rate ไว้ว่าที่ระดับความเข้มแสงสูง การเปลี่ยนแปลงค่าคงที่อัตราการเกิดปฏิกิริยา (k) จากปฏิกิริยาอันดับที่ 1 (First order) ไปสู่รากที่สอง (Square root order) เกิดขึ้นเมื่อความเข้มข้นของตัวเร่งปฏิกิริยาเพิ่มขึ้น และที่ระดับความเข้มแสงต่ำ ค่าคงที่อัตราการเกิดปฏิกิริยา (k) เปลี่ยนจากปฏิกิริยาอันดับที่ 1 ไปสู่ปฏิกิริยาอันดับศูนย์ (Zero order) เมื่อความเข้มของตัวเร่งปฏิกิริยาเพิ่มขึ้น

2.5.3.7 ปริมาณอิออนบวก-ลบ ในสารละลายน้ำโดยปกติแล้วน้ำเสียชุมชนและน้ำเสียอุตสาหกรรมจะมีสารอินทรีย์ (Anions หรือ Cations) ประกอบอยู่ด้วยนอกเหนือจากสารอินทรีย์ เช่น เหล็ก (III) (Fe^{3+}) เหล็ก (II) (Ferrous) แมงกานีส (Manganese) สังกะสี (Zinc) คลอไรด์ (Chloride) คาร์บอเนต (Carbonate) ไบคาร์บอเนต (Bicarbonate) ซัลไฟต์ (Sulfate) ไนเตรต (Nitrate) และฟอสเฟต (Phosphate) ซึ่งอิออนบางชนิดจะขัดขวางการเกิดปฏิกิริยาและบางชนิดจะเพิ่มอัตราการเกิดปฏิกิริยา น้ำเสียที่ถูกปนเปื้อนด้วยสารอินทรีย์ หากมีความเข้มข้นของโลหะสูงในน้ำเสียนั้น อาจจะต้องทำการบำบัดขั้นต้นเพื่อกำจัดโลหะออกบางส่วน เพื่อเพิ่มประสิทธิภาพในการถ่ายตัวของสารอินทรีย์ในปฏิกิริยาไฟฟ์โ拓ออกซิเดชัน

ความเข้มข้น $1\text{ mM }CO^{2+}$, $0.2\text{ มิลลิโมลาร์ }Al^{3+}$ $0.5\text{ มิลลิโมลาร์ }Zn^{2+}$ สามารถลดอัตราการเกิดปฏิกิริยาของคลอโรฟอร์ม (Chloroform) ได้ 50% , 70% และ 60% ตามลำดับ ในทางตรงกันข้าม $Fe(III)$ จะเพิ่มอัตราการกำจัดฟีโนอล (Phenol) อาจเนื่องมาจาก $Fe(III)$ เป็นตัวรับอิเล็กตรอนและสามารถทำให้เกิดไฮดรอกซิเดรดิคัลเพิ่มขึ้น และปริมาณสารเงิน (Ag) ปรอท (Hg) ทองแดง (Cu) แพลทินัม (Pt) หรือแคนเดเมียม (Cd) แต่ละชนิดเท่ากับ 0.49 mM สามารถเพิ่มอัตราการเกิดปฏิกิริยาไฟฟ์โ拓ออกซิเดชันของกรดซาลิไซลิก (Salicylic acid) ในสภาพขาดแคลนออกซิเจนได้

โซเดียมคลอไรด์ ($NaCl$) โซเดียมซัลไฟต์ (Na_2SO_4) และโซเดียมคาร์บอเนต (Na_2CO_3) โดยปกติแล้วจะถูกนำมาใช้ในอุตสาหกรรมสิ่งทอ ซึ่ง Bing – Nan และคณะ ได้ศึกษาพบว่าการบูรน (CO_3^{2-}) เป็นตัวยับยั้งการกำจัดสีมากที่สุด รองลงมาได้แก่ คลอไรด์ (Cl^-) ซัลไฟต์ (SO_4^{2-}) ตามลำดับ และจากการศึกษาของ Haarstrick และคณะ พบร่วมกับการบูรน Halmann ได้ศึกษาพบว่าการบูรน

ในการบอนเดต ในเครต และเปอร์คลอเรตอิโอน (Perchlorate ions) มีผลลัพธ์อย่างต่อปฏิกิริยาไฟโต-ออกซิเดชัน

ในสภาวะความเป็นเบส อัตราการสลาย 2,4,6 – TCP (2,4,6 - Trichlorophenol) โดยกระบวนการไฟโต-ออกซิเดชันเพิ่มขึ้นเพียงเล็กน้อยเมื่อคลอไรด์อ่อนมีความเข้มข้นมากกว่า 60 mg/L การเกิดปฏิกิริยาสามารถถูกขัดขวางได้โดยประจุบวก เช่น Na^+ เนื่องจากประจุบวกสามารถที่จะรับอิเล็กตรอนที่เกิดขึ้นจากปฏิกิริยาไฟโตแคลตาไอลซิส และทำให้เกิดการรวมตัวกันใหม่ของ e^-_{cb} และ h^+_{vb} (Recombination) จากการทดลอง Davis และ Huang สรุปได้ว่ามีความแตกต่างกันเพียงเล็กน้อย ในอัตราการเกิดปฏิกิริยาออกซิเดชัน อันเนื่องมาจากการที่เปลี่ยนไป ซึ่งนี้คือข้อดีอย่างหนึ่งของการใช้กระบวนการไฟโตแคลตาไอลซิส

2.6 ผลงานวิจัยที่เกี่ยวข้อง

ชฎาภา ธรรมานนท์ [5] ศึกษาการสังเคราะห์สารคุณภาพจากโซลเจลและคุณสมบัติในการคุณชั้บสารระเหยอินทรีย์ในการสังเคราะห์ใช้ Tetraethoxysilane (TEOS) เป็นสารตั้งต้นและสารลดแรงตึงผิวเป็น Template โดยศึกษาปัจจัยที่มีผลต่อความสามารถในการคุณชั้บ (1) ชนิดของสารลดแรงตึงผิว ได้แก่ Cationic Type: Cetyl Trimethyl Ammonium Bromide (CTAB), Anionic Type: Sodium Dodecyl Sulfate(SDS) และ Nonionic Type: Polyoxyethylene Cetyl Ether (Brif56) (2) อัตราส่วนโดยโมลของน้ำต่อ TEOS (3) อัตราส่วนโดยโมลของสารลดแรงตึงผิwt/o TEOS (4) สภาวะกรดและเบส และศึกษาความสามารถในการคุณชั้บโดยอุปกรณ์และฟอร์มัลดีไซด์

จากการทดลองพบว่าปริมาตรและขนาดเส้นผ่านศูนย์กลางเพิ่มขึ้น เมื่อเพิ่มของสารละลายตั้งต้นสูงขึ้น และอัตราส่วนโดยโมลของสารลดแรงตึงผิwt/o TEOS เพิ่มขึ้น นอกจากนี้ยังส่งผลให้ความสามารถในการคุณชั้บสารระเหยอินทรีย์เพิ่มขึ้นด้วย แต่ในการเพิ่มอัตราส่วนของน้ำไม่มีผลต่อความสามารถในการคุณชั้บเมื่อสังเคราะห์โดยใช้ CTAB เป็น Template และพบว่าอัตราส่วนโดยโมลของ CTAB ต่อ TEOS เท่ากับ 0.375 ในสภาวะด่าง มีความสามารถในการคุณชั้บมากที่สุด โดยสามารถคุณชั้บโดยอุปกรณ์และฟอร์มัลดีไซด์ได้ 1.2693 กรัมโดยอุปกรณ์/กรัมสารคุณชั้บ และสามารถคุณชั้บฟอร์มัลดีไซด์ได้ 1.1297 กรัมฟอร์มัลดีไซด์/กรัมสารคุณชั้บ และเมื่อเปรียบเทียบความสามารถในการคุณชั้บของ Xerogel กับสารคุณชั้บที่สังเคราะห์โดยใช้ Template เทคนิค พบว่า ความสามารถในการคุณชั้บโดยอุปกรณ์และฟอร์มัลดีไซด์ของ Xerogel ต่ำกว่ามาก

jinca เงินสุทธิชัย และ จิรวดี ศรีชารา [4] ศึกษาวิธีการสังเคราะห์นาโนไททาเนียมได-ออกไซด์ (TiO_2) เพื่อให้ได้โครงสร้างผลึกขนาด anatase โดยใช้เทคนิคการสังเคราะห์ที่เรียกว่าโซล - เจล (sol - gel) โดยผลึก anatase ของ TiO_2 นี้มีข้อได้เปรียบในแง่ของการเพิ่มพื้นที่ผิวของ

อนุภาค ซึ่งจะมีประโภชน์เป็นอย่างมากในเชิงการนำไปใช้เป็นตัวเร่งปฏิกิริยา สารตั้งต้นของการสังเคราะห์ TiO_2 ด้วยเทคนิค sol – gel ในงานวิจัยครั้งนี้จะใช้สารละลายน้ำ ไททานิล ชาลไฟต์ (titanyl sulfate) ซึ่งสารนี้เป็นเกลืออนินทรีย์ของไททานเนียม แทนการใช้ไททานเนียม อัลกออลไซด์ (titanium alkoxide) จากงานวิจัยพบว่า titania sol ที่ได้มีความเสถียรสูงพอสมควร ลักษณะผลึก TiO_2 ที่ได้จะมีลักษณะทางกายภาพเป็นผงสีขาวละเอียดขนาดอนุภาคก่อนทำ calcinations จะอยู่ในช่วงแคบ เมื่อตกผลึก TiO_2 โครงสร้าง anatase ที่ได้มีขนาดอนุภาคเฉลี่ยอยู่ในช่วง 10 – 20 nm ซึ่งอุณหภูมิที่ใช้ในการทำ calcinations อยู่ในช่วง 400 – 600 °C ผงวัสดุนาโน TiO_2 ที่ได้ ถูกนำมาวิเคราะห์โครงสร้างโดยเทคนิคหลัก ๆ ชนิด ซึ่งได้แก่ SEM , TEM, XRD, FTIR, DSC, TGA/DTA

Thammanoon Sreethawong และคณะ [18] สังเคราะห์ไททานเนียมที่มีอนุภาคขนาดนาโนโดยเติมแพลทินัมลงไปโดยวิธีโซล-เจล ในการสังเคราะห์กำหนดให้เติมแพลทินัมร้อยละ 0.6 โดยนำหนังกคลที่ได้คือมีสมบัติเป็นตัวเร่งปฏิกิริยาในปฏิกิริยาแบบใช้แสงที่ดี เนื่องจากมีขนาดนาโน พื้นที่ผิวและขนาดครุพัฒนามาก เมื่อนำไปทดสอบมีการกำหนดเวลาในการให้แสงและกำหนดค่า pH ความเข้มข้นของสารละลายน้ำว่าในสภาวะที่เหมาะสมสามารถผลิตแก๊สไฮโดรเจนได้

A. Al – Kahlout [14] ซึ่ง EQCM และศึกษาผลไกการเกิดสีของ $NiO - TiO_2$ ที่เตรียมไว้ด้วยวิธีโซล – เจล ด้วยเครื่องซึ่งที่มีการตรวจจับได้ว่องไวมากในการวิเคราะห์มวลที่เปลี่ยนในระหว่างการเกิดสี/การตกสี ในการบวนการเตรียม $NiO - TiO_2$ ด้วยวิธีโซล – เจล จะเกิดตะกอน 2 ชั้น โดยมีทองคำปรกคลุมแล้วเผาที่อุณหภูมิ 300°C ในอากาศ ในกระบวนการไฟฟ้าเคมีจะศึกษาความเป็นอิเล็กโทร ไลต์ของ KOH. ในช่วง -0.4 ถึง +0.57 Vs และ SCE อยู่ที่ 650 V มวลและกระแสไฟฟ้าที่ใช้จะมีค่าเพิ่มขึ้นตามรอบ รอบสูงสุดอยู่ที่ 570 รอบ สุดท้ายพบว่าจะมีการแลกเปลี่ยน OH^- และเกิดการออกซิเดชัน Ni^{2+} เป็น Ni^{3+}

บทที่ 3

วิธีการทำงานวิจัย

บทนี้จะกล่าวถึงอุปกรณ์ สารเคมี และเครื่องมือที่ใช้ในการสังเคราะห์ $\text{CeO}_2 / \text{TiO}_2$ ตลอดจนวิธีการสังเคราะห์ และเครื่องมือในการทำวิจัย

3.1 อุปกรณ์ สารเคมี และเครื่องมือในการทำวิจัย

3.1.1 สารเคมี

1. ไททาเนียมไอโซพรพอกไซด์ (Titanium (IV) isopropoxide, Fluka)
2. โพแทสเซียมไฮดรอกไซด์ (Potassium hydroxide 85%, Ajax Chemicals)
3. กรดอะซิติก (Acitic acid 100%, J.T. Baker)
4. คาร์บอคซิล เมทธิล เซลลูโลส (Carboxyl methyl cellulose, CMC, Akucell)
5. เอทานอล (Ethanol, Merck)
6. ซีเรียมไนเตรต เยกซั่ว ไฮเครต (Cerium (III) nitrate Hexahydrate, Fluka)
7. เฮกแซน (Hexane 95%, Fisher Scientific)
8. บิวทานอล (Butanol-1, Analar)
9. เยกซั่วเดซิล ไตรเมธิล แอมโมเนียม บอร์มาย (CTAB) (Hexadecyl trimethylammonium bromine, Fluka)
10. ไฮดรารชีน (Hydrazine hydrate 98%, Carlo Erba)
11. เมทิลีน บลู (Methylene Blue, Unilab)
12. น้ำกัลลัน

3.1.2 อุปกรณ์

1. ปีเป็ต ขนาด 1 mL 2 mL และ 10 mL
2. หลอดหยอด
3. บีกเกอร์ ขนาด 50 และ 250 mL
4. กระดาษกรอง Whatman
5. ขวดเก็บสารตัวอย่าง (Vial) ขนาด 5 mL
6. จานเพาะเชื้อ (Petri dishes)

3.1.3 เครื่องมือ

1. เตาอบ (Oven) Memmert, UFE700
2. เตาเผา (Furnace) Carbolite, CMF1100
3. เครื่องวัดค่า pH (pH meter) Mettler Toledo, Seven Easy
4. เครื่องกวน (Magnetic stirrer) Hotplate & Stirrer, Wellab Wsahs 1
5. Brunauer-Emmett-Teller (BET) Philips, PW 1830 generator
6. X – ray diffraction (XRD), D8 Advance
7. Scanning Electron Microscope (SEM) Leo, 1455VP
8. UV-Visible spectrophotometer (UV-Vis) Cecil instrument, Ce1010

3.2 ขั้นตอนการทดลอง

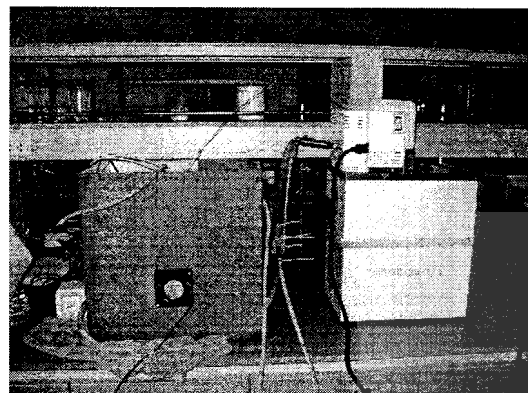
3.2.1 การสังเคราะห์ไททาเนียม (TiO_2) ด้วยวิธีไซล-เจล โดยการเติม CMC

1. เตรียมสารละลายน้ำยาเนยนไออกซ์โซรอกไซด์ความเข้มข้น 0.3 M โดยใช้เอทานอลเป็นตัวทำละลาย ปริมาตร 300 mL
2. เตรียมสารละลายน้ำยาโซเดียมไออกซ์โซรอกไซด์ความเข้มข้น 2 M โดยใช้น้ำกลั่นเป็นตัวทำละลาย
3. ค่อยๆเติมสารละลายน้ำยาโซเดียมไออกซ์โซรอกไซด์ลงในสารละลายน้ำยาเนยนไออกซ์โซรอกไซด์ พร้อมทั้งการตกลอดเวลา จนสารละลายน้ำมีค่า pH ประมาณ 9
4. ล้างตะกอนที่ได้จากข้อ 3 หลายครั้ง จนกระทั่งน้ำล้างตะกอนมีค่า pH ประมาณ 7
5. นำตะกอนที่ได้จากข้อ 4 มาทำการเปปป้าไทด์ โดยค่อยๆเติมกรดแอกซิติกความเข้มข้น 1 M ขณะเดียวกันนั้น ค่อยๆเติม 1% w/v CMC ปริมาตร 1, 2, 3 และ 4 mL จนกระทั่งสารละลายน้ำมีค่า pH ประมาณ 4.5
6. ทำการกรองสารละลายน้ำที่ได้อีกครั้งเพื่อกำจัดสิ่งสกปรก
7. นำสารละลายน้ำที่ผ่านการกรอง ทึ่งไว้ให้แห้งที่อุณหภูมิห้อง จนเกิดเป็นเจล
8. นำเจลที่ได้จากข้อ 7 ไปแคลเซนต์ที่อุณหภูมิ 400°C เป็นเวลา 2 ชั่วโมง
9. วิเคราะห์สมบัติทางกายภาพของไททาเนียมที่สังเคราะห์ได้ด้วยวิธี Brunauer-Emmett-Teller (BET)

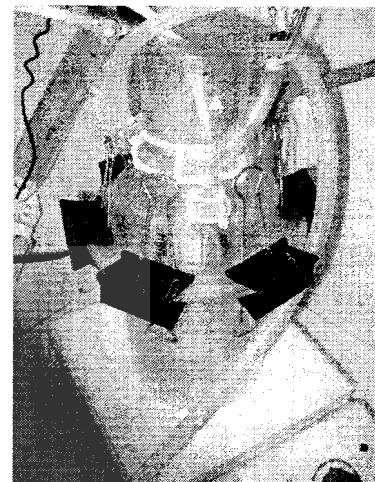
3.2.2 การสังเคราะห์ซีเรียม (CeO_2) ด้วยเทคนิคในprocessing

1. เติมบัวทานอล 13 mL ใส่ลงไปในเอกสาร 100 mL จากนั้นเติม CTAB จำนวน 5 g ลงไป
2. นำซีเรียมในเตตร เอกซ์ไซเดรต จำนวน 2 g มาระลายกับน้ำกลั่น 0.1 mL แล้วเติมลงไปในสารละลายในข้อ 1
 3. วนทึ่งไว้จนได้ในprocessing เป็นสารละลายใส
 4. เติม 5% v/v ไฮดรอกซิน ลงไปในข้อ 3 ตั้งทึ่งไว้ให้ตกลงกัน
 5. นำตะกอนที่ได้ไปอบที่อุณหภูมิ 250°C เป็นเวลา 3 ชั่วโมง
 6. นำผลิตผลที่ได้จากข้อ 5 ไปทำการแคลไชน์ที่อุณหภูมิ 600°C เป็นเวลา 1 ชั่วโมง
 7. วิเคราะห์สมบัติทางกายภาพของซีเรียมที่ได้จากการสังเคราะห์ด้วยวิธี Brunauer-Emmett-Teller (BET)
- 3.2.3 การสังเคราะห์ $\text{CeO}_2/\text{TiO}_2$ ด้วยวิธีการผงแบบเบียก
 1. นำไททาเนียมที่สังเคราะห์ได้ ปริมาณ 2 g ใส่ลงไปในprocessing ที่ประกอบไปด้วยด้วยซีเรียมในเตตร เอกซ์ไซเดรต ปริมาณ 0.5 g พร้อมทั้งกวนเป็นเวลา 30 นาที
 2. นำตะกอนที่กรองได้จากข้อ 1 มาอบที่อุณหภูมิ 250°C เป็นเวลา 3 ชั่วโมง
 3. ทำการแคลไชน์ที่อุณหภูมิ 600°C เป็นเวลา 1 ชั่วโมง
 4. ทำข้ามข้อ 1-3 โดยเปลี่ยนสัดส่วนของซีเรียมในเตตร เอกซ์ไซเดรต ในprocessing เป็น 1 และ 2 ตามลำดับ
 5. วิเคราะห์สมบัติทางกายภาพของ $(\text{CeO}_2/\text{TiO}_2)$ ที่สังเคราะห์ได้ด้วยวิธี Brunauer-Emmett-Teller (BET), X-ray diffraction (XRD) และ Scanning Electron Microscope (SEM)
- 3.2.4 การทดสอบปฏิกิริยาการสลายสีโดยยาดับ $\text{CeO}_2/\text{TiO}_2$ ในการทำปฏิกิริยาร่วมกันแสง
 1. เตรียมชุดทดลองในรูปที่ 3.1
 2. ใส่สารละลายนมิลิน บลู ความเข้มข้น 3 ppm ลงไปในชุดทดลองที่เตรียมไว้ในข้อ 1
 3. ใส่ $\text{CeO}_2/\text{TiO}_2$ ปริมาณ 0.3 g (เตรียมจากโซเดียมในเตตร เอกซ์ไซเดรต จำนวน 0.5 g) ลงไปในสารละลายนมิลิน บลู ที่ใส่ไว้ในชุดทดลอง
 4. ทำการฉายแสง UV ขนาด 400 watt ลงในชุดทดลอง
 5. ในระหว่างการทดลอง ทำการเก็บตัวอย่างสารละลายนมิลิน บลู ที่ผ่านการฉายแสงทุกๆ 15 นาที
 6. นำสารละลายนมิลิน บลู ที่เก็บได้ในข้อ 5 มาทำการวัดค่าการดูดกลืนแสงด้วยเครื่อง UV-Visible spectrophotometer

7. ทำขั้นตอนที่ 1-6 โดยเปลี่ยนเป็น $\text{CeO}_2/\text{TiO}_2$ ที่เตรียมจากเตรียมจากโซเดียมไนเตรต-ไฮดรอเจนที่ 1 และ 2 g ตามลำดับ



(a)



(b)

รูปที่ 3.1 ชุดทดสอบการถ่ายสีโดยอาศัย $\text{CeO}_2/\text{TiO}_2$ ในการทำปฏิกิริยาร่วมกับแสง (a) กล้องใส่ชุดทดสอบ (b) ชุดทดสอบการถ่ายสีที่ภายในบรรจุหลอด UV กำลัง 400 watt มีสายยางต่อ กับเครื่องเพื่อคัดสารละลายนมธีน บลู ออกมา



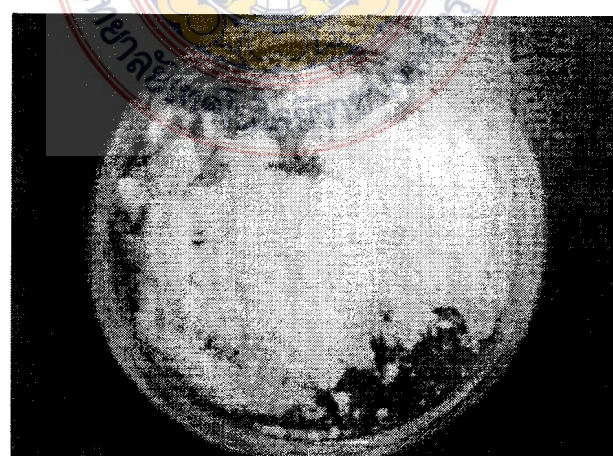
บทที่ 4

ผลการทดลองและอภิปรายผล

ในการศึกษางานวิจัยนี้ได้แบ่งการศึกษาออกเป็น 4 ส่วน คือ ส่วนแรกเป็นการสังเคราะห์ไททาเนียม (TiO_2) ด้วยวิธีโซล-เจล ส่วนที่สองเป็นการเตรียมซีเรีย (CeO_2) ด้วยเทคนิคไนโตรอัมมัลชัน ส่วนที่สามเป็นการสังเคราะห์ CeO_2 / TiO_2 ด้วยวิธีการผงแบบเปียก และส่วนที่สี่ เป็นการทดสอบปฏิกิริยาการถลายน้ำ โดยอาศัย CeO_2 / TiO_2 ในการทำปฏิกิริยาร่วมกับแสง ผลิตผลในแต่ละส่วนถูกนำไปวิเคราะห์ทางสมบัติทางค้านต่างๆ ด้วยวิธี Brunauer-Emmett-Teller (BET), X-ray Diffraction (XRD) และ Scanning Electron Microscope (SEM) ซึ่งผลของการวิเคราะห์ก่อตัวได้ดังนี้

4.1 การสังเคราะห์ไททาเนียมด้วยวิธีโซล-เจล โดยการเติม CMC

สารละลายของไททาเนียมไอโซโพรพอไกลค์ ในตัวทำละลายเอทานอล ที่เตรียมได้เป็นสารละลายใส่ไม่มีสี เมื่อนำตากอนที่เกิดขึ้นไปเปปป์ไทด์ด้วยกรดแอกซิติกและเติมสารละลาย 1% w/v CMC ลงไปจะได้สารละลายที่มีความหนืดมากขึ้น จากนั้นนำสารละลายที่เตรียมได้ทึบไว้ที่อุณหภูมิห้องจนเกิดเจลและการแคลใจที่อุณหภูมิ $400^{\circ}C$ เป็นเวลานาน 2 ชั่วโมง จะได้อุนภาคของไททาเนียมที่มีลักษณะเป็นผงสีขาวทึบแสงดังรูป 4.1



รูปที่ 4.1 ลักษณะทางกายภาพของอนุภาคไททาเนียมที่สังเคราะห์ได้

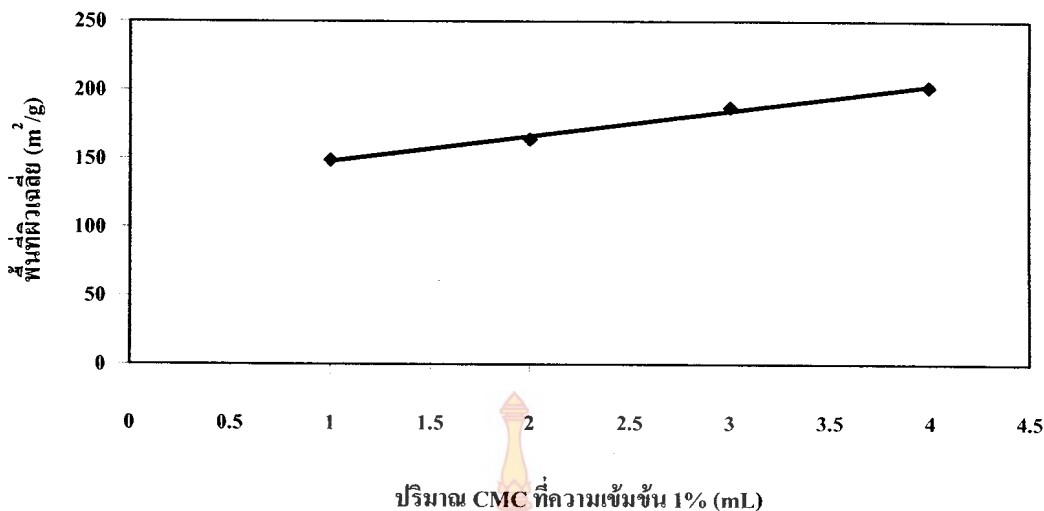
การวิเคราะห์พื้นที่ผิวและขนาดครุพูนของไกทานเนียที่สังเคราะห์ได้

อนุภาคไกทานเนียที่สังเคราะห์ได้ถูกนำไปวิเคราะห์ด้วยวิธี BET เพื่อศึกษาผลของการเติม 1% CMC ลงไว้ระหว่างทำการเปปไทด์ จากผลการวิเคราะห์แสดงดังตารางที่ 4.1

ตารางที่ 4.1 ขนาดพื้นที่ผิวเฉลี่ยของไกทานเนีย และขนาดครุพูนของ 0.3 M TiO_2 ในสารละลายน้ำ乙醇ที่ทำการเติม 1% CMC ที่ปริมาณต่างกัน (แคลไชน์ที่ 400°C เป็นเวลา 2 ชั่วโมง)

ภาวะที่ใช้	พื้นที่ผิวเฉลี่ย (m^2/g)	ขนาดครุพูน (nm)
2 M KOH / 1 M CH_3COOH + 1 % CMC 1 ml	148.97	2.198
2 M KOH / 1 M CH_3COOH + 1 % CMC 2 ml	164.19	2.171
2 M KOH / 1 M CH_3COOH + 1 % CMC 3 ml	187.31	2.171
2 M KOH / 1 M CH_3COOH + 1 % CMC 4 ml	202.05	2.171

จากการวิเคราะห์พบว่าที่ความเข้มข้นของสารละลายน้ำ乙醇พอกไซด์ในตัวทำละลายเอทานอลที่ 0.3 M เท่ากัน และใช้อุณหภูมิในการอบและแคลไชน์เท่ากัน พบว่าการเติม 1% w/v CMC ในปริมาณที่มากขึ้น จะทำให้อนุภาคไกทานเนียที่สังเคราะห์ได้มีพื้นที่ผิวสูงขึ้นตามไปด้วย สามารถแสดงความสัมพันธ์ในรูปแบบกราฟได้ดังรูปที่ 4.2

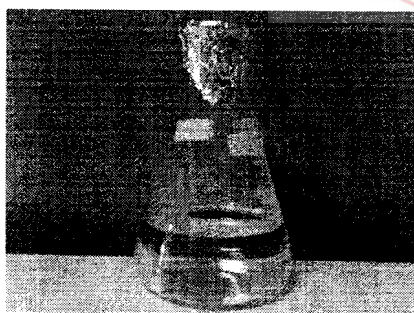


รูปที่ 4.2 ผลของปริมาณ 1% CMC ต่อพื้นที่ผิวน้ำเสียเมื่อแคลไชน์ที่อุณหภูมิ 400°C

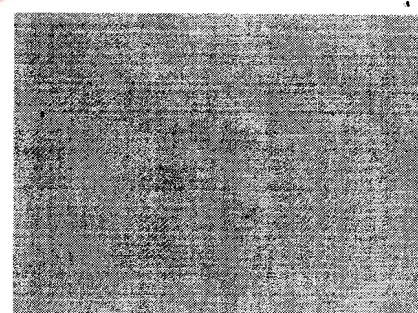
จากรูปเหตุที่เป็นเช่นนี้เนื่องมาจากสาร CMC เปรียบเสมือนแม่แบบเพื่อให้อุณภูมิไทยเนยมาเกาะถ้าเติมปริมาณแม่แบบในที่นี้ ก็อีกการเพิ่มปริมาณ CMC ลงไป จะทำให้อุณภูมิไทยเนยสามารถเลือกจับตำแหน่งบนแม่แบบเพิ่มมากขึ้น ทำให้อุณภูมิไทยเนยที่สังเคราะห์ได้มีพื้นที่ผิวเพิ่มมากขึ้น

4.2 การสังเคราะห์ซีเรียม (CeO_2) ด้วยเทคนิคไมโครอิมัลชัน

การสังเคราะห์ CeO_2 ด้วยเทคนิคไมโครอิมัลชัน พบว่าไมโครอิมัลชันเป็นสารละลายน้ำไม่มีสี หลังจากเติมไฮดรอกซิลอลูกลงไป จะมีตะกอนตกลงมา เมื่อนำไปกรองและนำไปอบที่ 250°C เป็นเวลา 3 ชั่วโมง อนุภาคซีเรียมที่ได้มีลักษณะเป็นผงละเอียดลีฟลีอง ดังรูปที่ 4.3



(a)



(b)

รูปที่ 4.3 สารที่เตรียมได้ด้วยเทคนิคไมโครอิมัลชัน (a) สารละลายน้ำไมโครอิมัลชันที่เตรียมได้ และ (b) อนุภาค CeO_2 ที่เตรียมได้จากเทคนิคไมโครอิมัลชัน

การวิเคราะห์พื้นที่ผิวและขนาดรูพรุนเฉลี่ยของ CeO₂ ที่สังเคราะห์ได้

อนุภาคซึ่งเรียกว่าสังเคราะห์ได้ถูกนำไปวิเคราะห์ด้วยวิธี BET และผลจากการวิเคราะห์พบว่าพื้นที่ผิวของซึ่งเรียกว่าได้คือ $34.08 \text{ m}^2/\text{g}$ และมีขนาดอนุภาคเท่ากับ 1.938 nm ซึ่งพื้นที่ผิวและขนาดอนุภาคของซึ่งเรียกว่าได้น่าจะขึ้นอยู่กับอุณหภูมิที่ใช้ในการอบและการแคลไชน์ซึ่งอุณหภูมิที่ใช้คือ 250°C และ 600°C ตามลำดับ

4.3 การสังเคราะห์ CeO₂/TiO₂ ด้วยวิธีการฝังแบบปืนยิง

การเตรียม CeO₂/TiO₂ โดยวิธีการฝังแบบปืนยิง เรายังคงเตรียมสารเป็นสองส่วน คือ ส่วนแรก เลือกนำอนุภาคไททาเนียมที่สังเคราะห์ได้ในหัวข้อที่ 4.1 ที่มีพื้นที่ผิวสูงสุดมาจุ่มแช่ในสารละลายไม่โกรอミลชัน ซึ่งเตรียมโดยการใช้ปริมาณของซึ่งเรียบมีในเตตระ เอกซะ ไฮเดรตที่ต่างกัน คือ 0.5 l และ 2 g ในระหว่างการจุ่มแช่ มีการกวนโดยต่อต่อ หลังจากกรองตะกอนออกจากสารละลายไม่โกรอミลชัน นำตะกอนที่ได้ไปอบที่อุณหภูมิ 250°C เป็นเวลา 3 ชั่วโมง และทำการแคลไชน์ที่อุณหภูมิ 600°C เป็นเวลา 1 ชั่วโมง จะได้ผลิตผลเป็นอนุภาคขนาดเล็กตีเหลืองนวล ดังแสดงในรูปที่ 4.4



รูปที่ 4.4 อนุภาคของ CeO₂/TiO₂ หลังการแคลไชน์

4.3.1 การวิเคราะห์พื้นที่ผิวและขนาดรูพรุนเฉลี่ยของ CeO₂/TiO₂ ที่สังเคราะห์ได้

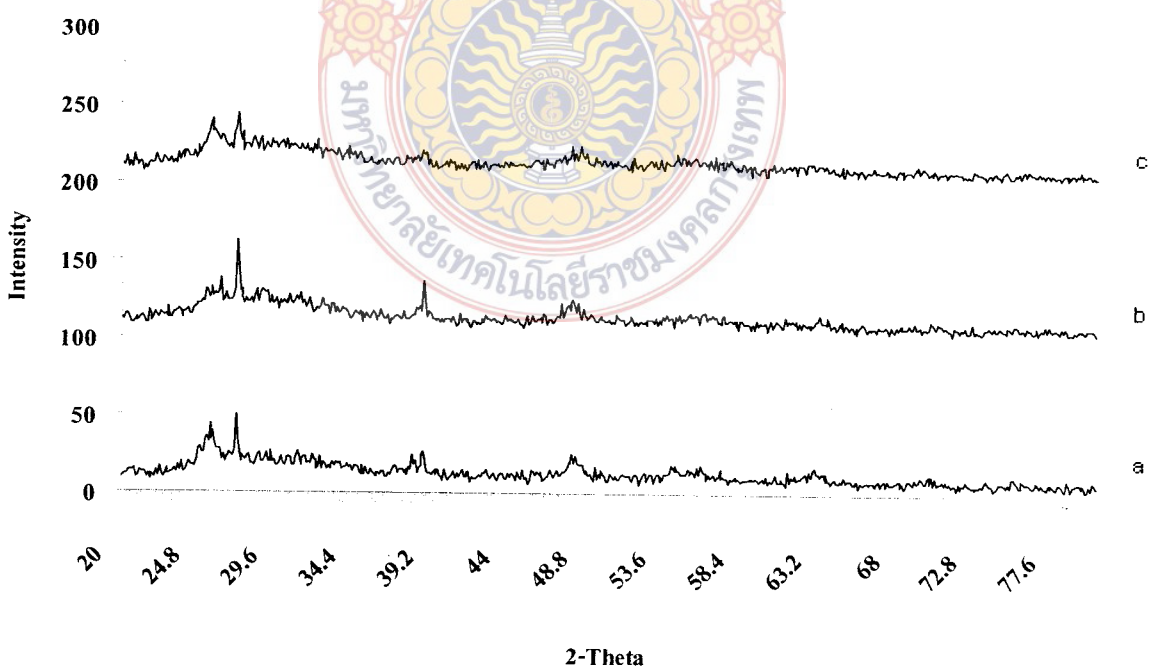
CeO₂/TiO₂ ที่สังเคราะห์ได้ถูกนำไปวิเคราะห์ด้วยวิธี BET เพื่อศึกษาผลของอัตราส่วนซึ่งเรียบมีในเตตระ เอกซะ ไฮเดรตต่อไททาเนียม ที่ถูกใช้ในการสังเคราะห์ CeO₂/TiO₂ ตารางที่ 4.2 แสดงผลการวิเคราะห์ด้วยวิธี BET จากตัวอย่าง CeO₂/TiO₂ ที่มีสัดส่วนของซึ่งเรียบมีในเตตระ เอกซะ ไฮเดรต ที่ต่างกัน

ตารางที่ 4.2 พื้นที่ผิวเฉลี่ยของ $\text{CeO}_2 / \text{TiO}_2$ ที่อัตราส่วนโดยน้ำหนักระหว่างซีเรียมในเตรต-ເ夷คະ-ໄไซเดรต และ ไททาเนีย ต่างกัน (อบที่อุณหภูมิ 250°C นาน 3 ชั่วโมง และแคลไชน์ที่อุณหภูมิ 600°C นาน 1 ชั่วโมง)

อัตราส่วนน้ำหนักระหว่าง		พื้นที่ผิวเฉลี่ย (m^2/g)	ขนาดรูพรุน (nm)
ซีเรียม ในเตรต เ夷คະ-ໄไซเดรตและ ไททาเนีย (g)			
0.5 : 2		44.03	1.930
1 : 2		38.94	2.884
2 : 2		30.83	3.838

จากผลการวิเคราะห์ในตารางที่ 4.2 ตัวอย่าง $\text{CeO}_2 / \text{TiO}_2$ ที่มีซีเรียม ในเตรต เ夷คະ-ໄไซเดรต ที่ 0.5 g ให้พื้นที่ผิวสูงสุด พร้อมกับมีอนุภาคพรุนที่ 1.930 nm ที่เป็นเช่นนี้อาจเป็นเพราะอนุภาคของซีเรียม ในเตรต เ夷คະ-ໄไซเดรต ไปปิดทับรูพรุนของ ไททาเนียน้อย จึงทำให้มีพื้นที่ผิวเฉลี่ยสูงกว่า ซีเรียม ในเตรต เ夷คະ-ໄไซเดรต ที่สัดส่วนอื่นๆ

4.3.2 การวิเคราะห์โครงสร้างอนุภาคของ $\text{CeO}_2 / \text{TiO}_2$ ที่สังเคราะห์

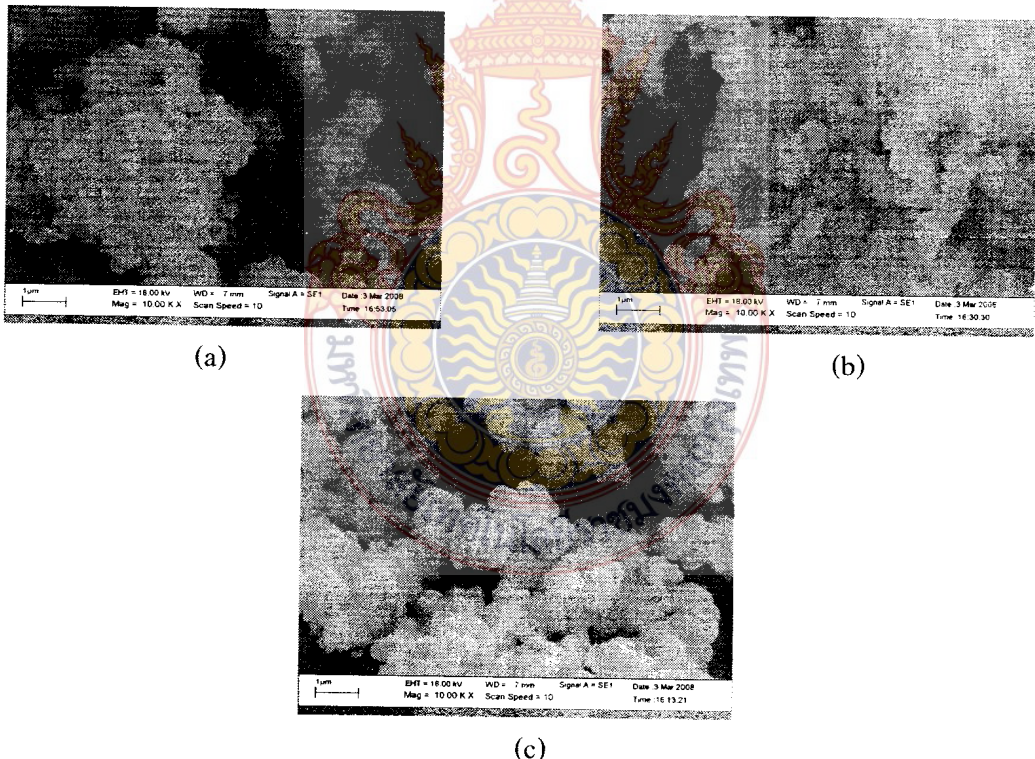


รูปที่ 4.5 เส้นสเปกตรัมจากการวิเคราะห์ด้วยเทคนิค X-Ray Diffraction ของ $\text{CeO}_2 / \text{TiO}_2$ ที่เตรียมจากปริมาณซีเรียม ในเตรต เ夷คະ-ໄไซเดรตต่างกันคือ (a) 0.5 g (b) 1 g และ (c) 2 g

เอกซ์-เรย์ดิฟเพรคชันเป็นเทคนิคที่ใช้ตรวจสอบโครงสร้างค่าความเป็นผลึกของสารจาก การวิเคราะห์เฟสของ $\text{CeO}_2 / \text{TiO}_2$ ด้วยวิธี XRD พบร่วมเป็นไปดังรูปที่ 4.5 โดยพีกของซีเรียเกิดขึ้นที่ 2θ เท่ากับ 27.2, 32.5, 47.8, 56.0 และ 69.9 ตามลำดับ ขณะที่พีกของไททาเนียมปรากฏที่ 2θ เท่ากับ 26.0, 38.3, 52.3, 69.7 และ 70.0 ตามลำดับ แสดงว่าจากการสังเคราะห์ $\text{CeO}_2 / \text{TiO}_2$ ในการทดลองเกิด $\text{CeO}_2 / \text{TiO}_2$ ขึ้นจริง เมื่อสังเคราะห์ที่ 4.5 พบร่วมที่พีกของไททาเนียมที่มีทั้งไททาเนียมที่เป็นเฟสเดส และเฟสกราไฟต์ ทั้งนี้เนื่องจากมีการแคลดิชันที่อุณหภูมิสูงกว่า 400°C ซึ่งจะทำให้ไททาเนียมเป็นเฟสกราไฟต์

4.3.3 ลักษณะผลึกของ $\text{CeO}_2 / \text{TiO}_2$ ที่วิเคราะห์ด้วยเทคนิค Scanning Electron Microscopes

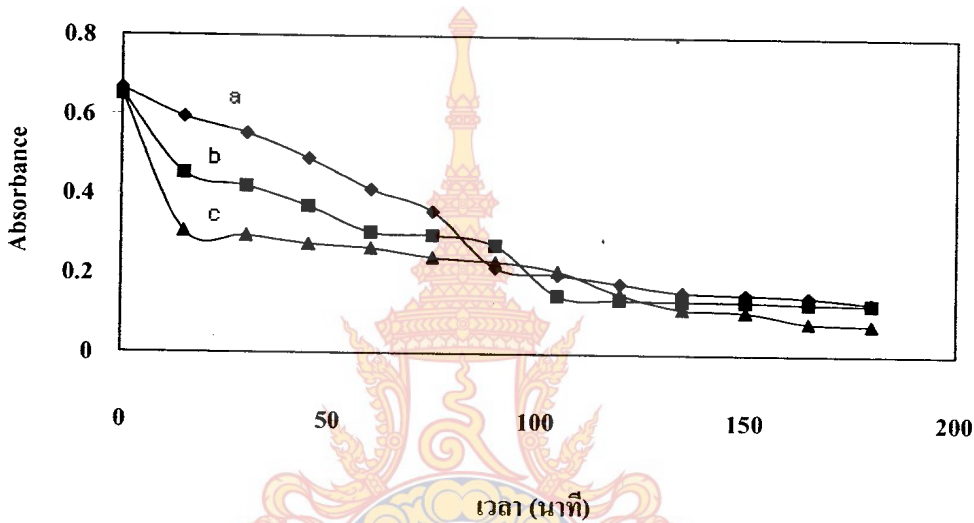
ภาพจากการถ่ายด้วยกล้องอิเล็กตรอนแบบส่อง粒粒 พบว่าผลึกมีการจับตัวกันเป็นกลุ่มก้อนดังรูปที่ 4.8 และคงให้เห็นลักษณะพื้นผิว และความขรุขระ อาจเนื่องมาจากการมีอนุภาคขนาดเล็ก จำนวนมากของซีเรียซ้อนทับบนอนุภาคของไททาเนียม



รูปที่ 4.6 โครงสร้างทางจุลภาคของ $\text{CeO}_2 / \text{TiO}_2$ ที่กำลังขยาย 10,000 เท่า ที่อัตราส่วนโดยน้ำหนักระหว่างซีเรียมในเตต เอกซ์-ไออกซ์และไททาเนียมคือ (a) 0.5 : 2 (b) 1 : 2 และ (c) 2 : 2

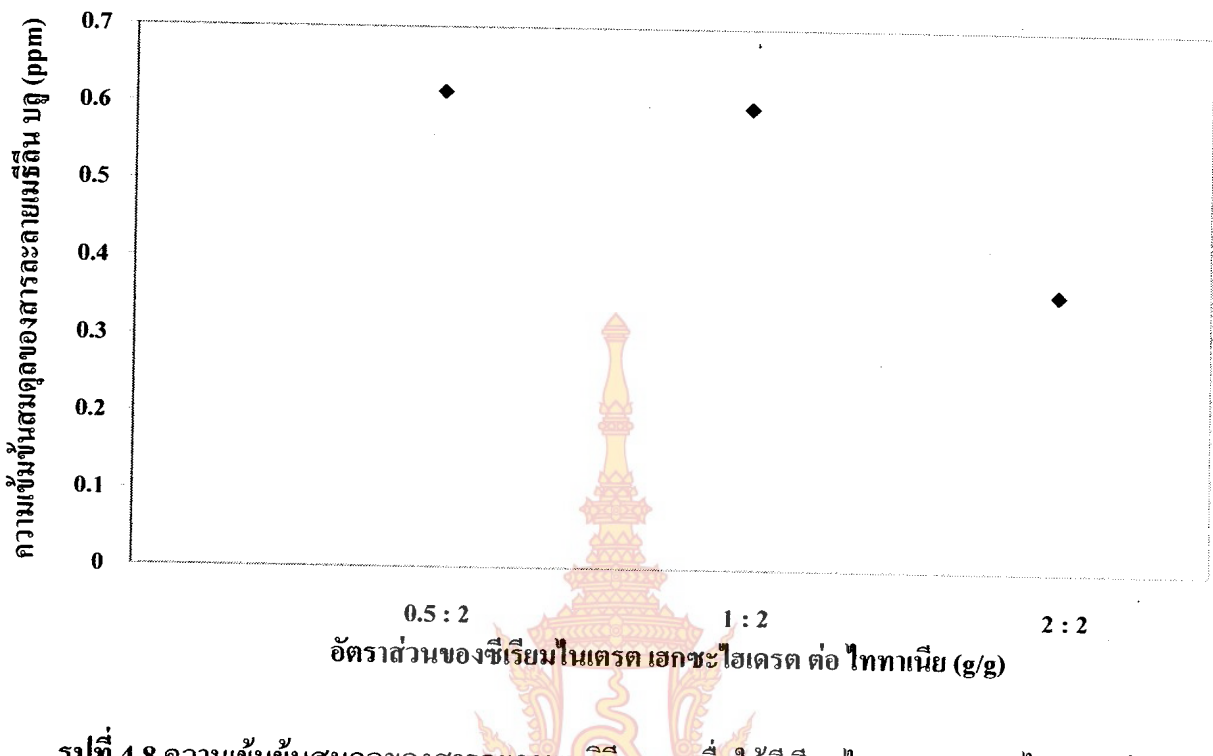
4.4 การทดสอบปฏิกิริยาการสลายสีโดยอัศัย $\text{CeO}_2/\text{TiO}_2$ ในการทำปฏิกิริยาร่วมกันแสง

จากการทำการสลายเมธิลีน บลู ด้วย $\text{CeO}_2/\text{TiO}_2$ ที่สังเคราะห์ได้ร่วมกับแสงพบว่า $\text{CeO}_2/\text{TiO}_2$ ที่เตรียมจากการใช้ซีเรียมในเตรต เอกซ์ ไฮเดรต ปริมาณ 2 g มีประสิทธิภาพในการสลายสีของเมธิลีน บลู ดีที่สุดเมื่อเทียบกับ $\text{CeO}_2/\text{TiO}_2$ ที่เตรียมจากซีเรียมในเตรต เอกซ์ ไฮเดรต ที่สัดส่วนอื่นๆ ในเวลาที่ใช้ในการสลายเมธิลีน บลู เพื่อกันคือ 180 นาที สังเกตได้ดังรูปที่ 4.7



รูปที่ 4.7 ค่าของการดูดกลืนแสงของสารละลายเมธิลีน บลู เมื่อใช้ตัวร่วงปฏิกิริยา $\text{CeO}_2/\text{TiO}_2$ ในอัตราส่วนโดยน้ำหนักของซีเรียมในเตรต เอกซ์ ไฮเดรต ต่อ ไททาเนียม ต่างกัน (a) 0.5 : 2 (b) 1 : 2 และ(c) 2 : 2

จากรูปที่ 4.7 จะเห็นว่าที่อัตราส่วนโดยน้ำหนักของซีเรียมในเตรต เอกซ์ ไฮเดรต ต่อ ไททาเนียมที่ 2 : 2 สามารถสลายสีของเมธิลีน บลู ได้ดีที่สุดซึ่งน่าจะเป็นเพราะมีปริมาณของซีเรียมอนุภาคไททาเนียมมากจึงทำให้มีประสิทธิภาพในการทำปฏิกิริยามากขึ้น และจากรูปที่ 4.7 สามารถนำมาเขียนใหม่ในรูปของกราฟความเข้มข้นที่เวลาสุดท้ายกับอัตราส่วนของซีเรียมในเตรต เอกซ์ ไฮเดรต ต่อ ไททาเนียมที่อัตราส่วนต่างๆ ได้ดังรูปที่ 4.8



รูปที่ 4.8 ความเข้มข้นสมดุลของสารละลายเมธิลีน บลู เมื่อใช้ชีเรียม ในตระต เอกจะไอกเดรต ต่อ ไทยานีย ที่อัตราส่วนต่างๆ

จากรูปที่ 4.8 พนบว่าที่เวลา 180 นาที ชีเรียม ในตระต เอกจะไอกเดรต ต่อ ไทยานีย ที่อัตราส่วน 0.5 : 2 มีค่าการคูคกเลินแสง 0.132 เทียบเป็นความเข้มข้น 0.6154 ppm จาก 3 ppm ของสารละลาย เมธิลีน บลู, 1 : 2 มีค่าการคูคกเลินแสง 0.128 เทียบเป็นความเข้มข้น 0.5968 ppm จาก 3 ppm ของสารละลาย เมธิลีน บลู และ 2 : 2 มีค่าการคูคกเลินแสง 0.077 เทียบเป็นความเข้มข้น 0.3599 ppm จาก 3 ppm ของสารละลาย เมธิลีน บลู ซึ่งสอดคล้องกับรูปที่ 4.8

บทที่ 5

สรุปผลการวิจัยและข้อเสนอแนะ

จากผลการทดลองในการทำงานวิจัยเรื่อง การสังเคราะห์ $\text{CeO}_2/\text{TiO}_2$ เพื่อใช้เป็นตัวเร่งปฏิกิริยาทางแสง คณะผู้วิจัยเห็นว่าสามารถสรุปผลการทำวิจัย พร้อมทั้งมีข้อเสนอแนะที่เป็นประโยชน์ต่อการพัฒนางานทางด้านการสังเคราะห์และการประยุกต์ใช้ตัวเร่งปฏิกิริยาทางแสง ดังนี้

5.1 การสังเคราะห์ไกทานเนียด้วยวิธีโซล-เจล โดยการเติม CMC

จากการสังเคราะห์ไกทานเนียด้วยวิธีโซล-เจล พบว่า ในระหว่างการสังเคราะห์ไกทานเนียโดยใช้สารเติมแต่งประเภทโพลีเมอร์เข้าร่วม โดยในการทดลองนี้ใช้ CMC (Carboxyl methyl cellulose) สามารถช่วยเพิ่มพื้นที่ผิวให้กับตัวเร่งปฏิกิริยาไกทานเนียที่สังเคราะห์ได้เป็นอย่างมาก จากผลการทดลอง เมื่อใช้ 1% CMC ในปริมาตร 4 mL เติมลงไประหว่างการสังเคราะห์สามารถทำให้ไกทานเนียที่สังเคราะห์ได้มีพื้นที่ผิวสูงถึง $202.05 \text{ m}^2/\text{g}$ และเมื่อนำไปเทียบกับ การสังเคราะห์ไกทานเนียโดยไม่ใช้สารเติมแต่งใดๆ พบว่า พื้นที่ผิวสูงขึ้นร้อยละ 73.70 จากเดิมที่มีพื้นที่ผิว $116.32 \text{ m}^2/\text{g}$

5.2 การสังเคราะห์ซีเรียม (CeO_2) ด้วยเทคนิคไมโครอิมลชัน

จากการสังเคราะห์ซีเรียม (CeO_2) ด้วยเทคนิคไมโครอิมลชัน พบว่าในไมโครอิมลชันเป็นสารละลายใส่ไม่มีสี อนุภาคซีเรียมได้ถูกน้ำไปหาพื้นที่ผิวและขนาดครูพรุนด้วยวิธี BET พบว่ามีพื้นที่ผิว $34.8 \text{ m}^2/\text{g}$

5.3 การสังเคราะห์ $\text{CeO}_2/\text{TiO}_2$ ด้วยวิธีการฝังแบบเปียก

จากการสังเคราะห์ $\text{CeO}_2/\text{TiO}_2$ ด้วยวิธีการฝังแบบเปียก พบว่าอนุภาคของ $\text{CeO}_2/\text{TiO}_2$ ที่สังเคราะห์ได้จะมีขนาดเล็กเป็นพังผืดเหลือง โดยอัตราส่วนของซีเรียมในเตรต เอกซ์ไซเดรตต่อไกทานเนีย ที่ 2 ต่อ 2 จะทำให้อนุภาคมีพื้นที่ผิวมากที่สุด เมื่อนำไปวิเคราะห์โครงสร้างด้วยการเลือบแบบรังสีเอกซ์ (X-ray Diffraction, XRD) สามารถบอกได้ว่ามีพื้นที่ผิวของซีเรียมเกิดขึ้นที่ 2θ เท่ากับ 27.2, 32.5, 47.8, 56.0 และ 69.9 ตามลำดับ สำหรับพื้นที่ของไกทานเนียพบว่ามีเฟสอนาคตเกิดร่วมกับเฟสฐานไทล์ โดยเกิดขึ้นที่ 2θ เท่ากับ 26.0, 38.3, 53.2, 62.7 และ 70 ตามลำดับ

5.4 การทดสอบปฏิกิริยาการสลายสีโดยอาศัย $\text{CeO}_2/\text{TiO}_2$ ในการทำปฏิกิริยาร่วมกับแสง

ผลจากการทดสอบปฏิกิริยาการสลายสีโดยอาศัย $\text{CeO}_2/\text{TiO}_2$ ในการทำปฏิกิริยาร่วมกับแสง พบว่า การใช้ $\text{CeO}_2/\text{TiO}_2$ ที่อัตราส่วน 2 : 2 ของ ซีเรียม ในเตรต เอกซ์ ไฮเดรต ต่อ ไททาเนียม ร่วมกับแสงในการทำปฏิกิริยาการสลายสี สามารถสลายสีได้ดีที่สุดเมื่อเทียบกับการใช้ $\text{CeO}_2/\text{TiO}_2$ ที่ อัตราส่วนอื่น ในเวลาที่เท่ากันคือ 180 นาที ซึ่งอ้างอิงจากการตรวจสอบความเข้มของสีโดยใช้เครื่อง UV-Visible spectrophotometer เมื่อเทียบในหน่วยความเข้มข้นพบว่า ที่อัตราส่วน 2 : 2 ของ ซีเรียม ในเตรต เอกซ์ ไฮเดรต ต่อ ไททาเนียม สามารถทำการสลายสีที่มีความเข้มข้นเริ่มต้นอยู่ที่ 3 ppm ให้เหลือเพียง 0.3599 ppm ในระยะเวลาที่ใช้ทำปฏิกิริยาเท่ากับ 180 นาที

5.5 ข้อเสนอแนะ

5.5.1 ทำการศึกษาเพิ่มเติมในส่วนของชนิดของสารลดแรงตึงผิวที่ใช้ในการเตรียม ไมโคร-อินลัชชัน

5.5.2 วิธีที่ใช้ในการสังเคราะห์ $\text{CeO}_2/\text{TiO}_2$ ที่แตกต่างไปจากวิธีในงานวิจัยนี้

เอกสารอ้างอิง

- [1] กุลยา ศิริวารีกุล. 2548. การย่อสลายสีข้อมูลเรื่องที่ 80 โดยใช้แสงและอนุภาคระดับนาโนของไกกานเนียมไดออกไซด์เป็นแคตเตลิสต์. มหาวิทยาลัยเทคโนโลยีพระจอมเกล้าธนบุรี.
- [2] คณะผู้จัดทำเคมี. 2526. เคมีทั่วไปเล่ม 1. กรุงเทพฯ: โรงพิมพ์จุฬาลงกรณ์มหาวิทยาลัย.
- [3] ชตุพร วิทยาคุณ และนุรักษ์ ฤทธิ์นุรักษ์. 2527. การเร่งปฏิกิริยา : พื้นฐานการประยุกต์. หน้า 63-88. กรุงเทพฯ: โรงพิมพ์มหาวิทยาลัยธรรมศาสตร์.
- [4] จันดา เงินสุทธิชัยพร และจิรวดี ศรีธารา. 2548. การสังเคราะห์อนุภาคระดับนาโนของไกกานเนียมไดออกไซด์จากไกกานนิล ขั้ลเฟดโดยใช้เทคนิคโซล - เอล. ปริญญาบัณฑิต สาขาวิชาเคมี มหาวิทยาลัยเทคโนโลยีพระจอมเกล้าธนบุรี.
- [5] ชฎาภา ขยายนานนท์. 2547. การผลิตและศึกษาสารดูดซับจากโซลเจลสำหรับการดูดซับสารระเหยอินทรีย์ (VOCs). วิทยานิพนธ์ปริญญาวิศวกรรมศาสตรบัณฑิต สาขาวิชา วิศวกรรมเคมี.
- [6] ชนิศร์ แก้วจรัส, สุทธาสินี เสกิยรุจิกานนท์ และพีรนุช อรุณคุณารักษ์. 2544. การใช้เชือเพลิงไฮโดรเจนจากการแยกน้ำด้วยไฟฟ้า. ปริญญาบัณฑิต ปริญญาวิศวกรรมศาสตรบัณฑิต สาขาวิชา วิศวกรรมเครื่องกล คณะวิศวกรรมศาสตร์ สถาบันเทคโนโลยีพระจอมเกล้าพระนครเหนือ.
- [7] ธรรมนูญ ศรีทะวงศ์. 2549. “พลังงานไฮโดรเจนจากน้ำด้วยแสงอาทิตย์และตัวเร่งปฏิกิริยา: ปฏิกิริยาแยกโมเลกุln้ำ” [Online]. เข้าถึง ได้จาก: <http://www.vchakarn.com>. (วันที่สืบ
กัน 29 กรกฎาคม 2551)
- [8] นคร ศิวรรรณวงศ์ วรรณานิรภัย แพร์ และรัฐยุฑ เชื้อวัฒนะ. 2547. การศึกษาการเตรียมนิกเกิล ขนาดนาโนแมตรด้วยวิธีไฮดรอยอนิกส์. วิทยานิพนธ์ปริญญาวิศวกรรมศาสตรบัณฑิต สาขาวิชา วิศวกรรมเคมี.
- [9] ประวิทย์ ตันจงนาวิน. 2540. เคมีแคตเตลิสต์. ม.ป.ก.. แผนกเอกสารการพิมพ์.
- [10] แม่น ออมรสถิท์ และอมร เพชรสุม. (2535). หลักการและเทคนิควิเคราะห์เชิงเครื่องมือ. กรุงเทพฯ: สำนักพิมพ์ชวนพิมพ์ ISBN 974-340-465-1.

- [11] วิทธินันท์ ศิริพงศ์. 2544. การนำบัดน้ำเสียจากสีข้อมูลด้วยกระบวนการฟอโตออกซิเดชันโดยใช้ “ไกกานเนียเป็นตัวเร่งปฏิกิริยา. วิทยานิพนธ์ปริญญาวิศวกรรมศาสตรบัณฑิต สาขาวิชา วิศวกรรมสิ่งแวดล้อม คณะวิศวกรรมศาสตร์ มหาวิทยาลัยเกษตรศาสตร์.
- [12] 2551. “น้ำ” [Online] เข้าถึงได้จาก: <http://th.wikipedia.org/wiki>. (วันที่สืบค้น 9 สิงหาคม 2551)
- [13] 2551. “ไฮโดรเจน” [Online] เข้าถึงได้จาก: <http://th.wikipedia.org/wiki>. (วันที่สืบค้น 9 สิงหาคม 2551)
- [14] A. Al – Kahlout. **Coloration mechanisms of sol – gel NiO – TiO₂ layers studied by EQCM.** Leibniz – Institut fur Neue Materialien Germany.
- [15] Labouriul, Earl. Catal. B: Env, 21 (2) (1997) 193.
- [16] Larry R. Taylor, Richard B. Papp and Bruce D. Pollard. 1994. **Instrumental Methods for Determining Elements.** pp.163-164, 176. VCH Publishers, Inc.,.
- [17] Niltharach, A. 2003. **Metal Oxides as Oxidative Catalysts for Catalytic Oxidation of Volatile Organic Chemical.** Master Degree Inorganic Chemistry, Science, Kasetsart University.
- [18] Tammanoon Sreeyhawong. n.d. **Quantifying influence of operational parameters on photocatalytic H₂ evolution over Pt-loaded nanocrystalline mesoporous TiO₂ prepared by single step sol – gel process with surfactant template.** Chulalongkorn University.
- [19] Voorhoeve R.J.H. 1997. **Advance Meterials in Catalysis.** ed. Burton J. Jand Garten R.L., Eds., Academic Press, New York. pp. 129 – 139
- [20] n.d. “Ceria-3D-ionic.png” [Online] A variable: [\(Retrieved December 13, 2007\)](http://en.wikipedia.org/wiki/Image)
- [21] n.d. “CMC (Carboxyl methyl cellulose)” [Online] A variable: [\(Retrieved December 5, 2007\)](http://www.ttceexpert.com)
- [22] n.d. “Gas Chromatography (GC)” [Online] A variable: [\(Retrieved May 30, 2007\)](http://www.ligandsci.com)



ภาคผนวก ก

ตัวอย่างการคำนวณขนาดผลึก

สมการข้างล่างนี้ เป็นสมการที่ใช้ในการคำนวณหาขนาดผลึกของอนุภาค $\text{CeO}_2/\text{TiO}_2$ ที่สังเคราะห์ได้

$$D = \frac{k\lambda}{\beta \cos \theta}$$

- เมื่อ D คือ ขนาดของอนุภาคในทิศทางที่ตั้งฉากกับระนาบที่เกิดจากการกระเจิงของรังสี
 k คือ ความยาวคลื่นของรังสีเอกซ์
 λ คือ ความกว้างของพิคเมค่าเป็นเรเดียน
 θ คือ มุมระหว่างรังสีเอกซ์กับระนาบที่เกิดการกระเจิงของรังสีเอกซ์
 β คือ ค่าคงที่ มักมีค่าเท่ากับ 1

ภาคผนวก ข

การวัดพื้นที่ผิวเฉลี่ยและขนาดครุพัธนของ $\text{CeO}_2/\text{TiO}_2$ โดย (Branuer-Emmett-Teller, BET)

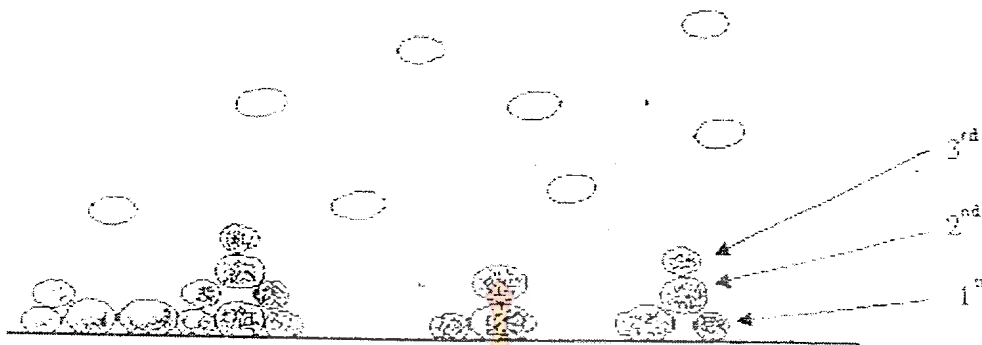
ในบทนี้จะกล่าวถึงการวิเคราะห์โครงสร้างโดย Branuer-Emmett-Teller ซึ่งเป็นเทคนิคการวิเคราะห์หาพื้นที่ผิว และขนาดครุพัธนเฉลี่ยของ $\text{CeO}_2/\text{TiO}_2$ ที่สังเคราะห์โดยใช้หลักการคูดซับของสาร

ข.1 การวัดพื้นที่ผิวและขนาดครุพัธนโดยใช้วิธี (BET) [8]

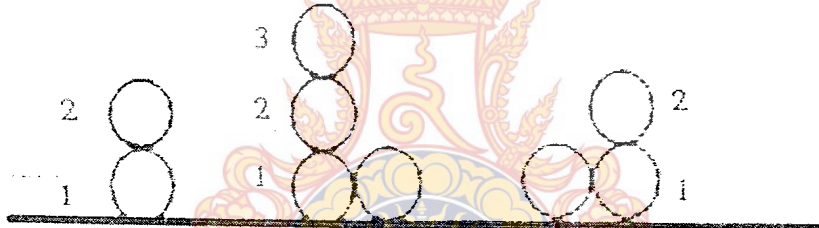
การวัดพื้นที่ผิว ขนาดครุพัธน การกระจายตัวของรูพัธน และการศึกษารูปร่างของรูพัธนเป็นขั้นตอนหนึ่งของการศึกษาการเร่งปฏิกิริยา เนื่องจากพื้นที่ผิวจะเป็นบริเวณที่ใช้wang องค์ประกอบกัมมันต์ที่จะช่วยให้เกิดปฏิกิริยา การวัดพื้นที่ผิวภายในของวัสดุที่มีความพรุนทำได้โดยการศึกษารูดซับของแก๊สในไตรเจน หรือแก๊สอินทีเม็กานาเดิก เช่น อาร์กอน โดยใช้ประโยชน์จากไอโซเทร์มของการคูดซับทางกายภาพ หรือวิธีบีอีที (BET ย่อมาจาก Branuer-Emmett-Teller Method) ที่อุณหภูมิของแก๊สเหลว (ในที่นี้เป็นอุณหภูมิของไนโตรเจนเหลวหรืออาร์กอนเหลว) ซึ่งขึ้นกับชนิดของตัวคูดซับ โดยจะหาจำนวนโมเลกุลที่ใช้เพื่อให้เกิดการคูดซับแบบชั้นเดียว ซึ่งจะทำให้สามารถคำนวณหาพื้นที่ผิวภายในได้ การคูดซับของแก๊สในไตรเจน ดังกราฟในรูปที่ ข.1 จะเกิดขึ้นเร็วในช่วงแรกโดยจะเพิ่มตามความดัน จนกระทั่งจุดเปลี่ยนแปลง (ตำแหน่ง B) ซึ่งเส้นกราฟจะราบแสดงถึงปรากฏการณ์ที่การคูดซับบนพื้นที่ผิวเป็นชั้นเดียว และเมื่อความดันย่อยของไนโตรเจนเพิ่มขึ้นจนเกิดจุดที่เป็นคูดซับแบบชั้นเดียว จะเกิดการควบแน่นของไนโตรเจนเหลวในรูพัธนทำให้ปริมาตรของการคูดซับเพิ่มขึ้นอย่างรวดเร็ว

ข.2 สมการของ Branuer-Emmett-Teller (BET) [8]

ในปี 1933 Branuer-Emmett-Teller ได้ศึกษาถูกต้องของการคูดซับต่อจาก Langmuir ในส่วนที่เกี่ยวกับการจัดเรียงโมเลกุลของสารคูดซับในชั้นที่สูงกว่า ทั้งนี้เพราะก่อนนั้นเขาได้หลักฐานจากการทดลองที่ยืนยันได้แน่ชัดว่า การคูดซับจะไม่เกิดขึ้นเพียงครั้งเดียวแต่จะมีการคูดซับในชั้นที่สองและชั้นที่สูงกว่าตามมาด้วย เสนอตามแนวคิดของ BET ถือว่าเมื่อระบบอยู่ในสมดุลที่ความดันย่อยในแต่ละฐานคูดซับบนพื้นที่ผิวจะมีโมเลกุลของสารถูกคูดซับจำนวนหนึ่งกลับตัวอยู่บนฐานคูดซับแต่ละฐานมากน้อยต่างกัน ดังแสดงในรูปที่ ข.1 และรูปที่ ข.2



รูปที่ ข.1 แบบจำลองการดูดซับโมเลกุลหลายชั้น [8]



รูปที่ ข.2 The BET model for adsorption [8]

จากข้อสมมติฐานทั้งหมดจะให้สมการดังต่อไปนี้

$$\frac{P}{V(P_0 - P)} = \frac{1}{V_m} + \frac{(C-1)P}{V_m CP_0} \quad \text{ข.1}$$

โดยที่ V คือ ปริมาตรของแก๊สที่ถูกดูดซับที่ความดัน P

V_m คือ ปริมาตรของแก๊สที่ถูกดูดซับเพื่อก่อเป็นแบบเดียว (Monolayer)

P_0 คือ ความดันไออันดับ (Saturation pressure) ของแก๊สที่อุณหภูมิคงต่อ

C คือ ค่าคงที่โดยมีความสัมพันธ์กับค่าความร้อนของการดูดซับ และค่าความร้อนของการกลายเป็นไอ

$$C = e^{(q_s - q_t)/RT}$$

ข.2

โดยที่ q_i คือ ความร้อนของการดูดซับของการเกิดขึ้นแรก

q_L คือ ค่าความร้อนของการกลایเป็นของเหลวของแก๊สที่มาดูดซับบนชั้นอื่นๆทั้งหมด

ถ้า $q_i > q_L$ จะสอดคล้องกับ adsorption isotherm ชนิดที่ 2 แต่ถ้า $q_i < q_L$ จะสอดคล้องกับ adsorption isotherm ชนิดที่ 3

จากสมการ เมื่อเขียนกราฟระหว่าง $P/V(P_0 - P)$ กับ P/P_0 จะให้กราฟเส้นตรงที่มีความชัน (slope) เท่ากับ $(C-1)/V_u C$ และสมการจุดตัด (intercept) เท่ากับ $1/V_u C$ จากค่าความชันและจุดตัดสามารถใช้หาค่า V_u และ C ได้ สมการของ BET สามารถใช้ได้กับการดูดซับจำนวนมากที่มีค่า P/P_0 อยู่ระหว่าง 0.05-0.30 และช่วงนี้ปกติจะใช้สำหรับวัดค่าพื้นที่ผิว เมื่อค่า P/P_0 เพิ่มสูงขึ้นจะเกิดการดูดซับแบบหลายชั้น (multilayer adsorption) และ pore condensation ทำให้เส้นกราฟไม่เป็นเส้นตรงที่ได้จากการพล็อตสมการของ BET จะเกิดที่ P/P_0 ต่ำมาก ประมาณ 0.01 หรือ น้อยกว่า

จากสมการ $V_u = 1/(S+1)$ เมื่อ S คือ ค่าความชันซึ่งมีค่าเท่ากับ $(C+1)/V_u C$ และ I คือ จุดตัดที่มีค่าเท่ากับ $1/V_u C$

$$S+1 = \frac{1}{V_u C} [(C-1)+1] = \frac{1}{V_u} \quad \text{ข.3}$$

ค่าพื้นที่ผิวของตัวเร่งปฏิกิริยาสามารถคำนวณได้จาก V_u ถ้ารู้พื้นที่โดยเฉลี่ยของโมเลกุลที่มาดูดซับ Inter vapor โดย ก็ตามที่สามารถความแน่น ได้ สามารถใช้วิธีของ BET แต่เพื่อให้ได้ผลการวัดที่น่าเชื่อถือ โมเลกุลควรจะเด็กและมีลักษณะเป็นทรงกลม จะใช้ในโตรเจนเหลวเป็นตัวให้ความเย็น และใช้แก๊สในโตรเจนเป็นตัวถูกดูดซับเนื่องจากมีราคาถูกและมีความบริสุทธิ์ ในโตรเจนจะให้ดักจับ adsorption isotherm ชนิดที่ 2 บนผิวน้ำทั้งหมด

ความดันไอยိอยของแก๊สในโตรเจนมีค่าอยู่ในช่วงประมาณ 10-100 kPa เพื่อให้ได้ค่า P/P_0 อยู่ในช่วงประมาณ 0.5-0.3

ภาคผนวก ก

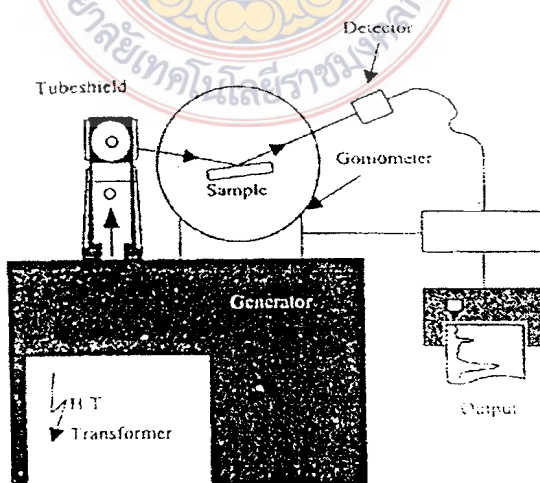
การหาโครงสร้างของ $\text{CeO}_2/\text{TiO}_2$ โดยเอกซ์ – เรย์ดิฟแฟร์กชันสเปกโกรสโกปี

(X – Ray Diffraction Spectroscopy, XRD) [10]

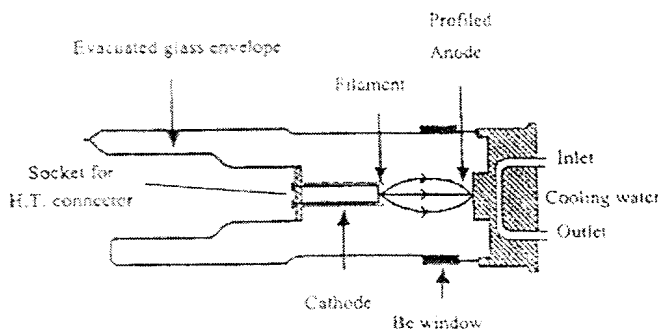
เอกซ์-เรย์ ดิฟแฟร์กชันเป็นเครื่องมือวิเคราะห์วัสดุชนิดการวิเคราะห์แบบไม่ทำลาย (non-destruction analysis) เพื่อศึกษาเกี่ยวกับโครงสร้างของผลึก การจัดเรียงตัวของอะตอมภายในโมเลกุล ของสารประกอบต่างๆ ทั้งในเชิงคุณภาพ และเชิงปริมาณ โดยอาศัยหลักการเลี้ยวเบนและการกระเจิง ของรังสีเอกซ์และความรู้เกี่ยวกับระบบโครงสร้างผลึก

รังสีเอกซ์ (X-Ray) นั้นจัดเป็นคลื่นแม่เหล็กไฟฟ้าซึ่งมีอำนาจทะลุทะลวงสูง และมีความยาวคลื่นสั้นอยู่ในช่วง 0.1 ถึง 10 นาโนเมตร ซึ่งการเกิดอันตรายร้ายของรังสีเอกซ์กับสารนั้นจะก่อให้เกิดปรากฏการ์ต่างๆ เช่น เกิดการเปล่งแสง (emission) การดูดคลื่น (adsorption) การกระเจิงแสง (scattering) หรือการเลี้ยวเบน (diffraction) เป็นต้นซึ่งปรากฏการณ์เหล่านี้ล้วนเป็นลักษณะเฉพาะตัวของสารแต่ละชนิดซึ่งหลักการดังกล่าวนำไปทำให้เราสามารถนำมาใช้วิเคราะห์สารได้ดังนี้คือ

1. ใช้วิเคราะห์ทางค์ประกอบของธาตุต่างๆ ทั้งในเชิงคุณภาพและเชิงปริมาณ
2. ใช้ศึกษาหาโครงสร้างอิเล็กทรอนิกส์ (electronic structure) ซึ่งสามารถให้ข้อมูลเกี่ยวกับการเกิดพันธะเคมีได้
3. ใช้ศึกษาเกี่ยวกับโครงสร้างผลึก (crystal struture) หรือโมเลกุลของสารด้วยการใช้เทคนิคการเลี้ยวเบนของรังสีเอกซ์



รูปที่ ก.1 หลักการทำงานของเครื่องเอกซ์เรย์ดิฟแฟร์กชัน (Diffraction Spectroscopy, XRD) [10]

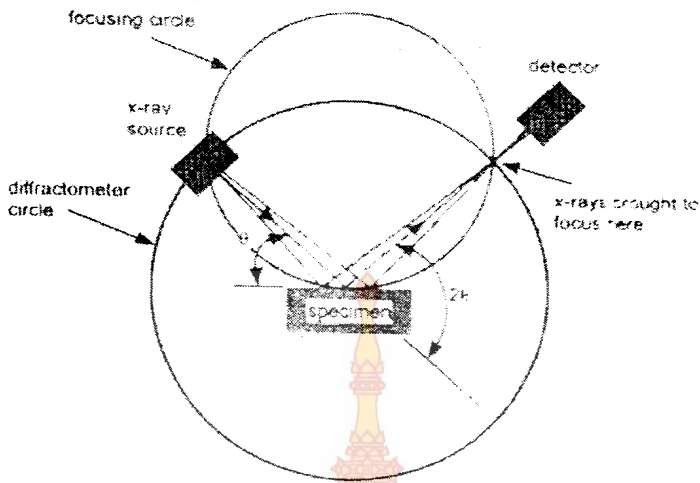


รูปที่ ก.2 ส่วนประกอบของหลอดผลิตรังสีเอกซ์ [10]

หลักการทำงานของเครื่องเอกซ์เรย์ดิฟแฟร์กชันนั้น เริ่มจากหม้อแปลงไฟฟ้าแรงดันสูง (high-tension transformer) ทำหน้าที่ปล่อยกระแสไฟฟ้าเข้าไปยังขั้วแคโทดทำให้ไส้หลอดเกิดการร้อนขึ้น อิเล็กตรอนจะไปจับกันหนาแน่นที่บริเวณไส้หลอด ส่งผลให้เกิดความต่างศักย์ที่บริเวณระหว่างขั้ว แคโทดกับขั้วแອโนดสูง ทำให้อิเล็กตรอนวิ่งไปชนเป้า (target) ที่ขั้วแອโนด เกิดการปล่อยรังสีเอกซ์ ออกมานั่นเอง โดยที่รังสีเอกซ์นี้จะผ่านออกมาทางหน้าต่างที่ทำด้วยเบอริเลียม (Be window) ส่วนของหลอดรังสีเอกซ์นี้มีหลายแบบเรียกว่าตามชนิดของโลหะที่ใช้ทำขั้วแອโนด เช่น Mo W Cr Cu Co Ag Fe ซึ่งจะให้รังสีเอกซ์ที่มีความยาวคลื่นต่างๆ กันไป ดังนั้นจึงควรเลือกใช้ให้เหมาะสมกับสารที่ต้องการวิเคราะห์

โดยทั่วไปแล้วนิยมใช้ขั้วแອโนดที่ทำมาจาก Cu ซึ่งให้ค่าความยาวคลื่น 1.542 อังสตروم หลังจากที่รังสีเอกซ์ได้ผ่านหน้าต่างออกมาระหว่างจังหวะนี้จะถูกบีบให้กระแทกเคลื่อน โดยใช้ไนโตรเจนสีฟ้า ของรังสีเอกซ์ที่ผ่านไนโตรเจนสีฟ้าจะถูกสะท้อนกลับมาตัวอย่างซึ่งติดไว้กับแกนgoniometer (goniometer) รังสีที่สะท้อนออกมายังตัวอย่างจะผ่านไปยังรีซิฟวิ่งสีฟ้าและเข้าไปยังหน่วยรับสัญญาณเพื่อแปลงสัญญาณออกมายังรูปดิฟแฟร์กโตแกรม (diffractogram) แสดงความสัมพันธ์ระหว่างมุม 2θ ซึ่งเกิดจากการกระเจิงของรังสีเอกซ์กับค่าความเข้มของรังสี

- Basics



รูปที่ ค.3 ลักษณะของมุมที่รังสีเอกซ์ตกลกระแทบและเกิดการกระเจิงแสง [10]



ภาคผนวก ง

การศึกษาลักษณะทางกายภาพด้วยกล้องจุลทรรศน์อิเล็กตรอนแบบส่องกราด (Scanning Electron Microscope, SEM)

ในบทนี้จะกล่าวถึงส่วนประกอบการทำงานของเครื่อง และการเตรียมชิ้นงานก่อนทำการวิเคราะห์

4.1 กล้องจุลทรรศน์อิเล็กตรอนแบบส่องกราด [3]

รูปที่ ง.1 แสดงส่วนประกอบของกล้องจุลทรรศน์อิเล็กตรอนแบบส่องกราด (Scanning-Electron Microscope, SEM) เครื่องมีส่วนประกอบอยู่ในท่อสัญญาณ โดยหน้าที่ส่วนประกอบแต่ละอันมีรายละเอียดดังนี้

1. เป็นแหล่งกำเนิดอิเล็กตรอนแบบปืนอิเล็กตรอน (Electron gun) โดยทั่วไปใช้ขดลวดหั้งสเตน อิเล็กตรอนที่ใช้ในกล้องจุลทรรศน์อิเล็กตรอนแบบส่องกราดคือ อิเล็กตรอนที่กระเจิงกลับ และอิเล็กตรอนทุติยภูมิ

2. เลนส์รวมแสง (Condenser lens) ทำหน้าที่บังคับให้ลำอิเล็กตรอนให้มีขนาดและความเข้มข้นเหมาะสมกับตัวอย่าง เพื่อให้ภาพที่ชัดที่สุดที่กำลังขยายที่ต้องการ การลดขนาดของลำอิเล็กตรอนจะช่วยเพิ่มกำลังขนาดของกำลังขยาย

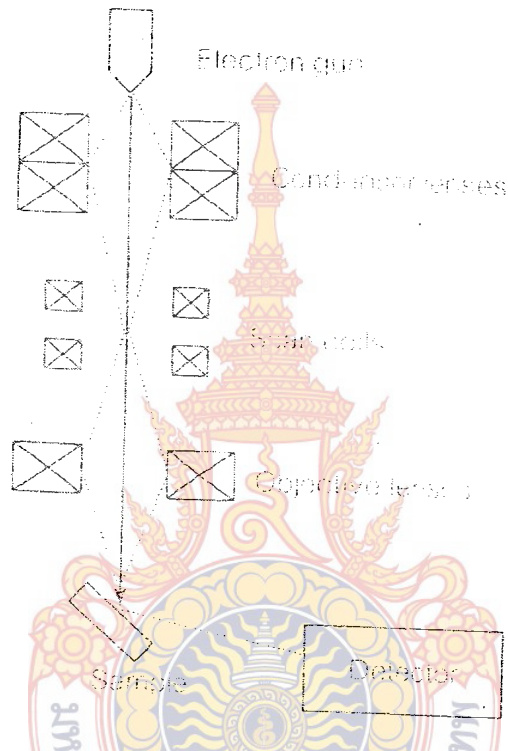
3. ขดลวดสำหรับการส่องกราด (Scanning coil) ทำหน้าที่บังคับให้ลำอิเล็กตรอนเคลื่อนในแนวอน และแกนตั้งบนระนาบของตัวอย่างที่เป็นพื้นที่สี่เหลี่ยมผืนผ้า

4. เลนส์ใกล้วัตถุ (Objective lens) เป็นเลนส์อิเล็กตรอนที่ทำให้เกิดภาพขึ้นต้น อาศัยอำนาจ สนามไฟฟ้าและสนามแม่เหล็ก สามารถปรับเปลี่ยนกำลังขยายและความคมชัดของภาพได้ โดยการปรับปริมาณกระแสไฟฟ้าในขดลวดแม่เหล็กไฟฟ้า เพื่อให้เกิดการเปลี่ยนแปลงความหนาแน่นของเดินเรียงแม่เหล็ก

5. ตัวตรวจวัดอิเล็กตรอน (Detector) ตัวเปลี่ยนสัญญาณอิเล็กตรอนให้เป็นสัญญาณไฟฟ้า หรือสัญญาณภาพ โดยจะเก็บสัญญาณภาพแต่ละจุดจากปลายอิเล็กตรอน ปรากฏเป็นภาพบนจอภาพ

การทำงานของ SEM เริ่มจากการผ่านลำอิเล็กตรอนปฐมภูมิที่มีขนาดแคบไปบนผิวน้ำตัวอย่าง แล้ววัดอิเล็กตรอนทุติยภูมิหรืออิเล็กตรอนที่กระเจิงแสงกลับเทียบกับตำแหน่งของอิเล็กตรอนปฐมภูมิ ตำแหน่งของตัวอย่างจะทำให้เกิดคอนแทรส กล่าวคือส่วนของผิวน้ำที่หันไป

ทางด้าน ตรวจวัด จะส่วนกว่าส่วนของผิวน้ำซึ่งอยู่ตรงข้ามกับตัวตรวจวัด อิเล็กตรอนทุกดิบภูมิที่ออกมากจากส่วนของผิวน้ำมักจะมีค่าพลังงานต่ำ (ประมาณ 5-50 eV) อิเล็กตรอนที่กระเจิงกลับจากส่วนที่ลึกจากผิวน้ำจะให้ข้อมูลเกี่ยวกับลักษณะผิวน้ำและลักษณะของตัวอย่าง เนื่องจากธาตุหนักจะทำให้เกิดการกระเจิงได้ดีกว่า จึงปรากฏเป็นภาพที่ส่วนกว่า



รูปที่ ๑.๑ องค์ประกอบกล้องจุลทรรศน์อิเล็กตรอนแบบส่องกราด (SEM) [3]

๑.2 การเตรียมตัวอย่าง

ในการวิเคราะห์และการใช้เครื่อง SEM เพื่อให้ได้ภาพที่ดีนั้นนอกจากจะเขียนกับประสิทธิภาพหรือความสามารถของเครื่องแล้ว ยังเขียนกับชนิดของตัวอย่างและเทคนิคการเตรียมตัวอย่างที่เหมาะสมด้วย สิ่งที่ควรคำนึงถึงในการเตรียมตัวอย่างโดยเครื่อง SEM มีรายละเอียดโดยสังเขป ดังนี้

๑.2.1 ประเภทตัวอย่าง

เป็นวัสดุตัวอย่างหรือผงวัสดุตัวอย่างที่เป็นของแข็งมีความคันต่ำกว่า 1 หรือเท่ากับ 10^{-3} โทรร์

๔.2.2 ขนาด

ขนาดของตัวอย่างถูกจำกัดโดยขนาดของช่องใส่ตัวอย่างและแท่นวางตัวอย่าง ของเครื่อง SEM ซึ่งแตกต่างกันแล้วแต่ละบริษัทและรุ่นที่ผลิต โดยในบางรุ่นอาจวางตัวอย่างขนาดใหญ่ได้ประมาณ 15 ถึง 30 cm อย่างไรก็ตามข้อบ่งบอกของการส่องการดูดอากาศจากตัวอย่างที่ไม่เกิน 4 ถึง 8 cm

๔.2.3 การเตรียมตัวอย่าง

๔.2.3.1 การเตรียมตัวอย่างบนแท่นวางตัวอย่าง

กรณีตัวอย่างเป็นชิ้นงาน ก่อนนำเข้าศึกษาในเครื่องต้องทำการตัดชิ้นงานเข้ากับก้านวางตัวอย่างซึ่งส่วนใหญ่ทำด้วยโลหะมีลักษณะเป็นรูปทรงกลมมีก้านที่มีขนาดเส้นผ่านศูนย์กลางและความสูงเหมาะสมไม่ได้พอดีกับช่องว่างในฐาน วางตัวอย่างและใช้สารยึดติดตัวอย่างเข้ากับก้านวางตัวอย่าง วิธีการทำโดยการทาหรือติดสารยึดติดตัวอย่างลงบนแผ่นหน้าของก้านวางตัวอย่างและติดตัวอย่างด้านที่ไม่ต้องการศึกษาลงบนแผ่นหน้าก้านวางตัวอย่าง ทึ่งให้ติดสนิทหรือแห้งคีโรเบนนิ่ง ในกรณีตัวอย่างไม่นำไฟฟ้า ต้องนำตัวอย่างนั้นไปผ่านขั้นตอนการจานด้วยโลหะ ก่อนนำไปศึกษา

กรณีตัวอย่างเป็นผงมักใช้สารยึดติดตัวอย่างจำพวกที่เป็นเทปกาวสองหน้า ติดด้านบนของก้านวางตัวอย่างและรอยผงตัวอย่างให้กระจายลงบนด้านหน้าของก้านวาง จากนั้นใช้ลมยางเป่าทำการปัดฝุ่นและเศษของผงตัวอย่างที่ไม่ยึดติดบนก้านวาง จากนั้นจึงนำเข้าเครื่อง SEM เพื่อทำการศึกษาต่อไป หรือทำการจานผิวด้วยโลหะ ในกรณีตัวอย่างไม่นำไฟฟ้า

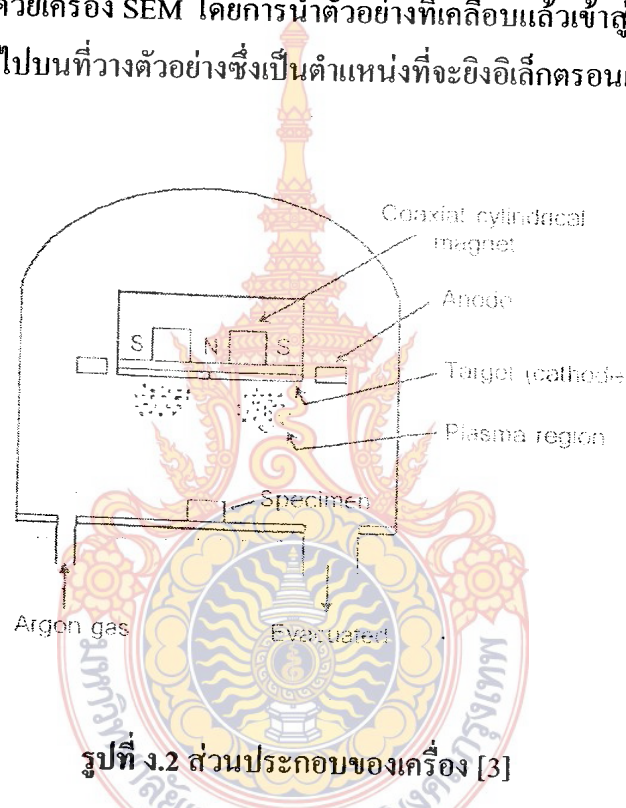
๔.2.3.2 การเคลือบผิวชิ้นงาน (Coating)

ในการเคลือบผิวหรือจานชิ้นงานตัวอย่างนิยมใช้สารตัวนำไฟฟ้าจำพวกโลหะหนักที่มีโมเลกุลขนาดเล็ก เช่น คาร์บอน ทอง และโลหะผสมทอง-พัลลาเดียม เป็นต้น โดยมีขุคประสงค์เพื่อเพิ่มสมบัติในการนำไฟฟ้าให้กับตัวอย่าง ทั้งนี้หลักการเบื้องต้นของการจานผิวคือ ต้องกระทำภายใต้ภาวะสุญญากาศและกระแสไฟฟ้าที่เหมาะสม เพื่อให้โลหะหนักเปลี่ยนสภาพจากแท่นโลหะมาเป็นโมเลกุล และตกลงบนผิwtัวอย่างในอัตราส่วนเดียวกัน ทำให้โลหะจานผิwtัวอย่างได้เป็นเนื้อเดียวกัน

ตัวอย่างที่ใช้ในการวิเคราะห์ต้องเป็นตัวอย่างที่นำไฟฟ้าได้ เนื่องจากต้องส่องการดูดตัวอย่างด้วยอิเล็กตรอน และต้องทำให้แห้งด้วยการอบไถ่ความชื้น เนื่องจากความชื้นในตัวอย่างอาจระเหยออกมากเมื่อนำเข้าสู่ระบบสุญญากาศของเครื่อง ถ้าตัวอย่างไม่นำไฟฟ้าต้องนำมาเคลือบเพื่อให้นำไฟฟ้าตัวอย่างที่ไม่นำไฟฟ้า เช่น ตัวอย่างชีวภาพ (แมลง พืช เนื้อเยื่อ) ต้องเคลือบเพื่อให้นำไฟฟ้า การเคลือบ

จะช่วยลดการสะสมของประจุ (Charge-up) และเพิ่มปริมาณของอิเล็กตรอนทุติยภูมิได้ดี กล่าวคือมีค่า พลังงาน ไอโอดินาเซ็นต์ แอลฟ์จุดหลอมเหลวสูง โดยมักใช้ทองเป็นโลหะเคลือบ เทคนิคที่นิยมใช้ ได้แก่ การสปั๊ตเตอร์ (Sputtering) ซึ่งแผนภาพของเครื่องสปั๊ตเตอร์ แสดงไว้ในรูปที่ จ.2 การสปั๊ตเตอร์ ต้องทำในระบบสุญญากาศซึ่งต้องต่อ กับปืนสุญญากาศ โดยแทนที่อากาศด้วยแก๊ส惰性 惰性 และดูดออก หลายครั้ง ก่อนทำการสปั๊ตเตอร์โดยให้ทองเป็นแคโทดหรือเป้า ทำให้ผิวน้ำของตัวอย่างถูกเคลือบ บางๆ ด้วยทอง ความหนาประมาณ 7.5-3.0 nm

การวิเคราะห์ด้วยเครื่อง SEM โดยการนำตัวอย่างที่เคลือบแล้วเข้าสู่ตัวเครื่องและดูดอากาศ ออกก่อนที่จะเคลื่อนเข้าไปบนที่วางตัวอย่างซึ่งเป็นตำแหน่งที่จะยิงอิเล็กตรอนเพื่อทำการวิเคราะห์



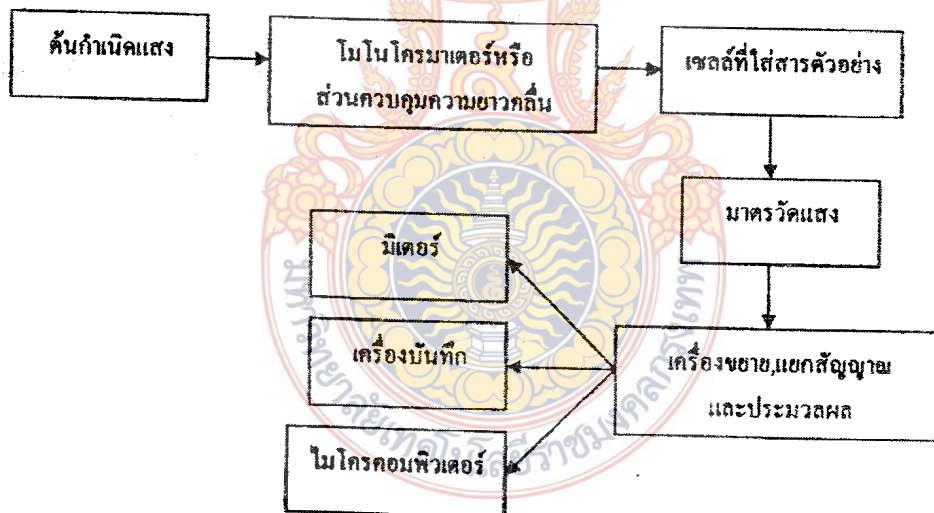
รูปที่ จ.2 ส่วนประกอบของเครื่อง [3]

ภาคผนวก จ

การทดสอบประสิทธิภาพการสลายสารเคมีสีใน บลู ด้วยเครื่องยูวี-วิสิเบิล สเปกโตรโฟโตมิเตอร์ (UV-Vissible spectrophotometer) [11]

การคุณค่าลินคลินแสงหรือรังสีที่อยู่ในช่วงอัลตราไวโอเลตและวิสิเบิล ซึ่งอยู่ในช่วงความยาวคลื่นประมาณ 190-700 nm ของสารเคมีนี้ ส่วนใหญ่ ได้แก่ พากสารอินทรีย์ (Organic compound) สารประกอบเชิงซ้อน (Complex compound) หรือสารอนินทรีย์ (Inorganic compound) ทั้งที่มีสีและไม่มีสี สมบัติของสารดังกล่าว ได้นำมาใช้เป็นวิธีวิเคราะห์ทั้งในเชิงคุณภาพและเชิงปริมาณอย่างกว้างขวาง เพราะวิธีนี้ให้ความถูกต้องแม่นยำดีและมีสภาพไวสูง

เครื่องยูวี-วิสิเบิล สเปกโตร โฟโตมิเตอร์ โดยทั่วไปจะประกอบไปด้วยส่วนต่างๆ ดังรูปที่ จ.1



รูปที่ จ.1 องค์ประกอบของเครื่องสเปกโตรมิเตอร์ [11]

ขั้นตอนต่างๆ ของการวิเคราะห์โดยใช้เทคนิคยูวี-วิสิเบิล สเปกโตร โฟโตมิตริก่อนที่จะทำการวิเคราะห์สารตัวอย่างทั้งทางคุณภาพและทางปริมาณวิเคราะห์ ควรจะได้ศึกษาหาสภาวะที่เหมาะสมต่างๆ เสียก่อน ที่สำคัญคือ

1. ศึกษาการเตรียมสารตัวอย่าง โดยเลือกตัวทำละลายให้เหมาะสม
2. เลือกใช้สภาวะของเครื่องมือให้ถูกต้อง

3. ศึกษาสเปกตรัมการดูดกลืนแสงโดยใช้สแกนค่าการดูดกลืนคลื่นแสงกับความยาวคลื่นจากสเปกตรัมจะทำให้ทราบว่าควรเลือกความยาวคลื่นสูงสุด (λ_{max}) ที่ความยาวคลื่นที่เท่าใด
4. การศึกษาตัวแปรต่างๆ ที่ทำให้ค่าดูดกลืนแสงเปลี่ยนแปลงได้
 - 1) ตัวทำละลาย
 - 2) pH ของสารละลาย
 - 3) สารรบกวนมีหรือไม่ ถ้ามีต้องหาวิธีแก้ไขหรือทำให้หมดไปเสียก่อน
 - 4) ในกรณีที่ใช้วิธีทำให้สารประกอบเชิงซ้อน ควรศึกษาความเสถียรของสารประกอบเชิงซ้อนเสียก่อน
 - 5) ถ้าทำการวิเคราะห์หาปริมาณ จะต้องเตรียมสารละลายน้ำมาตรฐานในช่วงความเข้มข้นที่เหมาะสมที่เป็นไปตามกฎของเบียร์ เมื่อทำการฟอกมาตรฐานก็จะหาปริมาณของสารตัวอย่างได้

$$A = \varepsilon bc = \log P/P_0$$

เมื่อ A = แอบซอร์บอร์ (Adsorbance)

ε = โมลาร์แอบซอร์พติวิตี้ (Molar absorptivity)

b = ความกว้างของเซลล์ (cm)

c = ความเข้มข้น (mol/L)

P = Radiant power ที่ผ่านออกมามีฉาบแสงผ่านสารละลาย

P_0 = Radiant power ที่ผ่านออกมามีฉาบแสงผ่าน Blank

ถ้าความเข้มข้นเป็น g/L หรือหน่วยอื่น ให้เปลี่ยนเป็น

$$A = abc$$

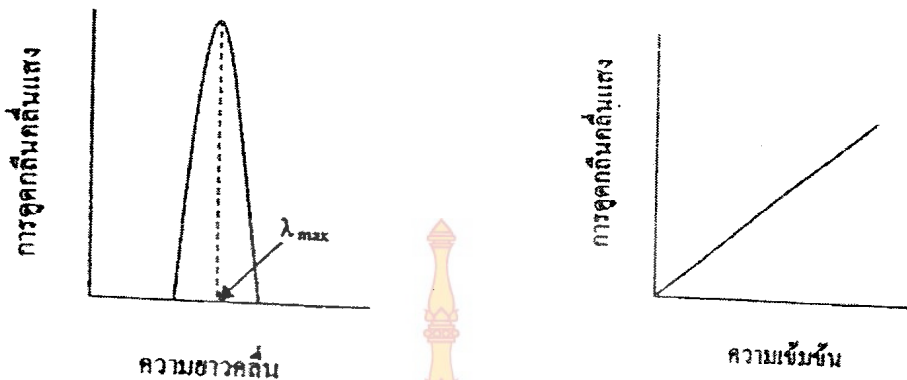
a = แอบซอร์พติวิตี้ (Absorptivity)

ทั้ง ε และ a เป็นค่าคงที่ ซึ่งขึ้นอยู่กับชนิดของสารและความยาวคลื่น

สมการนี้เรียกว่า กฎของเบียร์ (Beer's law) หรือกฎของเบียร์และแลมเบิร์ต (Beer and Lambert's law) ซึ่งอาจกล่าวสั้นๆ ได้ว่า “ค่าการดูดกลืนแสงของสารละลายจะเป็นปฏิภาคโดยตรงกับความเข้มข้น” โดยแสงที่ใช้จะต้องเป็น Monochromatic radiation และสารละลายที่จะนำไปวัดต้องเป็นเนื้อเดียวกันและเป็นสารละลายเจือจาง

การวิเคราะห์หาปริมาณของสารด้วยการใช้เทคนิคยูวี-วีสิบิลสเปกโทรัสโคปี ในกรณีที่สารตัวอย่างมีสารที่จะวิเคราะห์เพียงสารเดียวอาจใช้วิธีการทำกราฟมาตรฐาน โดยเตรียมสารละลายมาตรฐานที่ความเข้มข้นต่างๆ กัน แล้วนำไปวัดค่าการดูดกลืนแสงที่ความยาวคลื่นสูงสุด (λ_{max})

โดยเทียบกับ Blank นำผลที่ได้มาเขียนกราฟระหว่างค่าการดูดกลืนแสงกับความเข้มข้นจะได้กราฟเส้นตรงดังรูปที่ จ.2 และ จ.3



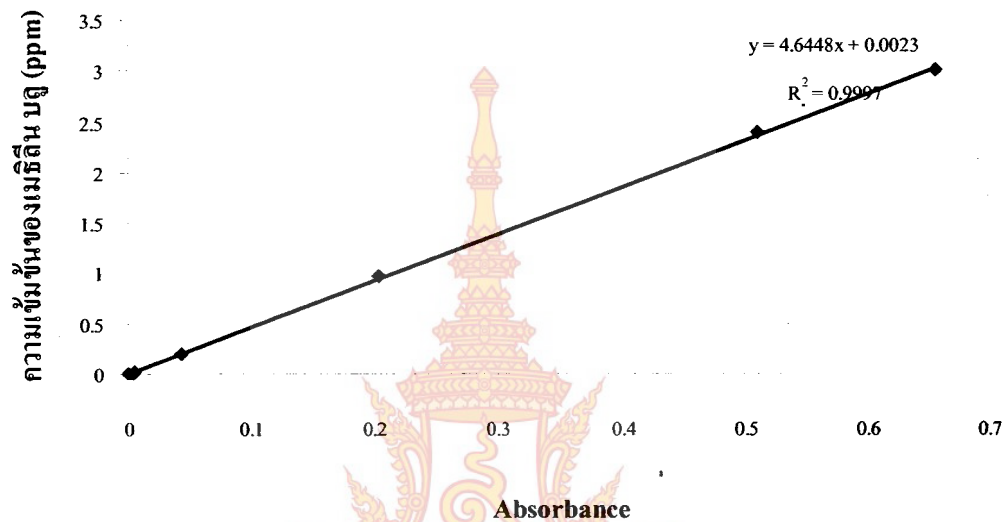
รูปที่ จ.2 สเปกตรัมของสารตัวอย่าง [11]

รูปที่ จ.3 กราฟมาตรฐานทั่วไปสำหรับการวิเคราะห์หาปริมาณสาร โดยใช้สเปกโตรสโคปี [11]



ภาคผนวก ฉ

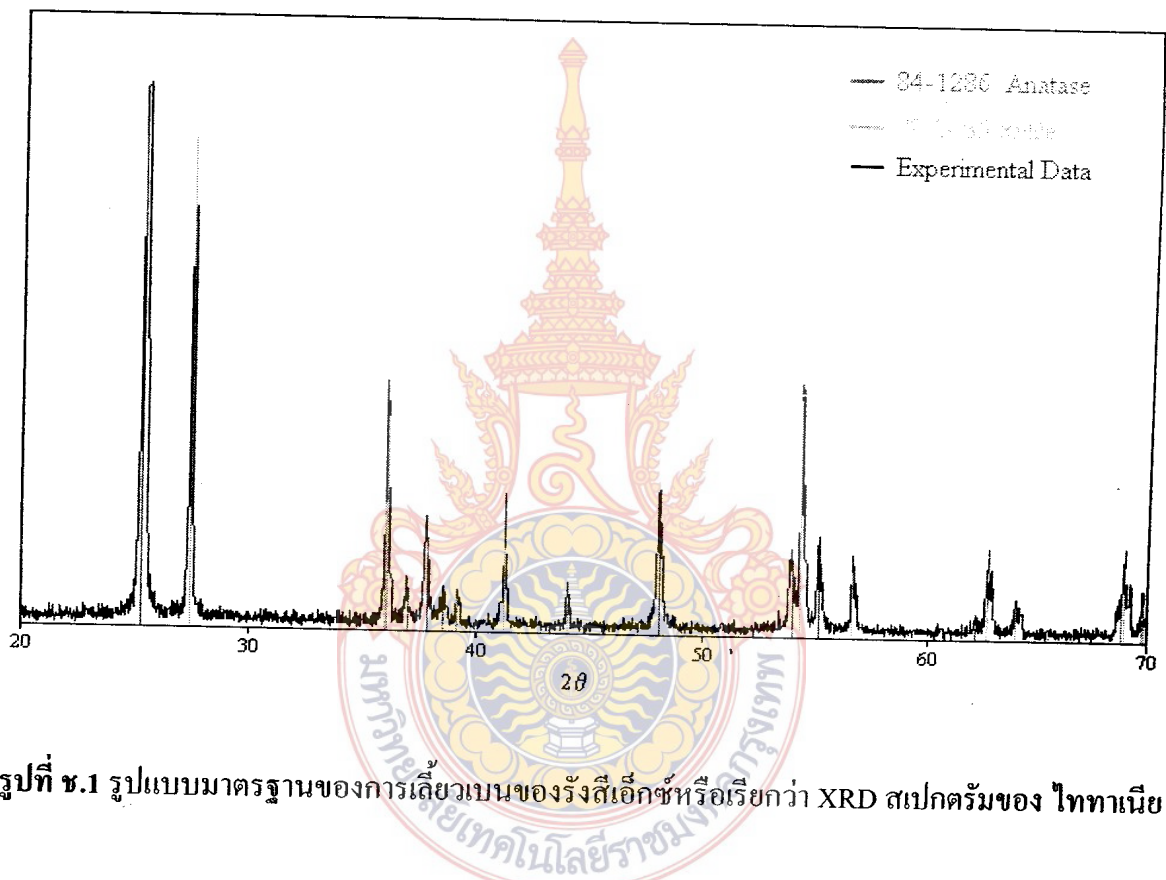
กราฟมาตราฐานความเข้มข้นของเมธิลีน บลู ที่ใช้ทดสอบประสิทธิภาพการสลายสีด้วย $\text{CeO}_2/\text{TiO}_2$



รูปที่ ฉ.1 ค่าการคุณค่าแสงของสารละลายเมธิลีน บลู ที่แต่ละความเข้มข้น (ppm)

ภาคผนวก ช

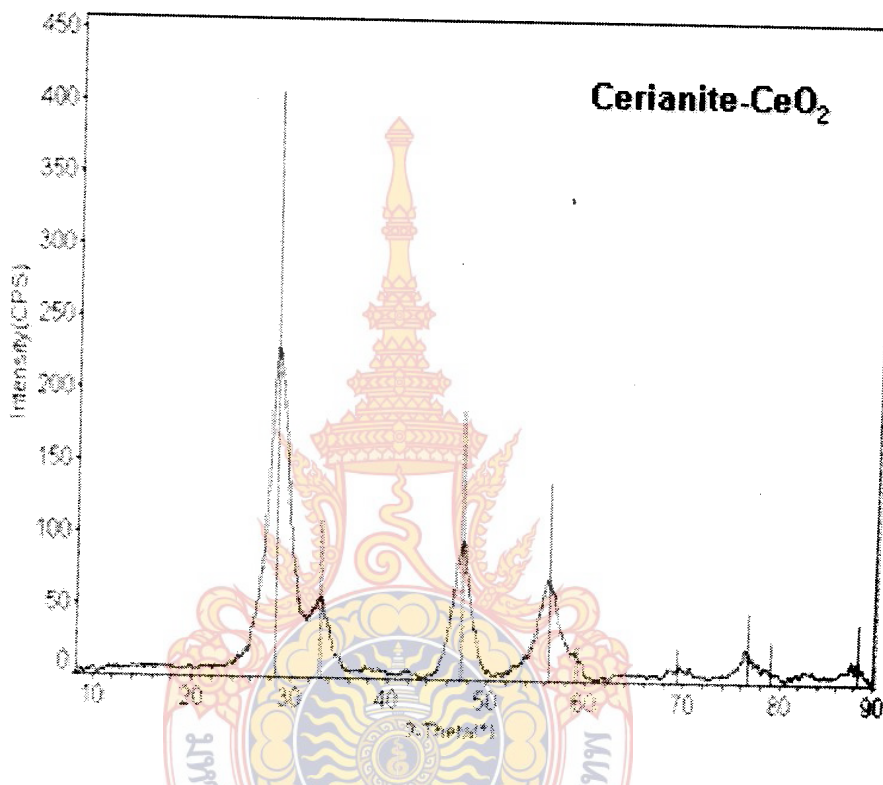
กราฟมาตราฐาน X – Ray Diffraction Spectroscopy (XRD) ของ TiO_2 (ไทยานเนี่ย)



รูปที่ ช.1 รูปแบบมาตรฐานของการเลี้ยวเบนของรังสีเอ็กซ์หรือเรียกว่า XRD スペクトรัมของ ไกทานเนี่ย

ภาคผนวก ฯ

กราฟนำครรูด X – Ray Diffraction Spectroscopy (XRD) ของ CeO₂ (ชีเรีย)



รูปที่ ๗.๑ กราฟนำครรูด XRD ของชีเรีย

ประวัตินักวิจัย

หัวหน้าโครงการวิจัย

1. ชื่อ นายชัชวาลย์ สุขมั่น

Mr. Chatchawan Sookman

2. หมายเลขบัตรประจำตัวประชาชน 3 73020 06040 21

3. ตำแหน่งปัจจุบัน อาจารย์ ระดับ 5

4. หน่วยงานที่อยู่ที่สามารถติดต่อได้สะดวก พร้อมหมายเลขโทรศัพท์ โทรสาร และ e-mail
สาขาวิชาวิศวกรรมเคมี คณะวิศวกรรมศาสตร์ มหาวิทยาลัยเทคโนโลยีราชมงคลกรุงเทพ
โทรศัพท์ 0 2286 3991 – 5 ต่อ 9734, 1210, 1201 โทรสาร 0 2286 3991 – 5 ต่อ 9734
e-mail : csookman@yahoo.com

5. ประวัติการศึกษา

ปีที่จบการศึกษา	ระดับ	อักษรย่อ	สาขาวิชา	วิชาเอก	ชื่อสถาบัน	ประเทศ
2543	ไทย	วศ.ม.	วิศวกรรมศาสตร์ มหาบัณฑิต	วิศวกรรม เคมี	มหาวิทยาลัย เทคโนโลยี พระจอมเกล้า ชนบุรี	ไทย
2540	ตรี	วท.บ.	วิทยาศาสตรบัณฑิต	เคมี	มหาวิทยาลัย นเรศวร	ไทย

6. สาขาวิชาการที่มีความชำนาญพิเศษ (แตกต่างจากวุฒิการศึกษา) ระบุสาขาวิชาการ
การสังเคราะห์เยื่อแผ่นเซรามิก เทคโนโลยีเยื่อแผ่น การสังเคราะห์ตัวเร่งปฏิกิริยา

7. ประสบการณ์ที่เกี่ยวข้องกับการบริหารงานวิจัยทั้งภายในและภายนอกประเทศโดยระบุ
สถานภาพในการทำวิจัยว่าเป็นผู้อำนวยการแผนงานวิจัย หัวหน้าโครงการวิจัย หรือผู้ร่วมวิจัย
ในแต่ละข้อเสนอการวิจัย

7.1 ผู้อำนวยการแผนงานวิจัย : ชื่อแผนงานวิจัย

7.2 หัวหน้าโครงการวิจัย : ชื่อโครงการวิจัย

หัวหน้าโครงการวิจัย: ผลงานอุณหภูมิต่อปฏิกิริยาการสะเทินน้ำเสียงรดด้วยเปลือกไข่ในฟลูอิดไดซ์เบดแบบท่อสองชั้น

หัวหน้าโครงการวิจัย: ผลงานอุณหภูมิต่อปฏิกิริยาการสะเทินน้ำเสียงรดด้วยเปลือกหอยในฟลูอิดไดซ์เบดแบบท่อสองชั้น

หัวหน้าโครงการวิจัย: กระบวนการผลิตไส้โครง Jen เพื่อใช้ในเซลล์เชื้อเพลิงจากปฏิกิริยาการแตกตัวของน้ำโดยตัวร่างปฏิกิริยาแบบใช้แสง

7.3 งานวิจัยที่ทำเสร็จแล้ว : ชื่อผลงานวิจัย ปีที่พิมพ์ การเผยแพร่ และแหล่งทุน (อาจมากกว่า 1 เรื่อง)

ผลงานวิจัย

การสังเคราะห์ตัวร่างปฏิกิริยาโลหะออกไซด์ด้วยวิธีโซล-เจลเพื่อเคลือบบนเยื่อแพนอะลูมินาสำหรับสังเคราะห์สารประกอบโอลีฟิน (Synthesis of metal oxide catalysts by sol-gel method coated on alumina membrane for olefin synthesis) งบประมาณผลประ ใบอนุญาต ปี 2548

วารสารนานาชาติ (International journal)

C. Sookman and P. Kongkachuiychay, "Effect of Base Type on Properties of NiO Synthesized by Sol-Gel Method", *Adv. In Tech. of Mat. And Mat. Proc. J.*, **8[1]** (2006) 73-76.

การสัมมนาระดับภูมิภาคและนานาชาติ (International®ion conference)

The Influence of Base Type on the Characterization of a Nickel Oxide Catalyst Formed by a Sol-Gel Technique, *Proceedings of the International Conference on Recent Advances in mechanical & Materials Engineering*, 30-31 May 2005, Malaysia.

The Effect of Calcined Temperature on the Property of Nickel Oxide Catalyst Synthesized by Sol-Gel Method, *Proceeding of the 3rd EMSES International Symposium on Eco-Energy and Material Science and Engineering*, 6-9 April 2005, Chiang-Mai.

Non-Hydrothermal Synthesis Mesoporous Silica from Rice Husk Ash, *International conference on recent Advances in Mechanical & Material Engineering*, 30-31 May 2005, Kualalumpur, Malaysia.

Synthesis of Mesoporous Silica from Rice Husk Ask, *3rd International Conference on Materials for Advance Technology*, 3-8 July 2005, Singapore.

Synthesis of Nanoporous Silica from Natural Resources, *The 3rd Workshop on Regional Network Formation for Enhancing Research and Education*, 7-10 August 2005, Penang, Malaysia.

Samart C., W. Srichaisirivech and C. Sookman (2007) *Nanoporous Silica and Its Application in Drug Delivery*. The 1st Thailand nanotechnology conference. 14-16 August, Chiang Mai, Thailand.

Sookman C. and Samart C.(2007) *Increasing Surface Area of Synthesized Titania Particle Using CMC*. German-Thai Symposium on Nanoscience and Nanotechnology. 27-28 September, Chonburi, Thailand.

Samart C.and C. Sookman (2008) *Enhanced Surface Area of Titanium Dioxide Nanoparticle by Carboxy Methyl Cellulose*. The 2nd Progress in Advanced Materials: Micro/Nano Materials and Applications 16-18 January, Konkhean, Thailand

Samart C.and C. Sookman (2008) *Catalytic activity of modified titanium dioxide in water splitting reaction*. The 8th International Symposium on“Global Renaissance by Green Energy Revolution” 22-23 Jan, Nagaoka, Japan

Sritongkittikul P., C. Samart and C. Sookman (2008) *Heterogeneous catalysis of transesterification of soybean oil by KI supported on mesoporous silica*. The 8th International Symposium on“Global Renaissance by Green Energy Revolution” 22-23 Jan, Nagaoka, Japan

Samart C. and C. Sokman (2008) *Synthesis of mesoporous silica for control releasing application*. Pure and Applied Chemistry International Conference (PACCON2008) 30 Jan-1Feb, Bangkok, Thailand

Samart C. and C. Sokman (2008) *Effect of silica sources in nanoporous silica synthesis on releasing behavior of indigo carmine*. The 2nd Thailand Nanotechnology Conference 2008 13-15 Aug, Phuket, Thailand

การสัมมนาระดับท้องถิ่น (Local Conference)

การศึกษาสภาพที่เหมาะสมในการผลิตไวน์สะระแหน่ 2548 รายงานการประชุมสัมมนาทางวิชาการ สถาบันเทคโนโลยีราชมงคล ครั้งที่ 21. ระหว่างวันที่ 28-30 มีนาคม 2548 ณ โรงแรมเชียงใหม่ภูคำ อําเภอเมือง จังหวัดเชียงใหม่ งบประมาณประจำปี 2547 สถาบันเทคโนโลยีราชมงคล

ผลของอุณหภูมิต่อปฏิกิริยาการสะเทินน้ำเสียด้วยเปลือกหอยในฟลูอิดไดซ์เบดแบบท่อสองชั้น. 2547 รายงานการประชุมสัมมนาทางวิชาการสถาบันเทคโนโลยีราชมงคล ครั้งที่ 20. ระหว่างวันที่ 11-13 กุมภาพันธ์ 2547 ณ โรงแรมอมรินทร์ลากูน อําเภอเมือง จังหวัดพิษณุโลก งบประมาณประจำปี 2546 สถาบันเทคโนโลยีราชมงคล

ผลของอุณหภูมิต่อปฏิกิริยาการสะเทินน้ำเสียด้วยเปลือกไข่ในฟลูอิดไดซ์เบดแบบท่อสองชั้น. 2546 รายงานการประชุมสัมมนาทางวิชาการสถาบันเทคโนโลยีราชมงคล ครั้งที่ 19. ณ ศูนย์กลางสถาบันเทคโนโลยีราชมงคล คลองหก จังหวัดปทุมธานี งบประมาณประจำปี 2545 สถาบันเทคโนโลยีราชมงคล

Modification of Crude Palm Oil Diesel Engine Fuel, 29th Congress on Science and Technology of Thailand, 2546, Thailand.

รางวัลที่เคยได้รับ (Received award)

Award for Excellent Poster Presentation at The 3rd workshop on Regional Network Formation for Enhancing Research and Education Penang, Malaysia

The 3rd award for poster competition in The 1st Thailand nanotechnology conference 2007. 14-16 August, Chiang Mai, Thailand.

7.4 งานวิจัยที่กำลังทำ : ข้อข้อเสนอการวิจัย แหล่งทุน และสถานภาพในการทำวิจัยว่าได้ทำ การวิจัยลุล่วงแล้วประมาณร้อยละเท่าใด

กระบวนการผลิตไฮโดรเจนเพื่อใช้ในเซลล์เชื้อเพลิงจากปฏิกิริยาการแตกตัวของน้ำโดยตัวเร่งปฏิกิริยาแบบใช้แสง ได้รับทุนสนับสนุนงานวิจัยจากเงินงบประมาณประจำปี 2550-งบแผ่นดิน เริ่มตั้งแต่ตุลาคม 2549 การวิจัยลุล่วงแล้ว 90%

การพัฒนาเทคนิคการเตรียมตัวเร่งปฏิกิริยาทางแสง ได้รับทุนสนับสนุนงานวิจัยจากเงินงบประมาณประจำปี 2551-งบแผ่นดิน เริ่มตั้งแต่ตุลาคม 2550 การวิจัยลุล่วงไปแล้ว 90%

ผู้ร่วมโครงการวิจัย

1. ชื่อ นายชนติป สารารถ

Mr. Chanatip Samart

2. หมายเลขบัตรประจำตัวประชาชน 3 20070 00082 52

3. ตำแหน่งปัจจุบัน อาจารย์

4. หน่วยงานที่อยู่ที่สามารถติดต่อได้สะดวก พร้อมหมายเลขโทรศัพท์ โทรสาร และ e-mail

ภาควิชาเคมี คณะวิทยาศาสตร์และเทคโนโลยี มหาวิทยาลัยธรรมศาสตร์ ศูนย์รังสิต
อําเภอคลองหลวง จังหวัดปทุมธานี 12121

โทรศัพท์ 0 25644440-59 โทรสาร 0 25644483

e-mail : chanatip@tu.ac.th

5. ประวัติการศึกษา

ปีที่จบการศึกษา		ระดับปริญญา	อักษรย่อ	สาขาวิชา	วิชาเอก	ชื่อสถาบัน	ประเทศ
2549	เอก	ปริญญาตรี	วศ.ด.	วิศวกรรมศาสตร์-คุณภูบัณฑิต	วิศวกรรมเคมี	มหาวิทยาลัยเกษตรศาสตร์	ไทย
2546	โท	ปริญญาโท	วศ.ม.	วิศวกรรมศาสตร์-มหาบัณฑิต	วิศวกรรมเคมี	วิศวกรรม	มหาวิทยาลัยเกษตรศาสตร์
2543	ตรี	ปริญญาตรี	วท.บ.	วิทยาศาสตรบัณฑิต	เคมีอุตสาหกรรม	-	สถาบันเทคโนโลยีราชมงคลรัตนโกสินทร์ พระจอมเกล้าเจ้าคุณทหารลาดกระบัง

6. สาขาวิชาการที่มีความชำนาญพิเศษ (แตกต่างจากวุฒิการศึกษา) ระบุสาขาวิชาการ
การเร่งปฏิกิริยาเคมีพันธ์ ไฟฟ์ ไฮซิส วัสดุที่มีรูพรุน

7. ประสบการณ์ที่เกี่ยวข้องกับการบริหารงานวิจัยทั้งภายในและภายนอกประเทศโดยระบุ
สถานภาพในการทำวิจัยว่าเป็นผู้อำนวยการแผนงานวิจัย หัวหน้าโครงการวิจัย หรือผู้ร่วมวิจัย
ในแต่ละข้อเสนอการวิจัย

7.1 ผู้อำนวยการแผนงานวิจัย : ชื่อแผนงานวิจัย

7.2 หัวหน้าโครงการวิจัย : ชื่อโครงการวิจัย

7.3 งานวิจัยที่ทำเสร็จแล้ว : ชื่อผลงานวิจัย ปีที่พิมพ์ การเผยแพร่ และแหล่งทุน
(อาจมากกว่า 1 เรื่อง)

ผลงานวิจัย

วารสารนานาชาติ (International journal)

วารสารในประเทศ (Local journal)

Samart C. and A. Duangchan (2006) Application of Experimental Design Method for
Copyrolysis of PVC and Cattle Manure. *KMITL Science Journal* 6: 471-478

การสัมมนาระดับภูมิภาคและนานาชาติ (International®ion conference)

Samart C. and A. Duangchan (2002) Pyrolysis of polyvinyl chloride using Ni/Mo and
acid catalysts. *Proceeding of The 12th National Chemical Engineering and Applied
Chemistry*. Bangkok, Thailand, Publish in English, on CD.

Samart C. and A. Duangchan (2003) Upgrading of pyrolyzed oil derived from pyrolysis
of polyvinyl chloride and polypropylene. *Macro Review special issue of Proceeding of the
Asia-Pacific Conference on Sustainable Energy and Environmental Technologies*, Mie,
Japan.

Samart C. and A. Duangchan (2004) In situ removal of HCl in copyrolysis process of
fertilizer/ cattle manure and polyvinyl chloride. *The joint international conference on
“Sustainable Energy and Environment (SEE)”* 1-3 December, Huahin, Thailand.

Samart C. and A. Duangchan (2005) Fuel oil production from copyrolysis of PVC with cattle manure. *The 3 rd Eco-Energy and Materials Science and Engineering*. 6- 9 April, Chiang-Mai, Thailand.

Samart C. and A. Duangchan (2005) Co- pyrolysis of polyvinyl chloride and fertilizer from manure to fuel oil. *The Asia- Pacific Conference on Sustainable Energy and Environmental Technologies*. 9- 11 May, Wellington, New Zealand.

Samart C., A. Cherngvanich and C Sookman (2005) Non- hydrothermal synthesis mesoporous silica from rice husk ash. *International Conference on Recent Advances in Mechanical & Material Engineering*. 30-31 May, Kualalumpur, Malaysia.

Samart C., A. Cherngvanich and C Sookman (2005) Synthesis of mesoporous silica from rice husk ash. *3rd international conference on materials for advance technology*. 3-8 July, Singapore.

Samart C. and A. Duangchan (2005) Copyrolysis of PVC with cattle manure to fuel oil. *The 3rd workshop on regional network formation for enhancing research and education*. 7-10 August, Penang, Malaysia

Samart C. and C. Sookman (2005) Synthesis of Nanoporous Silica from Natural Resources. *The 3rd workshop on regional network formation for enhancing research and education*. 7-10 August, Penang, Malaysia

Samart C. and A. Duangchan (2006) Application of Experimental Design Method for Copyrolysis of PVC and Cattle Manure. *KMITL International Conference on Science and Applied Science 2006*. 8-10 March, Bangkok, Thailand.

Samart C. and A. Duangchan (2006) Investigation of Kinetic Parameters of Copyrolysis of PVC and Cattle Manure. *International Conference on Modeling in Chemical and Biological Engineering Sciences*. 25-27 October, Bangkok, Thailand.

Samart C., W. Srichaisirivech and C. Sookman (2007) *Nanoporous Silica and Its Application in Drug Delivery*. The 1st Thailand nanotechnology conference. 14-16 August, Chiang Mai, Thailand.

Sookman C. and Samart C.(2007) *Increasing Surface Area of Synthesized Titania Particle Using CMC*. German-Thai Symposium on Nanoscience and Nanotechnology. 27-28 September, Chonburi, Thailand.

Samart C. and A. Duangchan (2007) *Effect of Silica Alumina:ZnO Ratios of Composite Catalyst on Upgrading Oil Derived from Pyrolysis of Mixed Plastics and Cattle Manure.* The 6th Asia- Pacific Conference on Sustainable Energy and Environmental Technologies. 6-11 May, Bangkok, Thailand.

Samart C., W. Srichaisirivech and C. Sookman (2007) *Nanoporous Silica and Its Application in Drug Delivery.* The 1st Thailand nanotechnology conference. 14-16 August, Chiang Mai, Thailand.

Samart C., S. Anantawarasakul and A. Duangchan (2007) *Thermogravimetric Study of PVC and Cattle Manure Mixtures.* The 17th Thailand Chemical Engineering and Applied Chemistry Annual Conference. 28-29 October, Chiang Mai, Thailand

Samart C. and C. Sookman (2008) *Enhanced Surface Area of Titanium Dioxide Nanoparticle by Carboxy Methyl Cellulose.* The 2nd Progress in Advanced Materials: Micro/Nano Materials and Applications 16-18 January, Konkhean, Thailand

Samart C. and C. Sookman (2008) *Catalytic activity of modified titanium dioxide in water splitting reaction.* The 8th International Symposium on “Global Renaissance by Green Energy Revolution” 22-23 Jan, Nagaoka, Japan

Sritongkittikul P., C. Samart and C. Sookman (2008) *Heterogeneous catalysis of transesterification of soybean oil by KI supported on mesoporous silica.* The 8th International Symposium on “Global Renaissance by Green Energy Revolution” 22-23 Jan, Nagaoka, Japan

Samart C. and C. Sokman (2008) *Synthesis of mesoporous silica for control releasing application.* Pure and Applied Chemistry International Conference (PACCON2008) 30Jan-1Feb, Bangkok, Thailand

Samart C. and C. Sokman (2008) *Effect of silica sources in nanoporous silica synthesis on releasing behavior of indigo carmine.* The 2nd Thailand Nanotechnology Conference 2008 13-15 Aug, Phuket, Thailand

สัมมนาในประเทศ (Local Conference)

ชนบท สามารถ และอภิญญา ดวงจันทร์ (2549) กระบวนการเปลี่ยนพลังไวนิลคลอริดไปเป็นน้ำมันเชื้อเพลิง โดยใช้ตัวเร่งปฏิกิริยานิกเกิต โนลิบดีนัมนชิลิกาอะลูมินา และตัวเร่ง

**ปฎิกริยากรด สัมนาวิจัยพัฒนา สร้างฐานเศรษฐกิจพอเพียง 13-14 ธันวาคม กรุงเทพฯ
ประเทศไทย**

รางวัลที่เคยได้รับ (Received award)

Award for Excellent Poster Presentation at The 3rd workshop on Regional Network Formation for Enhancing Research and Education Penang, Malaysia

The 3rd award for poster competition in The 1st Thailand nanotechnology conference 2007. 14-16 August, Chiang Mai, Thailand.

7.4 งานวิจัยที่กำลังทำ : ชื่อข้อเสนอการวิจัย แหล่งทุน และสถานภาพในการทำวิจัยว่าได้ทำ การวิจัยถูกล่วงแล้วประมาณร้อยละเท่าใด

กระบวนการผลิตไฮโดรเจนเพื่อใช้ในเซลล์เชื้อเพลิงจากปฏิกริยาการแตกตัวของน้ำโดย ตัวเร่งปฏิกริยานแบบใช้แสง (ผู้ร่วมโครงการ) ได้รับทุนสนับสนุนงานวิจัยจากเงินงบประมาณปี 2550-งบแผ่นดิน ทำการวิจัยถูกล่วงแล้วประมาณ 90%

การพัฒนาเทคนิคการเตรียมตัวเร่งปฏิกริยาทางแสง (ผู้ร่วมโครงการ) ได้รับทุนสนับสนุน งานวิจัยจากเงินงบประมาณประจำปี 2551-งบแผ่นดิน เริ่มตั้งแต่ตุลาคม 2550 การวิจัยถูกล่วงไป แล้ว 90%

